

# **Einfluss von nicht-iterativer Co-Simulation auf die numerische Lösung von Systemgleichungen**

Stephanie Messner

# **Einfluss von nicht-iterativer Co-Simulation auf die numerische Lösung von Systemgleichungen**

Masterarbeit

an der

Technischen Universität Graz

vorgelegt von

**Stephanie Messner**

Institut für Regelungs- und Automatisierungstechnik

und

Kompetenzzentrum - Das Virtuelle Fahrzeug Forschungsgesellschaft mbH  
A-8010 Graz

20.5.2014

© Copyright 2014, Stephanie Messner

Diese Arbeit ist in deutscher Sprache verfasst.

Begutachter: Ao.Univ.-Prof. Dr. Anton Hofer  
Betreuer im Unternehmen: Dr. Martin Benedikt



*An dieser Stelle möchte ich mich sehr herzlich bei Herrn Prof. Hofer bedanken, der mich während der Arbeit sehr unterstützte und stets ein offenes Ohr für meine Anliegen hatte.  
Ein großes Dankeschön gilt auch Dr. Martin Benedikt und den Mitarbeitern des Kompetenzzentrums - Das virtuelle Fahrzeug mbh, die diese Arbeit überhaupt erst ermöglicht haben.  
Ein großer Dank gilt meiner Familie und ganz besonders meiner Mutter, ohne die ich es nie soweit geschafft hätte.  
Zu guter Letzt möchte ich mich bei allen Freunden und Studienkollegen bedanken, die meine Studienzeit unvergesslich machen.  
Besonderer Dank gilt meinem Freund, der immer an mich glaubt und stets geduldig mit mir ist.*

*Auf zu neuen Ufern!*

## **Abstract**

The virtual development of complex technical systems is becoming increasingly important. In each application area, whether thermodynamics, mechanics, electrical engineering, etc., special simulation tools that have been optimized for a specific task. This saves time and allows the developer to make statements about the behavior of a model. Especially in the automotive industry it is important to couple these simulation tools to perform a full vehicle simulation. This can be implemented by an independent co-simulation platform.

The co-simulation platform is responsible for the data exchange between simulation tools and their underlying subsystems. By the non-iterative co-simulation and sequential coupling the subsystems are calculated in a defined order. At certain coupling times the generated data will be exchanged. Sometimes, due to a coupling loop, an extrapolation of the coupling signals is necessary. This extrapolation causes an estimation error, which depends on the order of the extrapolation.

In this work, the influence of discontinuities of the input signal that are caused by the zero-order-hold (ZOH) extrapolation on the numerical solution of the underlying system equations is considered. For this purpose, various numerical integration methods and their numerical errors are treated theoretically in the first part of the work. In the second part, the previously made statements are proven by different tests on special differential equations. Finally, experimental tests were carried out on a co-simulation example.

## **Kurzfassung**

Die virtuelle Entwicklung dynamischer Systeme gewinnt zunehmend an Bedeutung. Für jedes Anwendungsgebiet, ob Thermodynamik, Mechanik, Elektrotechnik usw., nutzt ein bestimmtes Simulationswerkzeug, welches für eine Aufgabe optimiert wurden. Das spart Zeit und ermöglicht dem Entwickler, Aussagen über das Verhalten eines Modells zu treffen. Vor allem in der Automobilindustrie ist es wichtig, die verschiedenen Simulationswerkzeuge zu koppeln, um eine vollständige Fahrzeugsimulation durchführen zu können. Dies kann mit einem unabhängigen Co-Simulationsplattform implementiert werden.

Die Co-Simulationsplattform ist für den Datenaustausch zwischen den Simulationswerkzeugen und deren unterlagerten Teilsysteme verantwortlich. Durch die nicht-iterativen Co-Simulation und sequentielle Kopplung werden die Teilsysteme in einer definierten Reihenfolge berechnet und tauschen zu bestimmten Koppelzeitpunkten die generierten Daten (Koppelgrößen) aus. Durch Kopplungsschleifen ist eine Extrapolation der Kopplungsgrößen notwendig. Diese Extrapolation hat je nach Ordnung einen Schätzfehler der Koppelgrößen zur Folge.

In dieser Arbeit wird der Einfluss von Unstetigkeiten im Eingangssignal, die durch die Extrapolation nullter Ordnung (ZOH) entstehen, auf die numerische Lösung der unterlagerten Systemgleichungen behandelt. Zu diesem Zweck werden verschiedene numerische Integrationsverfahren und deren numerische Fehler im ersten Teil dieser Arbeit theoretisch behandelt. Im zweiten Abschnitt werden die vorher aufgestellten Aussagen mit verschiedenen Tests an definierten Differentialgleichungen verifiziert. Abschließend werden experimentelle Versuche an einem Co-Simulationsbeispiel durchgeführt und die Ergebnisse analysiert.

Deutsche Fassung:  
Beschluss der Curricula-Kommission für Bachelor-, Master- und Diplomstudien vom 10.11.2008  
Genehmigung des Senates am 1.12.2008

## EIDESSTÄTTLICHE ERKLÄRUNG

Ich erkläre an Eides statt, dass ich die vorliegende Arbeit selbstständig verfasst, andere als die angegebenen Quellen/Hilfsmittel nicht benutzt, und die den benutzten Quellen wörtlich und inhaltlich entnommenen Stellen als solche kenntlich gemacht habe.

Graz, am .....

.....  
(Unterschrift)

Englische Fassung:

## STATUTORY DECLARATION

I declare that I have authored this thesis independently, that I have not used other than the declared sources / resources, and that I have explicitly marked all material which has been quoted either literally or by content from the used sources.

.....  
date

.....  
(signature)

# Inhaltsverzeichnis

<b>Inhalte</b>	<b>ii</b>
<b>Abbildungsverzeichnis</b>	<b>iv</b>
<b>Tabellenverzeichnis</b>	<b>v</b>
<b>Abkürzungsverzeichnis</b>	<b>vi</b>
<b>1 Einleitung</b>	<b>1</b>
<b>2 Co-Simulation</b>	<b>3</b>
2.1 Kopplungsmethoden . . . . .	4
<b>3 Grundlagen</b>	<b>6</b>
3.1 Systemklassen . . . . .	6
3.2 Einführung numerische Lösungsverfahren . . . . .	9
3.3 Konsistenz, Konvergenz und numerische Stabilität . . . . .	11
3.4 Fehlermaße . . . . .	15
<b>4 Einschrittverfahren und lineare Mehrschrittverfahren</b>	<b>16</b>
4.1 Einschrittverfahren und die Auswirkungen des Einganges auf die numerische Lösung . . . . .	17
4.2 Lineare Mehrschrittverfahren und die Auswirkungen des Einganges auf die numerische Lösung . . . . .	20
4.3 Differential-algebraische Lösungsverfahren . . . . .	21
<b>5 Vergleich von numerischen Lösungsverfahren anhand eines Testsystems</b>	<b>23</b>
5.1 Definition der Testsysteme . . . . .	23
5.2 Auswirkungen einer treppenförmigen Eingangsfunktion auf das numerische Ergebnis in MATLAB . . . . .	36
<b>6 Evaluierung an einem Abschlussbeispiel</b>	<b>59</b>
6.1 Mathematisches Modell . . . . .	59
6.2 Kopplung mit ICOS . . . . .	61
6.3 Ergebnisse . . . . .	70
<b>7 Zusammenfassung</b>	<b>72</b>

<b>A Berechnungen</b>	<b>74</b>
A.1 Berechnung der Transitionsmatrix . . . . .	74
A.2 Fehlerberechnung . . . . .	74
<b>B Gelenkmechanismus in OpenModelica</b>	<b>77</b>
<b>Literaturverzeichnis</b>	<b>82</b>

# Abbildungsverzeichnis

1.1	Fachbereiche der Co-Simulation . . . . .	1
2.1	Kopplung von Simulationswerkzeugen . . . . .	3
2.2	Datenaustausch mit ICOS . . . . .	4
2.3	Schleife mit zwei Teilsystemen [5] . . . . .	4
2.4	Extrapolation nullter Ordnung des Koppelsignales [5] . . . . .	5
3.1	Gebiet der absoluten Stabilität explizites Eulerverfahren [28] . . . . .	14
3.2	Gebiet der absoluten Stabilität implizites Eulerverfahren [28] . . . . .	14
3.3	Zusammenhang Konsistenz, Stabilität und Konvergenz . . . . .	15
4.1	Darstellung Newton-Verfahren [33] . . . . .	19
5.1	Stabiles System mit Ruhelage (RL) und Eigenvektor (EV) . . . . .	25
5.2	Instabiles System mit EV . . . . .	26
5.3	Vereinigtes ODE-System . . . . .	27
5.4	Stabiles, steifes System mit RL und EV . . . . .	28
5.5	Vereinigtes steifes ODE-System . . . . .	29
5.6	Stetiges Eingangssignal $u(t)$ . . . . .	30
5.7	Abgetastetes Eingangssignal $u_{tr}(t)$ . . . . .	31
5.8	Stetiges Eingangssignal $u(t)$ . . . . .	31
5.9	Abgetastetes Eingangssignal $u_{tr}(t)$ . . . . .	32
5.10	Trajektorien des ODE-Systems mit glattem und treppenförmigen Eingang . . . . .	34
5.11	Trajektorien des steifen ODE-Systems mit glattem und treppenförmigen Eingang . . . . .	35
5.12	Trajektorien des steifen ODE-Systems, vergrößerte Darstellung . . . . .	36
5.13	Explizites Eulerverfahren mit $u(t)$ . . . . .	37
5.14	Explizites Eulerverfahren mit $u(t_{tr})$ . . . . .	38
5.15	Fehlerauswertung für ODE System . . . . .	39
5.16	Fehlerauswertung für DAE System ohne $u(t)$ in NB . . . . .	40
5.17	Fehlerauswertung für ODE System mit $u(t)$ in NB . . . . .	40
5.18	ODE System mit glattem $u(t)$ und explizitem Eulerverfahren fester Schrittweite . . . . .	44
5.19	ODE System mit glattem $u(t)$ und implizitem Eulerverfahren fester Schrittweite . . . . .	45
5.20	ODE System mit $u_{tr}(t)$ und explizitem Eulerverfahren fester Schrittweite . . . . .	46
5.21	ODE System mit $u_{tr}(t)$ und implizitem Eulerverfahren fester Schrittweite . . . . .	46
5.22	Steifes System mit $u(t)$ und explizitem Eulerverfahren fester Schrittweite . . . . .	49
5.23	Zoom steifes System mit $u(t)$ und explizites Eulerverfahren . . . . .	51
5.24	Steifes System mit $u(t)$ und implizitem Eulerverfahren fester Schrittweite . . . . .	51
6.1	Absolute und relative Lagegrößen des 5R Mechanismus [22] . . . . .	60

6.2	MATLAB-Modell <i>ICOS_Kopplung.mdl</i> . . . . .	61
6.3	Kontinuierliche Eingangssignale des OpenModelica (OM)-Modells . . . . .	62
6.4	Kopplung der Modelle des Abschlussbeispiels in ICOS . . . . .	62
6.5	Extrapoliertes Eingangssignale des OM-Modells . . . . .	63
6.6	Berechneter Verlauf von $q_1$ mit diversen numerischen Integrationsverfahren . .	64
6.7	Berechneter Verlauf von $q_2$ mit diversen numerischen Integrationsverfahren . .	64
6.8	Koppelsignal für Winkel $q_1$ . . . . .	66
6.9	Koppelsignal für Winkel $q_2$ . . . . .	67
6.10	Vergößerte Darstellung der Koppelsignale . . . . .	68
6.11	Ergebnis für Co-Simulation des Winkels $q_1$ . . . . .	69
6.12	Ergebnis für Co-Simulation des Winkels $q_2$ . . . . .	70

# Tabellenverzeichnis

5.1	Ergebnisse der Simulation des ODE Testsystems für feste Schrittweiten . . . .	43
5.2	Ergebnisse der Simulation des ODE Testsystems für variable Schrittweiten . . .	48
5.3	Ergebnisse der Simulation des steifen Testsystems für feste Schrittweiten . . .	50
5.4	Ergebnisse der Simulation des steifen Testsystems für variable Schrittweiten . .	53
5.5	Ergebnisse der Simulation des DAE Testsystems ohne $u(t)$ in NB für feste Schrittweiten . . . . .	54
5.6	Ergebnisse der Simulation des DAE Testsystems ohne $u(t)$ mit NB für feste Schrittweiten . . . . .	55
5.7	Ergebnisse der Simulation des DAE Testsystems ohne $u(t)$ in NB für variable Schrittweiten . . . . .	56
5.8	Ergebnisse der Simulation des DAE Testsystems mit $u(t)$ in NB für variable Schrittweiten . . . . .	57
6.1	Ergebnisse der Co-Simulation . . . . .	71

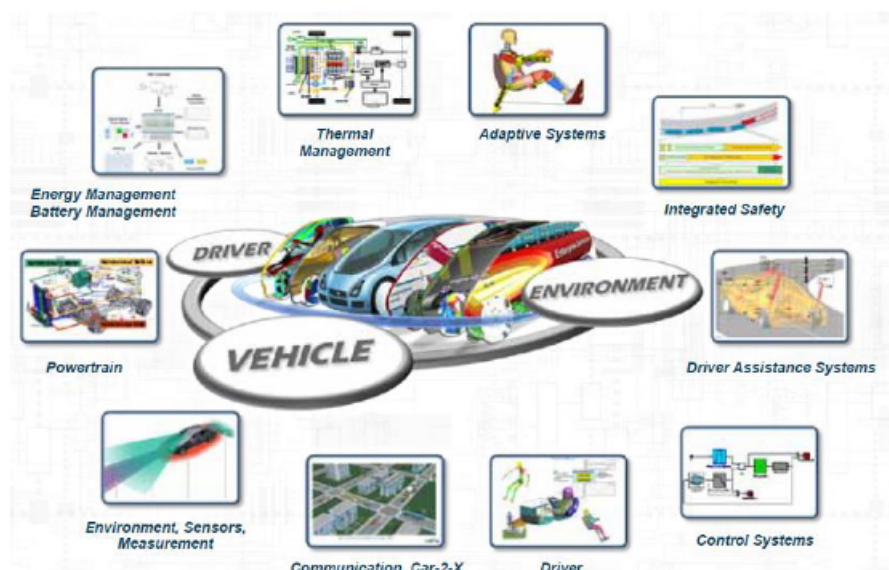
# Abkürzungsverzeichnis

<b>AWP</b>	Anfangswertproblem
<b>DAE</b>	differenzial-algebraisches Gleichungssystem
<b>DGL</b>	Differenzialgleichung
<b>EHK</b>	Einheitskreis
<b>ESV</b>	Einschrittverfahren
<b>EV</b>	Eigenvektor
<b>EW</b>	Eigenwerte
<b>ICOS</b>	Independent Co-Simulation
<b>LMSV</b>	Lineares Mehrschrittverfahren
<b>LTI</b>	lineare, zeitinvariante Systeme
<b>NB</b>	Nebenbedingung
<b>NEPCE</b>	Nearly Energy-Preserving Coupling Element
<b>NS</b>	Nullstelle
<b>ODE</b>	gewöhnliche Differenzialgleichung
<b>OM</b>	OpenModelica
<b>RL</b>	Ruhelage
<b>z.B.</b>	zum Beispiel

# Kapitel 1

## Einleitung

In der Automobilindustrie wird je nach Anwendungsgebiet, z.B. Elektrotechnik, Thermodynamik, Funktionale Sicherheit usw., zur virtuellen Entwicklung ein bestimmtes Simulationswerkzeug verwendet, welches für eine bestimmte Aufgabe optimiert ist. Das spart Zeit und erlaubt dem Entwickler Aussagen bezüglich des Verhaltens eines Modells zu treffen. Das Ziel der Co-Simulation ist es, Modelle verschiedener Simulationswerkzeuge, welche in Wechselwirkung zueinander und mit der Fahrzeugumwelt stehen, zu koppeln, um z.B. eine Gesamtfahrzeugsimulation durchzuführen, siehe Abbildung 1.1 [3], [8].



**Abbildung 1.1:** Verschiedene Fachbereiche und Simulationswerkzeuge, die durch Co-Simulation gekoppelt werden können [4]

Der Datenaustausch zwischen den Simulationswerkzeugen (Koppelgrößen) passiert zu bestimmten Koppelzeitpunkten. Innerhalb dieses zeitlichen Intervalles werden die numerischen Berechnungen mit den, in den Entwicklungsumgebungen integrierten, Lösungsalgorithmen unabhängig durchgeführt. Eine Synchronisation der Teilsysteme ist zwingend notwendig. Hier gibt es zwei

Methoden: Iterative und nicht-iterative Verfahren [3], [14].

Da die iterative Kopplung ein Rücksetzen der Teilsysteme erfordert, was softwaretechnisch oft aufwendig sein kann, wird als allgemeiner Zugang die nicht-iterative Kopplung in der Co-Simulation häufig eingesetzt. Hierbei wird jedes Teilsystem im Zeitintervall zwischen zwei Koppelzeitpunkten genau einmal simuliert. Dieser Ansatz erfordert eine Extrapolation der Eingangsgrößen, wenn sich durch die Kopplung der unterlagerten Teilmodelle eine interne Schleife ergibt [4].

Die Extrapolation verursacht einen Schätzfehler der Koppelgrößen. Die einfachste Extrapolation ist jene nullter Ordnung, welche der Funktionalität eines Abtast-Halteglieders (ZOH) gleichzusetzen ist. In [3] beschäftigte man sich damit, den Effekt des Schätzfehlers, der durch die Extrapolation entsteht, zu reduzieren. Es wurden Methoden entwickelt, um diesen Fehler auszugleichen. Auf dieser Basis können Glättungsfilter eingesetzt werden, um einen glatten Signalverlauf zu erzeugen.

Durch die Extrapolation entstehen im Allgemeinen an den Koppelzeitpunkten hochfrequente Signalanteile. Diese Unstetigkeiten wirken sich nachteilig auf die numerische Lösung aus [2]. Jedoch ist nicht genau bekannt, in wie fern die Algorithmen und die berechnete Lösung beeinflusst werden.

Im Rahmen dieser Arbeit sollen die Effekte von Unstetigkeiten auf die numerische Lösung untersucht werden. Dabei ist von Interesse wie sich die Unstetigkeiten auf die verschiedenen Lösungsverfahren und auf die Systemklassen auswirken. Der Einfluss soll so weit wie möglich allgemein dargestellt werden und anschließend durch numerische Simulation gezeigt werden. Ziel ist eine Studie, die belegt, dass Unstetigkeiten in der Koppelgröße einen Einfluss auf die numerische Lösung von Systemgleichungen besitzen. Es sollte ersichtlich sein, für welche Kombination von Lösungsverfahren und Systemklasse Gegenmaßnahmen, wie zum Beispiel (z.B.) Glättung in der Kopplung, notwendig ist. Abschließend ist dies anhand einer Co-Simulation zu validieren.

Die theoretische Behandlung der Auswirkungen von Unstetigkeiten in der Eingangsgröße von Systemgleichungen auf die numerische Lösungsverfahren wird in Kapitel 4 behandelt. Auf Grundlage dieser Betrachtungen wird in Kapitel 5, mit Hilfe von Testsystemen, durch Simulation die Aussagen zu bestätigen und die Ergebnisse entsprechend zu bewerten. Schlussendlich werden in Kapitel 6 abschließende Untersuchungen durch Aufsetzen eines Co-Simulationsbeispiels durchgeführt.

# Kapitel 2

## Co-Simulation

Eine Co-Simulationsplattform soll es ermöglichen, verschiedene Teilmodelle, modelliert und simuliert in unterschiedlichen Simulationswerkzeugen, geeignet zu koppeln und dabei die komplexen Wechselwirkungen zwischen den Modellen zu berücksichtigen. Idealerweise soll durch Co-Simulation kein Einfluss auf den jeweiligen Lösungsalgorithmus und dessen Schrittweiten genommen werden. Ein Datenaustausch zur Synchronisation der Teilsysteme findet lediglich zu definierten Koppelzeitpunkten statt. In Abbildung 2.1 ist die Kopplung von verschiedenen Simulationswerkzeugen über eine Co-Simulationsplattform dargestellt [4].



**Abbildung 2.1:** Kopplung von verschiedenen Simulationswerkzeugen über eine Co-Simulations-Plattform

Das *Kompetenzzentrum - Das virtuelle Fahrzeug Forschungsgesellschaft mbH* beschäftigt sich mit der Entwicklung einer unabhängigen Co-Simulationsplattform ICOS [10]. Diese Co-Simulationsplattform ermöglicht es, eine Reihe von Simulationswerkzeugen zu koppeln, wie z.B.: Abaqus, MSC Adams, AVL CRUISE /BOOST, ECS Kuli, Flowmaster, LS-Dyna, LabVIEW, Ricardo Wave, Python, Dymola/Modelica oder MATLAB. Somit wird mit ICOS eine Gesamtfahrzeugsimulation ermöglicht [4].

## 2.1 Kopplungsmethoden

Eine Kopplung der Teilsysteme entspricht einer Synchronisation der Teilsysteme. Diese Teilmodelle werden für bestimmte Zeitintervalle simuliert und zu bestimmten Zeitpunkten findet der Datenaustausch zur Synchronisation statt. Dieses Zeitintervall bezeichnet man als Makroschrittweite  $\Delta T$ . Innerhalb dieses Intervalles werden die unterlagerten Teilsysteme unabhängig von den individuell festgelegten Lösungsverfahren und fester oder variabler Schrittweite eigenständig gelöst. Die vom Lösungsverfahren verwendete Schrittweite wird als Mikroschrittweite  $\delta T$  bezeichnet [3]. Eine Darstellung der Schrittweiten und ihre Bedeutung sind aus Grafik 2.2 zu entnehmen. Durch die Verwendung unterschiedlicher Mikro- so wie auch Makroschrittweiten spricht man im Allgemeinen von einer Multiratensimulation.

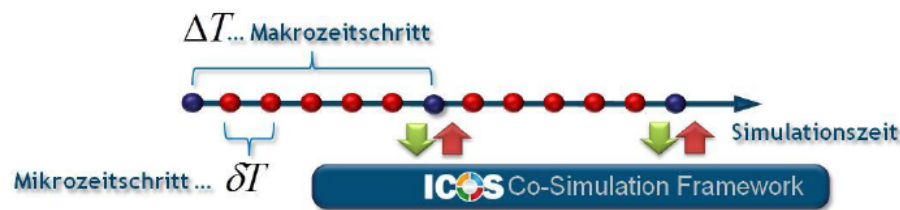


Abbildung 2.2: Datenaustausch mit ICOS

Bei der nicht-iterativen Co-Simulation werden Teilsysteme genau einmal über die Makroschrittweite simuliert. Zur zeitlichen Abfolge der Simulation stehen zwei Möglichkeiten zur Wahl: Die sequentielle und parallele Ausführungsreihenfolge. Bei der *sequentiellen* Ausführungsreihenfolge werden die Teilmodelle zeitlich hintereinander für jeden Makroschritt gerechnet und stellen dem nachfolgenden Teilsystem Daten zur Verfügung. Bei *paralleler* Ausführung werden die Modelle über ein Zeitintervall simultan gelöst.

Man betrachte zwei Teilsysteme die über ICOS zu den Zeitpunkten  $\Delta T$  gekoppelt werden. Die berechneten Ausgänge bilden jeweils die Eingänge des anderen Teilmodelles (Koppelgrößen), somit ergibt sich eine geschlossene Schleife, siehe Grafik 2.3. Keines der beiden Modelle ist aufgrund der unbekanntenen Eingangsgrößen für sich lösbar.

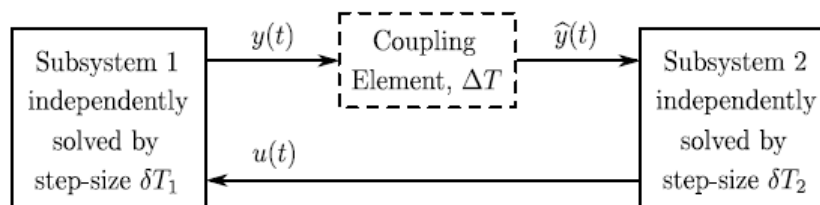


Abbildung 2.3: Schleife mit zwei Teilsystemen [5]

Am Ende jedes Zeitintervalles  $\Delta T$  passiert ein Datenaustausch. Da zwischen den Koppelzeit-



# Kapitel 3

## Grundlagen

Um mit der Analyse beginnen zu können, müssen einige Definitionen eingeführt werden. In diesem Kapitel werden die in dieser Arbeit betrachteten Systemklassen betrachtet. Diese Systemklassen können mit verschiedenen angeführten numerischen Integrationsverfahren gelöst werden, welche Eigenschaften besitzen, die in den folgenden Abschnitten erläutert werden, wie zum Beispiel Schrittweite, numerische Stabilität und Konvergenz.

Weiteres wurden zwei Fehlermaße eingeführt, um den Einfluss des Eingangssignales auf die Lösungsverfahren qualitativ bewerten zu können.

### 3.1 Systemklassen

#### 3.1.1 ODE-System

Eine gewöhnliche Differentialgleichung  $m$ -ter Ordnung stellt eine Gleichung dar, deren zu suchende Variable  $m$ -mal nach der unabhängigen Variable abgeleitet wird. In der Systemtheorie wird die zu suchende Variable als eine Zeifunktion definiert [9]. Somit stellt der Zeitparameter  $t$  die unabhängige Variable dar. In der klassischen Regelungstechnik werden gewöhnliche Differentialgleichungen erster Ordnung betrachtet. Ein System von Differentialgleichungen kann in Form eines Zustandsraummodells  $\dot{\mathbf{x}} = \mathbf{f}(t, \mathbf{x}, \mathbf{u})$  dargestellt werden. Die zu suchenden Variablen  $x_1 \dots x_n$  werden als Zustandsvariablen und die Eingangsfunktionen  $u_1 \dots u_r$  als Systemeingänge bezeichnet. Dabei wird die Anzahl der Zustandsvariablen die Systemordnung genannt. In weiterer Folge wird die Systemordnung als Ordnung bezeichnet. Folgend ist ein solches Zustandsraummodell oder ODE-System dargestellt.

$$\begin{aligned}\frac{dx_1}{dt} &= f_1(t, x_1, \dots, x_n, u_1, \dots, u_r) \\ &\vdots \\ \frac{dx_n}{dt} &= f_n(t, x_1, \dots, x_n, u_1, \dots, u_r)\end{aligned}$$

In Vektorschreibweise:

$$\dot{\mathbf{x}} = \mathbf{f}(t, \mathbf{x}, \mathbf{u})$$

mit:

$$\mathbf{x} = [x_1, x_2, \dots, x_n]^T$$

$$\mathbf{f} = [f_1, f_2, \dots, f_n]^T$$

$$\mathbf{u} = [u_1, u_2, \dots, u_r]^T$$

Mit folgenden Anfangswerten:  $x_1(t_0) = x_{1,0}, \dots, x_n(t_0) = x_{n,0}$  und einem vorgegebenen Eingangsverlauf  $\mathbf{u}(t)$  für  $t_0 \leq t \leq t_e$ .

### 3.1.2 DAE-System

Als DAE Systeme werden DGL Systeme mit algebraischen Nebenbedingungen bezeichnet. Dafür gibt es 2 verschiedene Darstellungsformen. Diese können wie folgt angegeben werden: [11]

- Implizites DAE-System

$$\mathbf{0} = \mathbf{f}(t, \dot{\mathbf{x}}, \mathbf{x}, \mathbf{z}, \mathbf{u}) \quad (3.1)$$

- Semi-explizites differenzial-algebraisches Gleichungssystem (DAE)-System

$$\dot{\mathbf{x}} = \mathbf{f}(t, \mathbf{x}, \mathbf{z}, \mathbf{u}) \quad (3.2)$$

$$\mathbf{0} = \mathbf{g}(t, \mathbf{x}, \mathbf{z}) \quad (3.3)$$

Bezeichnungen:

$\mathbf{x}(t) \dots n$  Zustandsvariablen

$\mathbf{z}(t) \dots m$  algebraische Variablen

$\mathbf{u}(t) \dots r$  Eingänge

## Differenzieller Index

*“ Unter dem differenziellen Index versteht man die minimale Anzahl von Differentiationen, die auf die Gleichungen des DAE-Systems anzuwenden sind, um zu einem gewöhnlichen expliziten Differenzialgleichungssystem zu gelangen. ”*

[[11]]

*“ Der Index einer DAE ist ein Maß für die Anzahl von Differentiationen, die zur Lösung der DAE notwendig sind. ”*

[[29]]

Der Index besagt, wie oft die Nebenbedingung 3.3, unter Einbeziehung von Gleichung 3.2, nach der Zeit  $t$  abgeleitet werden muss, um ein ODE-System zu erhalten.

Ein ODE-System hat den Index  $i = 0$  und ein DAE-Systeme den Index  $i > 0$ . Ein physikalisches System, dessen mathematisches Modell durch z.B. den Lagrange Formalismus auf ein DAE-System gebracht wurde, besitzt meistens den Index  $i = 3$ .

Der differenzielle Index kann mit einer sogenannten Indexprüfung ermittelt werden.

Um ein DAE-System, wie in Gleichung 3.2 und 3.3 dargestellt, mit Index  $i > 0$  mit einem expliziten numerischen Integrationsverfahren lösen zu können, muss dieses DAE-System index-reduziert werden, damit schlussendlich ein System gewöhnlicher Differenzialgleichung (DGL) vorliegt. Bei  $i = k$  bedeutet das laut [11] :

$$\frac{d^k}{dt^k}(\mathbf{g}(t, \mathbf{x}, \mathbf{z})) = 0$$

Die Anfangswerte  $\mathbf{x}(0)$ ,  $\mathbf{z}(0)$  müssen durch das Gleichungssystem immer erfüllt sein.

In dieser Arbeit werden DAE-Systeme mit differenziellem Index  $i = 1$  und einer algebraischen Variable  $z(t)$  behandelt.

### 3.1.3 Steife Systeme

Ausgehend vom linearen Fall  $\dot{\mathbf{x}} = \mathbf{A}\mathbf{x}$ , bezeichnet [7] jene DGL-Systeme als steife Systeme, wenn die Systemmatrix  $\mathbf{A}$  zwei Eigenwerte  $\lambda_{min}$  und  $\lambda_{max}$  mit folgender Eigenschaft besitzt:

$$\left| \frac{Re\{\lambda_{max}\}}{Re\{\lambda_{min}\}} \right| > 10^3 \quad (3.4)$$

## 3.2 Einführung numerische Lösungsverfahren

Zur numerischen Lösung gewöhnlicher DGL-Systeme können Ein- oder Mehrschrittverfahren, welche wiederum explizit oder implizit sein können, verwendet werden. In diesem Abschnitt werden die grundlegenden Begriffe erläutert.

Zur weiteren Betrachtung wird aus Gründen der Übersichtlichkeit eine einzige gewöhnliche DGL 1. Ordnung herangezogen

$$\dot{x} = f(t, x, u)$$

mit

$$x(t_0) = x_0.$$

Man möchte den Verlauf  $x(t)$  in einem abgeschlossenen Intervall  $[t_0, t_e]$  numerisch ermitteln. Es ist anzunehmen, dass  $u(t)$  im zu untersuchenden Intervall  $[t_0, t_e]$  bekannt ist und somit ist laut [11] eine weitere Vereinfachung möglich:

$$\dot{x} = f(t, x) \tag{3.5}$$

Laut [7] werden folgende Bezeichnungen eingeführt:

- Exakte Lösung:  $x(t_i)$
- Numerische Approximation:  $x_i$
- Exakte Ableitung:  $f(t_i, x(t_i))$
- Numerische Approximation der Ableitung:  $f(t_i, x_i)$

Des weiteren wird folgender Satz vorausgesetzt [7]:

„... Die Lösung  $x(t)$  der Differentialgleichung ... existiert in einem Gebiet  $G$

$$G = \{(t, x) \mid |t - t_0| \leq \alpha, |x_i - x_{i,0}| \leq \beta, i = 1, \dots, n\} \quad \alpha, \beta \dots \text{const.}$$

und ist eindeutig, wenn gilt:

1.  $f(t, x)$  ist stetig und
2.  $f(t, x)$  erfüllt für alle  $q, v$  die Bedingung,

$$\|f(t, q) - f(t, v)\| \leq L\|q - v\|$$

mit einer (endlichen) Konstanten  $L$  (Lipschitz-Konstante).“

### 3.2.1 Schrittweite

Numerische Lösungsverfahren von DGL werden laut [28] auch Diskretisierungsverfahren genannt, da ein Zeitintervall von  $[t_0, t_e]$  in Schritte  $t_i$  mit  $i = 0, \dots, N$  unterteilt wird, mit  $N \in \mathbb{N}$ . Der Abstand  $h_i = |t_{i+1} - t_i|$  wird als Schrittweite bezeichnet.

Die Schrittweite  $h$  kann als konstant oder variabel gewählt werden [7]:

- konstantes  $h$ :

$$h = \frac{t_e - t_0}{N}$$

$$t_i = t_0 + i \cdot h$$

- variables  $h_i$ :

$$t_{i+1} = t_i + h_i$$

Man unterscheidet folgende Diskretisierungsverfahren:

### 3.2.2 Einschrittverfahren

Ein Einschrittverfahren (ESV) basiert auf einer Taylorreihenentwicklung um den Punkt  $t_i$ . Dabei werden  $t_i, x_i, h_i$  für die Berechnung von  $x_{i+1}$  verwendet:

$$x_{i+1} = x_i + h_i \Phi(t_i, x_i, h_i) \quad (3.6)$$

In dieser Vorschrift wird  $\Phi$  Verfahrensfunktion genannt, sie ergibt sich aus der Taylorreihenentwicklung.

### 3.2.3 Lineare Mehrschrittverfahren

Ein Lineares Mehrschrittverfahren (LMSV) basiert auf einer Polynomapproximation, da eine bestimmte Anzahl von Werten aus der Vergangenheit,  $t_k, x_k$  mit  $k = i + 1 - m, \dots, i + 1$ , für die Berechnung von  $x_{i+1}$  verwendet werden. Zur Vereinfachung der Darstellung wird eine konstante Schrittweite  $h$  gewählt.

$$\sum_{l=0}^m \alpha_l x_{i+l} = h \sum_{l=0}^m \beta_l f(t_{i+l}, x_{i+l}) \quad (3.7)$$

Aus dieser Darstellung lassen sich auch alle ESV ableiten.

### 3.2.4 Verfahrenstypen

Ist ein Verfahren unabhängig von den zukünftigen Werten  $t_{i+1}, x_{i+1}, h_{i+1}$  so wird es **explizit** genannt. Werden die Werte  $t_{i+1}, x_{i+1}, h_{i+1}$  benötigt, so ist das Verfahren **implizit**.

### 3.2.5 Fehler der numerischen Lösung

[7] unterscheidet den lokalen und globalen Fehler wie folgt:

- *lokaler Fehler*: Ist der Fehler der innerhalb eines Iterationsschrittes von  $x_i$  auf  $x_{i+1}$  entsteht, unter der Voraussetzung, dass die Iterationsschritte für  $x_i$  fehlerfrei durchgeführt wurden.
- *globaler Fehler*: Ist der akkumulierte Fehler für  $x_{i+1}$  aus den lokalen Fehlern.

Weiteres ergibt sich der *totale Fehler*  $\varepsilon_t$  aus:

$$\varepsilon_t(t_{i+1}) = \varepsilon_{d,global} + \varepsilon_r \quad (3.8)$$

Der Fehler  $\varepsilon_r$  ist der Rundungsfehler, der durch die begrenzte Zahlendarstellung im Computer auftritt. Die Variable  $\varepsilon_{d,global}$  ist hier der *globale Diskretisierungsfehler* an der Stelle  $t_{i+1}$ , den [11] wie folgt berechnet:

$$\varepsilon_{d,global}(t_{i+1}) = x(t_{i+1}) - x_{i+1} \quad (3.9)$$

Der *lokale Diskretisierungsfehler*  $\varepsilon_{d,lokal}(t_i)$  ergibt sich laut [11] aus der Differenz der exakten Lösung mit der Iterationsvorschrift, die ebenfalls mit der exakten Lösung berechnet wurde. Hier beispielhaft für das explizite Eulerverfahren:

$$\varepsilon_{d,lokal}(t_{i+1}) = \frac{x(t_{i+1}) - (x(t_i) + h \cdot f(t_i, x(t_i)))}{h} \quad (3.10)$$

Der Diskretisierungsfehler ist ein algorithmischer Fehler. Nimmt man an, dass es keinen Rundungsfehler gibt, so erkennt man, dass  $\varepsilon_t = \varepsilon_{d,global}$ .

## 3.3 Konsistenz, Konvergenz und numerische Stabilität

Für die Konsistenz von ESV und LMSV ist der lokale Diskretisierungsfehler  $\varepsilon_{d,lokal}$  (in einem Schritt), für die Konvergenz der globale Diskretisierungsfehler  $\varepsilon_{d,global}$  (in  $i$  Schritten) von Bedeutung. Auf diese Begriffe wird in diesem Abschnitt besonders eingegangen. Die in diesem Kapitel verwendeten Definitionen wurden aus [13] entnommen.

### 3.3.1 Konsistenz

Ein **ESV** oder **LMSV** ist konsistent, wenn gilt:

$$\lim_{h \rightarrow 0} \varepsilon_{d, \text{lokal}}(t_i) = 0$$

Die Konsistenzordnung  $q \in \mathbb{N}$  ergibt sich mit:

$$\|\varepsilon_{d, \text{lokal}}(t_i)\| = \mathcal{O}(h^q)$$

Erfolgt die Abtastung eines numerischen Verfahrens mit unendlich kleiner Schrittweite, ist ein Algorithmus konsistent, wenn lokal die numerische Lösung der exakten Lösung entspricht. Somit ist z.B. für ein **ESV**  $\varepsilon_{d, \text{lokal}}$  der vernachlässigte Rest der Taylorreihenentwicklung (4.2) dividiert durch die Schrittweite  $h$ . Das **ESV** besitzt Konsistenzordnung  $q$ . In der Literatur wird der lokale Diskretisierungsfehler auch oft als *Abschneidefehler* bezeichnet.

### 3.3.2 Numerische Stabilität

Da ein **ESV** durch die allgemeine Form von **LMSV** aus Gleichung 3.7 dargestellt werden kann, beziehen sich weitere Aussagen zur Stabilität auf diese Form. Stabilität garantiert, dass die richtige Lösung angenähert wird. Die weiteren Aussagen wurden an [30] angelehnt.

#### Nullstabilität

Für die Definition der Nullstabilität wird folgende Testgleichung verwendet:

$$\dot{x} = 0, x(0) = 1$$

Diese Testgleichung wird in Formel (3.7) eingesetzt und somit die rechte Seite der Formel Null gesetzt. Die Nullstellen dieser Gleichung können wie folgt berechnet werden:

$$\rho(r) = \sum_{l=0}^m \alpha_l r^l \quad (3.11)$$

Somit nennt sich (3.11) charakteristisches Polynom oder eines von zwei erzeugenden Polynomen.

Ein **LMSV** heißt null-stabil, wenn keine Nullstelle (NS) des charakteristischen Polynoms einen Betrag größer als 1 hat, und wenn alle NS mit Betrag 1 einfach sind.[25]

Durch Analysieren der Nullstellen  $r_i \in \mathbb{C}$  des charakteristischen Polynoms 3.11 erhält man folgende Stabilitätsaussagen:

- Das Verfahren ist nullstabil, wenn alle Nullstellen  $|r_i| \leq 1$  und  $|r_i| = 1$  einfach sind.
- Sind  $m - 1$  Nullstellen  $|r_i| < 1$ , ist das Verfahren stark stabil.
- Es ist schwach stabil, wenn mehr als eine Nullstelle auf dem Einheitskreis (EHK) liegen.

Die Nullstabilität sagt demnach aus, was passiert wenn  $h \rightarrow 0$ .

### Absolute Stabilität

Die Nullstabilität alleine garantiert nicht, dass die numerische Approximation für Schrittweiten  $h > 0$  zur wahren Lösung konvergiert, die absolute Stabilität schon.

Für die Definition des Begriffes der absoluten Stabilität wird folgende Testgleichung verwendet:

$$\dot{x} = \lambda x, x(0) = x_0 \quad (3.12)$$

Diese wird in Formel (3.7) eingesetzt.

*“ Ein Algorithmus wird absolut stabil genannt, wenn die numerische Lösung des Testproblems abklingendes Verhalten besitzt, sofern auch die exakte Lösung abklingt. Als Gebiet der absoluten Stabilität . . . wird jenes Gebiet in der komplexen  $h\lambda$ -Ebene bezeichnet, in welchem der Algorithmus absolut stabil ist. ”*

[7]

Somit ergibt sich folgendes zweites erzeugendes Polynom:

$$\sigma(r) = \sum_{l=0}^m (\alpha_l - h\beta_l \lambda) r^l \quad (3.13)$$

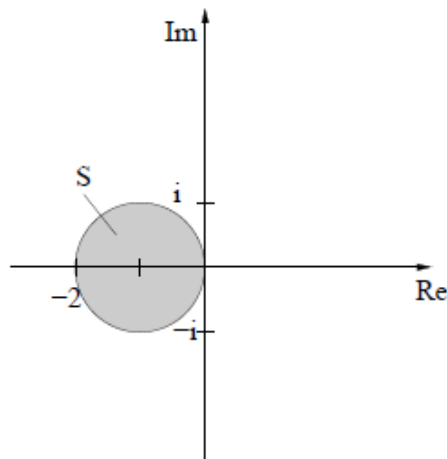
Mit  $\text{Re}\{\lambda\} < 0$ . Die Nullstellen des zweiten charakteristischen Polynoms definieren ein Gebiet der absoluten Stabilität mit einer fixen Schrittweite  $h$ , es wird eine komplexe  $h\lambda$ -Ebene aufgespannt. Das Verfahren ist absolut stabil für  $h\lambda$ , wenn alle Nullstellen von 3.13  $|r_i| < 1$  [15]. Für das explizite Eulerverfahren gilt folgendes Gebiet der absoluten Stabilität [12]:

$$|1 + h\lambda| < 1 \quad (3.14)$$

Somit gilt für die Schrittweite  $h$ :

$$h < \left| \frac{-2}{\lambda} \right| \quad (3.15)$$

Das ist in Abbildung 3.1 dargestellt.

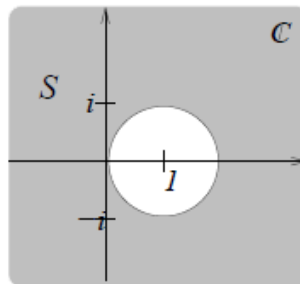


**Abbildung 3.1:** Gebiet der absoluten Stabilität explizites Eulerverfahren [28]

Das Gebiet der absoluten Stabilität für das implizite Eulerverfahren:

$$\left| \frac{1}{1 - h\lambda} \right| < 1 \quad (3.16)$$

Das numerische Integrationsverfahren ist für  $h > 0$  stabil. Somit beinhaltet das Stabilitätsgebiet die gesamte linke komplexe Halbebene, siehe Abbildung 3.2, dies nennt man auch *A-stabil*. [21]



**Abbildung 3.2:** Gebiet der absoluten Stabilität implizites Eulerverfahren [28]

### 3.3.3 Konvergenz

Konvergenz liegt dann vor, wenn:

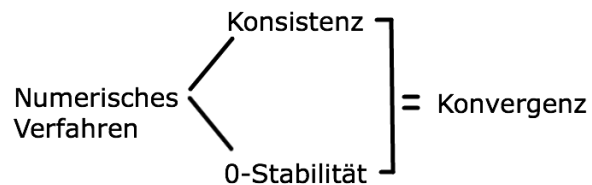
$$\lim_{i \rightarrow \infty} \varepsilon_{d,global}(t_i) = 0$$

Besitzt das ESV Konsistenzordnung  $q$ , somit ist auch gültig:

$$\|\varepsilon_{d,global}(t_i)\| = \mathcal{O}(h^q)$$

Wird das numerische Verfahren unendlich fein diskretisiert und die numerische Lösung nähert sich an die exakte Lösung an, so spricht man von einem konvergenten Verfahren.

Man kann davon ausgehen, wenn ein numerisches Verfahren *konsistent* und *nullstabil* ist, dass es auch *konvergent* ist. Das ist in Abbildung 3.3 grafisch festgehalten.



**Abbildung 3.3:** Zusammenhang Konsistenz, Stabilität und Konvergenz

## 3.4 Fehlermaße

Damit die numerischen Ergebnisse verschiedener Lösungsverfahren quantitativ vergleichbar sind, wurden zwei bestimmte Fehlermaße eingeführt, der durchschnittliche quadratische und der maximale Fehler. Je nach Verwendungszweck, Sichtweise oder System können verschiedene Fehlermaße verwendet werden.

Der durchschnittliche quadratische Fehler ist definiert durch:

$$E_{sqmean} = \frac{1}{N} \sum_{i=1}^N (w_i - f_i)^2 \quad (3.17)$$

Die Variable  $N$  bezeichnet die Anzahl der Abtast- oder Berechnungszeitpunkte,  $w_i$  ist der wahre Wert und  $f_i$  der fehlerhafte Wert zum  $i$ -ten Abtastzeitpunkt.

Der maximale Fehler ist durch die Supremumsnorm definiert:

$$E_{max} = \max_i |w_i - f_i| \quad (3.18)$$

# Kapitel 4

## Einschrittverfahren und lineare Mehrschrittverfahren

In Anlehnung an [21] wird die integrale Formulierung für ESV wie folgt dargestellt:

$$x(t_{i+1}) = x(t_i) + \int_{t_i}^{t_{i+1}} f(s, x(s)) ds \quad (4.1)$$

Ausgehend von dieser Darstellung kann die Lösung  $x(t)$  des Anfangswertproblem (AWP) laut [7] durch eine Taylorreihenentwicklung um den Punkt  $t_i$  approximiert werden. Alle darauf basierenden Algorithmen nennt man ESV.

$$\begin{aligned} x(t_i + h) &= x(t_i) + x'(t_i)h + x''(t_i)\frac{h^2}{2!} + \dots + x^{(k)}(t_i)\frac{h^k}{k!} + O(h^{k+1}) \\ x(t_i + h) &= x(t_i) + f(t_i, x_i)h + f'(t_i, x_i)\frac{h^2}{2!} + \dots \\ &\quad + f^{(k-1)}(t_i, x_i)\frac{h^k}{k!} + O(h^{k+1}) \end{aligned} \quad (4.2)$$

$O(h^{k+1})$  ist der vernachlässigte Term der Ordnung  $k + 1$ .

Allgemein kann ein (explizites) Einschrittverfahren mit konstanter Schrittweite  $h$  laut [28] wie in Gleichung 3.6 dargestellt werden.

Auch für LMSV wird in [21] folgende Darstellung

$$x(t_{i+1}) = x(t_{i+1-\sigma}) + \int_{t_{i+1-\sigma}}^{t_{i+1}} f(s, x(s)) ds \quad (4.3)$$

verwendet, wobei  $\sigma \in \mathbb{N}$ ,  $\sigma \leq m$  die Anzahl der vorhergehenden Werte ist.

Die Formulierung für ein solches Verfahren ist in 3.7 dargestellt. Meist wird  $\alpha_0 = 1$  gewählt. Falls  $\beta_0 \neq 0$  ist das Verfahren implizit, anderenfalls explizit. Sind alle  $\alpha_l = 0$ , außer  $\alpha_0$ , so entspricht das einem ESV. Erforderliche Startwerte werden für LMSV oft durch ESV berechnet.

## 4.1 Einschrittverfahren und die Auswirkungen des Einganges auf die numerische Lösung

Hier werden nur ein paar, vorwiegend einfache, explizite, sowie implizite Verfahren aufgelistet, die auch später noch behandelt werden. Beginnend mit dem einfachsten, dem Eulerverfahren. All diese Verfahren sind konsistent und konvergent. Für die Anwendung der Algorithmen ist wichtig, geeignete (konsistente) Anfangswerte zu verwenden.

Die Eingangsfunktion  $u(t)$  wirkt auf die Systemgleichungen und somit auf die Diskretisierungsverfahren ein. Dies hat eine Abtastung des Einganges  $u_i$  zu diskreten Zeitpunkten  $t_i$  zur Folge  $u_i = u(t_i)$ .

### 4.1.1 Explizites Eulerverfahren

Nach dem zweiten Glied der Taylorreihenentwicklung 4.2 wird hier abgebrochen.

$$x_{i+1} = x_i + hf(t_i, x_i, u_i) \quad (4.4)$$

#### Auswirkungen des Fehlers

Der vernachlässigte Rest  $\mathcal{O}(h^2)$  entspricht somit dem lokalen Diskretisierungsfehler an der Stelle  $t_i$ . Der quadratische Anteil des vernachlässigten Terms fließt am meisten in  $\varepsilon_{d, \text{lokal}}$  ein. Die Berechnung wurde anlehnd an [3] gezeigt:

$$\begin{aligned} x''(t_i) \frac{h^2}{2!} &= \left. \frac{d^2 x(t)}{dt^2} \frac{h^2}{2!} \right|_{t=t_i} \\ &= \left. \frac{df(t, x)}{dt} \frac{h^2}{2!} \right|_{t=t_i} \\ &= \left( \frac{\partial f}{\partial x} \frac{dx}{dt} + \frac{\partial f}{\partial u} \frac{du}{dt} + \frac{\partial f}{\partial t} \right) \frac{h^2}{2!} \Big|_{t=t_i} \\ &= \bar{\varepsilon}_{d, \text{lokal}} \end{aligned} \quad (4.5)$$

Die Gleichung ist, wie in 3.2 erwähnt, auch vom Eingang  $u(t)$  abhängig, deswegen wird  $u$  nach der Zeit  $t$  abgeleitet.

Wie man aus Gleichung 4.5 erkennt, wirkt sich die Ableitung des Einganges  $u$  nach der Zeit  $t$  auf den lokalen Diskretisierungsfehler aus. Bei starken Änderungen der Eingangsfunktion  $u(t)$  kann dieser einen großen Wert annehmen.

Hängt  $f$  nicht explizit von  $t$  ab, wird sich  $\frac{\partial f}{\partial t}$  zu null ergeben.

Liegt das DGL-System der Form  $\dot{\mathbf{x}} = \mathbf{A}\mathbf{x} + \mathbf{b}u$  vor, ist zu erkennen, dass sich durch  $\frac{\partial f}{\partial u} \frac{du}{dt} = \mathbf{b}\dot{u}$  ergibt. Somit nimmt der Eingangsvektor  $\mathbf{b}$  Einfluss auf den lokalen Diskretisierungsfehler.

### 4.1.2 Explizites Runge-Kuttaverfahren 2.Ordnung

Dieses Verfahren besitzt folgenden Algorithmus:

$$\begin{aligned} x_{i+1} &= x_i + h [a \cdot k_1 + b \cdot k_2] \\ k_1 &= f(t_i, x_i) \\ k_2 &= f(t_i + p \cdot h, x_i + p \cdot h \cdot k_1) \end{aligned} \quad (4.6)$$

[7] zeigt, dass dies einer Taylorreihenentwicklung gleichzusetzen ist, die nach dem dritten Glied abgebrochen wird. Folgend ergibt sich:

#### Auswirkungen des Fehlers

$$x(t_i + h) = x(t_i) + h \left[ f(t_i, x(t_i)) + \frac{h}{2} \left( \frac{\partial f}{\partial x} \frac{dx}{dt} + \frac{\partial f}{\partial u} \frac{du}{dt} + \frac{\partial f}{\partial t} \right) \Big|_{t=t_i} \right] \quad (4.7)$$

Daraus ist zu erkennen, dass in die Berechnung für  $x_{i+1}$  schon  $\dot{u}$  einfließt und somit ein genaueres Ergebnis zu erwarten ist.

Der lokale Fehler ist somit der vernachlässigte Rest  $\mathcal{O}(h^3)$ :

$$\begin{aligned} x'''(t_i) \frac{h^3}{3!} &= \frac{d^3 x(t)}{dt^3} \frac{h^3}{3!} \Big|_{t=t_i} \\ &= \frac{d^2 f(t, x)}{dt^2} \frac{h^3}{3!} \Big|_{t=t_i} \\ &= \frac{d}{dt} \left( \frac{\partial f}{\partial x} \frac{dx}{dt} + \frac{\partial f}{\partial u} \frac{du}{dt} + \frac{\partial f}{\partial t} \right) \frac{h^3}{3!} \Big|_{t=t_i} \\ &= \bar{\varepsilon}_{d, \text{lokal}}(t_i) \end{aligned}$$

Berechnet man die Ableitung nach der Zeit  $t$ , ergibt sich für:

$$\begin{aligned} \bar{\varepsilon}_{d, \text{lokal}}(t_{i+1}) &= \left( \frac{\partial^2 f}{\partial x^2} \dot{x}^2 + \frac{\partial f}{\partial x} \ddot{x} + \frac{\partial^2 f}{\partial x \partial u} \dot{x} \dot{u} + \frac{\partial f}{\partial x} \ddot{x} \right. \\ &+ \frac{\partial^2 f}{\partial u \partial x} \dot{u} \dot{x} + \frac{\partial f}{\partial u} \ddot{u} + \frac{\partial^2 f}{\partial u^2} \dot{u}^2 + \frac{\partial f}{\partial u} \ddot{u} \\ &+ \frac{\partial^2 f}{\partial x \partial t} \dot{x} + \frac{\partial f}{\partial x} \ddot{x} + \frac{\partial^2 f}{\partial u \partial t} \dot{u} + \frac{\partial f}{\partial u} \ddot{u} \\ &\left. + \frac{\partial^2 f}{\partial t \partial x} \dot{x} + \frac{\partial^2 f}{\partial t \partial u} \dot{u} + \frac{\partial^2 f}{\partial t^2} \right) \frac{h^3}{3!} \Big|_{t=t_i} \end{aligned} \quad (4.8)$$

Es ist ersichtlich, dass  $\dot{u}$  und  $\ddot{u}$  in den Fehler eingehen.

Aufgrund des genaueren Algorithmus als bei Eulerverfahren ist ein kleinerer Diskretisierungsfehler zu erwarten.

### 4.1.3 Implizites Eulerverfahren

$$x_{i+1} = x_i + hf(t_{i+1}, x_{i+1}) \quad (4.9)$$

Für die Lösung von  $x_{i+1}$  wird ein Verfahren zur Lösung nichtlinearer Gleichungen, wie z.B. das *Newton Verfahren* verwendet, wie in [33] beschrieben. Solche Verfahren nennt man iterative Nullstellensuche. In Abbildung 4.1 ist das Verfahren schematisch dargestellt. Das Verfahren berechnet für  $\varphi(x^*) = 0$  die Nullstelle  $x^*$ . Diese Nullstellensuche nähert sich iterativ an die exakte Lösung  $x^*$  an.

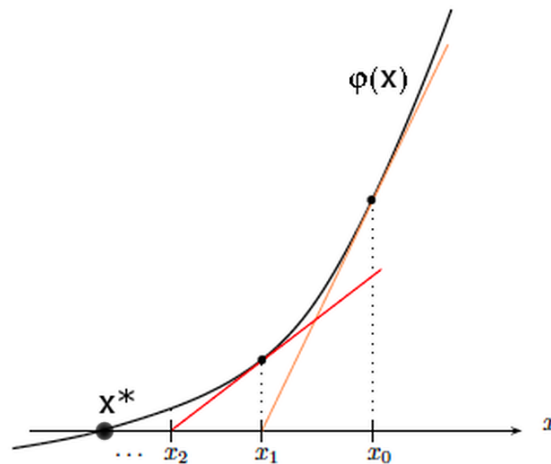


Abbildung 4.1: Darstellung Newton-Verfahren [33]

Die iterativ berechneten Lösungen  $x_k$  für Probleme der Form  $\varphi(x_k) = 0$  werden für jeden Iterationsschritt folgend berechnet:

$$x_{k+1} = x_k - \frac{\varphi(x_k)}{\varphi'(x_k)} \quad (4.10)$$

Der Index  $k$  ist hierbei der Iterationsschritt. Die Funktion  $\varphi(x_k)$  wird nach der zu iterierenden Variable  $x_k$  abgeleitet. Die Iteration wird so lange wiederholt, bis eine Fehlerschranke für  $|x_{k+1} - x_k|$  unterschritten wird.

Angelehnt an [11], indem zur Lösung eines DAE System die Zustandsgleichungen und Nebenbedingung (NB) auf die Form  $\varphi(x_k, z_k) = 0$  gebracht wurde, kann ein ODE System 2. Ordnung in folgende Form gebracht und somit von einem impliziten Lösungsverfahren numerisch berechnet werden:

$$\mathbf{p}_{i+1} = (x_{1,i+1}, x_{2,i+1})^T$$

$$\varphi(\mathbf{p}_{i+1}) = (\varphi_1(x_{1,i+1}), \varphi_2(x_{2,i+1}))^T = \mathbf{0} \quad (4.11)$$

$$\mathbf{p}_{i+1,k+1} = \mathbf{p}_{i+1,k} - \mathbf{J}(\mathbf{p}_{i+1,k})^{-1} \varphi(\mathbf{p}_{i+1,k}) \quad (4.12)$$

Für jeden Diskretisierungsschritt  $t_{i+1}$  wird das Gleichungssystem (4.12) gelöst. Es wird solange iteriert bis  $|\mathbf{p}_{i+1,k+1} - \mathbf{p}_{i+1,k}| \leq \varepsilon$ .

### Auswirkungen des Fehlers

Zu betrachten ist nun, in welchem Ausmaß die Eingangsfunktion  $u(t)$  das Ergebnis einer iterativen Nullstellensuche beeinflusst.

Dazu wird die Jacobi-Matrix eingehend analysiert [11]:

$$\mathbf{J}(\mathbf{p}_{i+1,k}) = \begin{pmatrix} \frac{\partial \varphi_1}{\partial x_{1,i+1,k}} & \frac{\partial \varphi_2}{\partial x_{1,i+1,k}} \\ \frac{\partial \varphi_1}{\partial x_{2,i+1,k}} & \frac{\partial \varphi_2}{\partial x_{2,i+1,k}} \end{pmatrix} \quad (4.13)$$

Bei allen Lösungsverfahren wie dem Newton Verfahren, oder der Fixpunktiteration wird nach den Zustandsvariablen abgeleitet  $x_{i+1}$  und nicht nach der Zeit  $t$ . Somit ergibt sich, dass der Eingang und dessen Unstetigkeiten diese Verfahren nicht beeinflussen, da  $\dot{u}$  nicht vorkommt. Der einzige Fehler ergibt sich hier aus der Ungenauigkeit  $\epsilon$ .

Auch bei impliziten Verfahren gibt es einen Abschneidefehler, welcher gleich motiviert werden kann wie in Gleichung 4.2, nur entwickelt man hier um  $t_{i+1}$ , wie [31], [28] und [26]:

$$x(t_{i+1} - h) = x(t_{i+1}) - f(t_{i+1}, x_{i+1})h - \mathcal{O}(h^2) \quad (4.14)$$

Somit ergibt sich der Hauptteil des lokalen Diskretisierungsfehlers genau wie beim expliziten Eulerverfahren aus Gleichung 4.5 plus dem Fehler  $\epsilon$  aus dem Newton Verfahren.

$$\bar{\epsilon}_{d, \text{lokal}} = \left( \frac{\partial f}{\partial x} \frac{dx}{dt} + \frac{\partial f}{\partial u} \frac{du}{dt} + \frac{\partial f}{\partial t} \right) \frac{h^2}{2!} \Big|_{t=t_{i+1}} + \epsilon \quad (4.15)$$

Auch hier fließt  $\dot{u}$  in den Fehler mit ein.

## 4.2 Lineare Mehrschrittverfahren und die Auswirkungen des Einganges auf die numerische Lösung

Es wird allgemein der lokale Diskretisierungsfehler von LMSV angegeben. Aus der allgemeinen Form lässt sich für jedes Verfahren der Form 3.7 der lokale Diskretisierungsfehler  $\epsilon_{d, \text{lokal}}$  herleiten.

Der lokale Diskretisierungsfehler für LMSV ergibt sich zu:

$$\epsilon_{d, \text{lokal}} = \frac{1}{h} \left( \sum_{l=0}^m \alpha_l x(t_{i+l}) - h \sum_{l=0}^m \beta_l f(t_{i+l}, x(t_{i+l})) \right) \quad (4.16)$$

Unter Zuhilfenahme der Taylorreihenentwicklungen

$$\begin{aligned} x(t_i + lh) &= x(t_i) + lh x'(t_i) + \frac{(lh)^2}{2} x''(t_i) + \dots + \frac{(lh)^q}{q!} x^{(q)}(t_i) + \mathcal{O}(h^{q+1}) \\ x'(t_i + lh) &= x'(t_i) + lh x''(t_i) + \frac{(lh)^2}{2} x'''(t_i) + \dots + \frac{(lh)^{q-1}}{(q-1)!} x^{(q-1)}(t_i) + \mathcal{O}(h^q) \end{aligned}$$

, die in Gleichung 4.16 eingesetzt werden, kann der lokale Diskretisierungsfehler bestimmt werden. Als Beispiel dienen impliziter und expliziter Euler:

- $\alpha_0 = -1, \alpha_1 = 1, \beta_0 = 0$  :

$$\bar{\varepsilon}_{d, \text{lokal}} = -\frac{h}{2} f'(t_i, x_i) \quad (4.17)$$

- $\alpha_0 = -1, \alpha_1 = 1, \beta_1 = 0$  :

$$\bar{\varepsilon}_{d, \text{lokal}} = \frac{h}{2} f'(t_i, x_i) \quad (4.18)$$

## 4.3 Differential-algebraische Lösungsverfahren

Um ein differential-algebraisches Gleichungssystem zu lösen, muss einerseits numerisch integriert werden und andererseits die NB eingehalten werden. In [11] werden für Index-1-Systeme zwei Algorithmen vorgestellt, eine explizite und eine implizite Vorgehensweisen.

### 4.3.1 Explizites numerisches Integrationsverfahren

Ausgehend von einem expliziten Eulerverfahren zur Integration, sieht der Algorithmus wie folgt aus:

$$\begin{aligned} k = i : \quad 0 &= g(x_i, z_i) \Rightarrow z_i \\ k = i + 1 : \quad x_{i+1} &= x_i + f(x_i, z_i) \Rightarrow x_{i+1} \end{aligned} \quad (4.19)$$

Die Anfangswerte  $x_0$  müssen gegeben sein. Es werden die algebraische Gleichung und die Differenzgleichung sequentiell gelöst. Dies fordert einen zusätzlichen algebraischen Gleichungslöser im Algorithmus. Es ist jedoch mit einem geringen Rechenaufwand verbunden.

### 4.3.2 Implizites numerisches Integrationsverfahren

Bei diesem Verfahren werden implizite numerische Integrationsverfahren, wie z.B. das implizite Eulerverfahren, angewendet. Somit können die Differenzgleichung und die algebraische Gleichung gleichzeitig gelöst werden.

$$\begin{aligned} x_{i+1} &= x_i + f(x_{i+1}, z_{i+1}) \\ 0 &= g(x_{i+1}, z_{i+1}) \end{aligned} \quad (4.20)$$

Zur Lösung wird wie in Abschnitt 4.1.3 eine iterative Nullstellensuche verwendet. Passt man das Verfahren für die neuen Verhältnisse an, erhält man das nichtlineare Gleichungssystem:

$$\begin{aligned} \mathbf{p}_{i+1} &= (x_{1,i+1}, x_{2,i+1}, z_{i+1})^T \\ \varphi(\mathbf{p}_{i+1}) &= (\varphi_1(x_{1,i+1}), \varphi_2(x_{2,i+1}, \varphi_3(z_{i+1})))^T = \mathbf{0} \\ \mathbf{p}_{i+1,k+1} &= \mathbf{p}_{i+1,k} - \mathbf{J}(\mathbf{p}_{i+1,k})^{-1} \varphi(\mathbf{p}_{i+1,k}) \end{aligned} \quad (4.21)$$

Dieses Verfahren ist mit mehr Rechenaufwand verbunden, es ist jedoch für größere Schrittweiten numerisch stabil.

### 4.3.3 Einfluss der Eingangsgröße auf den lokalen Diskretisierungsfehler

In Kapitel 4.1 wurde gezeigt, dass sich der lokale Diskretisierungsfehler zwischen implizitem und explizitem numerischen Integrationsverfahren nur im Vorzeichen unterscheidet. Somit ist es ausreichend, für ein DAE System, das mit einem Eulerverfahren gelöst wird, den Restterm der Taylorreihenentwicklung nur einmal anzugeben. Ergänzend zu der in 4.1 gezeigten Herleitung ist, dass man nach einer weiteren zeitabhängigen Variable  $z(t)$  ableiten muss.

$$\bar{\varepsilon}_{d, \text{lokal}} = \left( \frac{\partial f}{\partial x} \frac{dx}{dt} + \frac{\partial f}{\partial u} \frac{du}{dt} + \frac{\partial f}{\partial z} \frac{dz}{dt} + \frac{\partial f}{\partial t} \right) \frac{h^2}{2!} \Big|_{t=t_{i+1}} + \varepsilon \quad (4.22)$$

Die Variable  $\varepsilon$  kennzeichnet den Fehler, der durch den algebraischen Gleichungslöser verursacht wird. Aus Formel (4.22) ist erkennbar, dass sich  $\dot{u}(t)$  direkt auf den Fehler auswirkt. Indirekt könnte sich auch durch  $\dot{z}(t)$  eine zeitliche Ableitung der Eingangsfunktion  $u(t)$  ergeben, die sich zusätzlich auf den Fehler auswirkt. Dies wird in Abschnitt 5.2.1 näher behandelt.

Für das implizite Verfahren aus Gleichung (4.21) wird die Jacobi-Matrix analysiert:

$$\mathbf{J}(\mathbf{p}_{i+1,k}) = \begin{pmatrix} \frac{\partial \varphi_1}{\partial x_{1,i+1,k}} & \frac{\partial \varphi_2}{\partial x_{1,i+1,k}} & \frac{\partial \varphi_3}{\partial x_{1,i+1,k}} \\ \frac{\partial \varphi_1}{\partial x_{2,i+1,k}} & \frac{\partial \varphi_2}{\partial x_{2,i+1,k}} & \frac{\partial \varphi_3}{\partial x_{2,i+1,k}} \\ \frac{\partial \varphi_1}{\partial z_{i+1,k}} & \frac{\partial \varphi_2}{\partial z_{i+1,k}} & \frac{\partial \varphi_3}{\partial z_{i+1,k}} \end{pmatrix} \quad (4.23)$$

Auch hier ist erkennbar, dass die zeitliche Ableitung  $\dot{u}(t)$  nicht in die iterative Nullstellensuche einfließt.

# Kapitel 5

## Vergleich von numerischen Lösungsverfahren anhand eines Testsystems

Im vorhergehenden Kapitel wurde die Auswirkung des Eingangssignales auf den lokalen Diskretisierungsfehler für verschiedene Lösungsverfahren theoretische behandelt. Um diese Effekte auch praktische beweisen zu können, werden in diesem Kapitel verschiedene Testsysteme eingeführt. Diese Systeme sind jeweils zwei DGL 1. Ordnung. Folgende Testsysteme werden behandelt: Ein einfaches lineares, ein steifes und zwei DAE-Systeme. Bei einem DAE-System wirkt das Eingangssignal  $u(t)$  auf die algebraische NB, beim anderen nicht. Diesen Testsystemen wird ein bestimmtes Eingangssignal  $u(t)$  aufgeschaltet. Mit diesem Eingangssignal ist es möglich die Ruhelage der Systeme im gesamten Zustandsraum zu wählen und man kann somit einen beliebigen zeitlichen Verlauf der Zustandsgrößen (Trajektorienverlauf) vorgeben.

Um die eingeführten Fehlermaße anwenden zu können, werden die analytische Lösungen berechnet. Jeweils für das kontinuierliche und das abgetastete Eingangssignal. Es ist zu erwähnen, dass die DAE-Systeme so gewählt wurden, dass beide den selben Lösungsverlauf wie beim ODE-System besitzen.

An diesen Testsystemen und den beiden Eingangssignalen werden verschiedene Versuche in MATLAB durchgeführt. Es werden verschiedene numerische Integrationsverfahren mit fester und variabler Schrittweite angewendet und die Simulationsergebnisse mit den analytischen Lösungen verglichen und anschließend diskutiert.

### 5.1 Definition der Testsysteme

Für die erste Auswertung der Simulationsergebnisse wurden vier einfache Testsysteme 2. Ordnung gewählt: Ein lineares gewöhnliche Differenzialgleichung (ODE)-System, ein steifes System und zwei DAE-Systeme, eines weist  $u(t)$  in der NB auf, das andere nicht. Jedes dieser linearen, zeitinvariante (LTI) Systeme wurde jeweils für ein kontinuierliches und ein abgetastetes Eingangssignal berechnet.

Weiteres wurde ein instabiles System definiert, welches mit Hilfe einer eingepassten Schaltgeraden und einem der oben genannten stabilen Systeme kombiniert wurde. Durch die Wahl einer geeigneten Eingangsfunktion  $u(t)$  resultiert ein spezieller Verlauf der Zustandsgrößen. Trifft diese Trajektorie auf die Schaltgerade, so wird das instabile System wirksam und sie läuft ins Unendliche. Dies dient zur Veranschaulichung, wie sich die Eingangsfunktion  $u(t)$  auf die Stabilität auswirkt.

### 5.1.1 Lineares ODE-System mit Schaltgerade

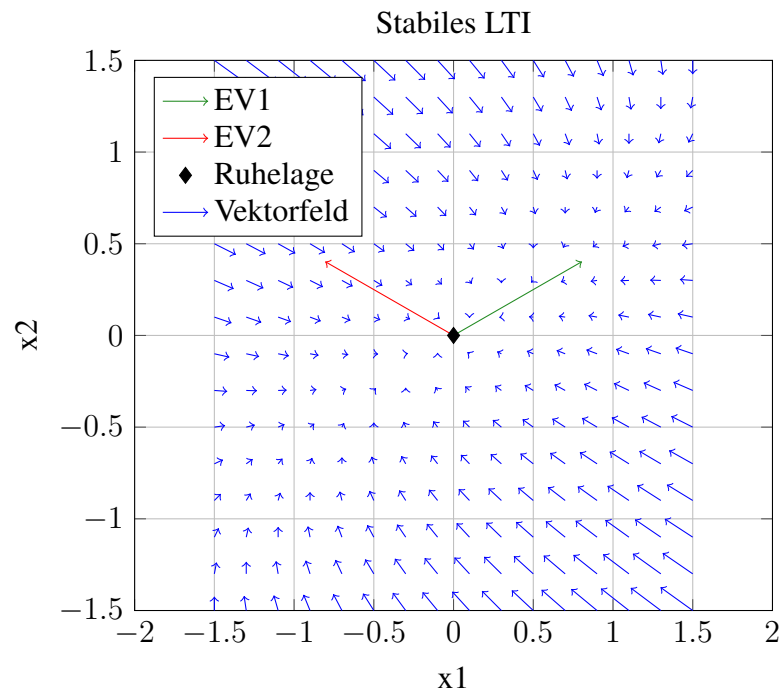
Das stabile lineare, zeitinvariante System (LTI) System 2. Ordnung wurde wie folgt definiert:

$$\dot{\mathbf{x}} = \mathbf{A}_1 \mathbf{x} + \mathbf{b}_1 u = \begin{pmatrix} -0.5 & 0.5 \\ 0.125 & -0.5 \end{pmatrix} \mathbf{x} + \begin{pmatrix} -0.5 \\ 1 \end{pmatrix} u =: \mathbf{f}_1(\mathbf{x}, u) \quad (5.1)$$

Der Eingang  $u(t)$  wird beliebig vorgegeben. Dieses System weist folgende EV und stabile Eigenwerte (EW) auf:

$$\begin{aligned} s_1 &= -0.25 \\ s_2 &= -0.75 \\ \mathbf{v}_1 &= \begin{pmatrix} 1 \\ 0.5 \end{pmatrix} \\ \mathbf{v}_2 &= \begin{pmatrix} -1 \\ 0.5 \end{pmatrix} \end{aligned} \quad (5.2)$$

In Abbildung 5.1 sind das Vektorfeld des Systems (5.1) und dessen EV für die RL  $x_R = 0$  und  $u_R = 0$  dargestellt.



**Abbildung 5.1:** Stabiles System mit RL und EV

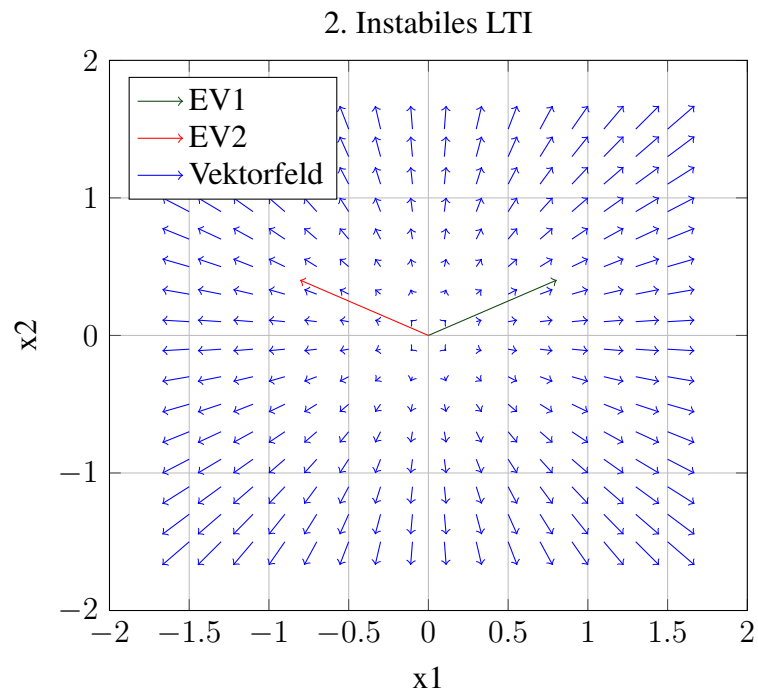
Für das kombinierte System wird folgende Systemgleichung für das instabile, von  $u$  unabhängige, Teilsystem definiert:

$$\dot{\mathbf{x}} = \mathbf{A}_2 \mathbf{x} = \begin{pmatrix} 2 & 0 \\ 0 & 2 \end{pmatrix} \mathbf{x} \quad (5.3)$$

Die zugehörigen EW und EV lauten:

$$\begin{aligned} s_1 = s_2 &= 2 \\ \mathbf{v}_1 &= \begin{pmatrix} 1 \\ 0 \end{pmatrix} \\ \mathbf{v}_2 &= \begin{pmatrix} 0 \\ 1 \end{pmatrix} \end{aligned}$$

In Abbildung 5.2 ist das Vektorfeld des Systems (5.3) und dessen EV mit zugehöriger RL dargestellt.



**Abbildung 5.2:** Instabiles System mit EV

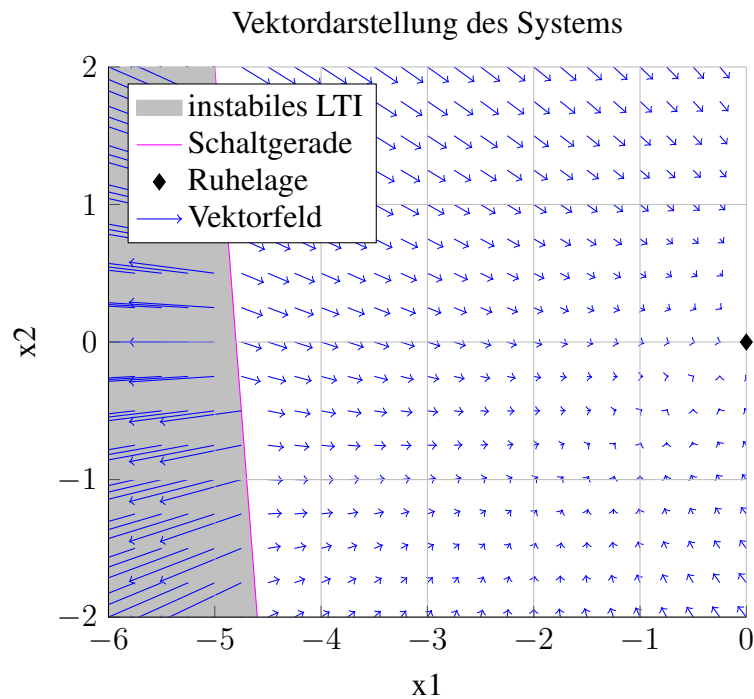
Die Vereinigung von instabilem und stabilem System, welche durch eine Schaltgerade  $G$  getrennt werden, ergibt das kombinierte Testsystem das in weiterer Folge definiert wird:

$$G : x_2 = -10x_1 - 48 \quad (5.4)$$

Das resultierende System kann als Zustandsraummodell folgend angeschrieben werden:

$$\dot{\mathbf{x}} = \begin{cases} \mathbf{A}_1 \mathbf{x} + \mathbf{b}_1 u & \text{für } x_2 \geq -10x_1 - 48 \\ \mathbf{A}_2 \mathbf{x} & \text{sonst} \end{cases} \quad (5.5)$$

Das finale System ist in Grafik 5.3 abgebildet.



**Abbildung 5.3:** System mit Schaltgerade. Linksseitig: instabiles System, rechtsseitig: stabiles System

Wird  $G$  durch die Vorgabe einer beliebigen Ruhelage überschritten, wird ein anderes Teilsystem wirksam.

### 5.1.2 Steifes, lineares ODE-System mit Schaltgerade

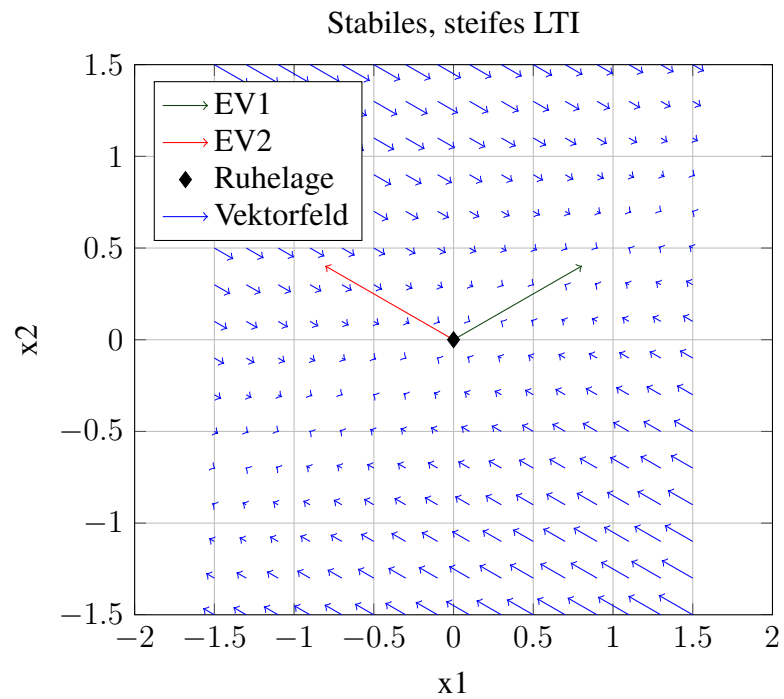
Das Teilsystem für den steifen, stabilen Fall lautet:

$$\dot{\mathbf{x}} = \mathbf{A}_3 \mathbf{x} + \mathbf{b}_1 u = \begin{pmatrix} -150.125 & 299.75 \\ 74.9375 & -150.125 \end{pmatrix} \mathbf{x} + \begin{pmatrix} -0.5 \\ 1 \end{pmatrix} u =: \mathbf{f}_2(\mathbf{x}, u) \quad (5.6)$$

Es besitzt folgende EW:

$$\begin{aligned} s_1 &= -0.25 \\ s_2 &= -300 \end{aligned} \quad (5.7)$$

Die EV entsprechen  $v_1$  und  $v_2$  aus Formel (5.2). Das Vektorfeld des Systems aus Gleichung (5.6) mit der RL für  $x_R = 0$  und  $u_R = 0$  ist in Abbildung 5.4 dargestellt.

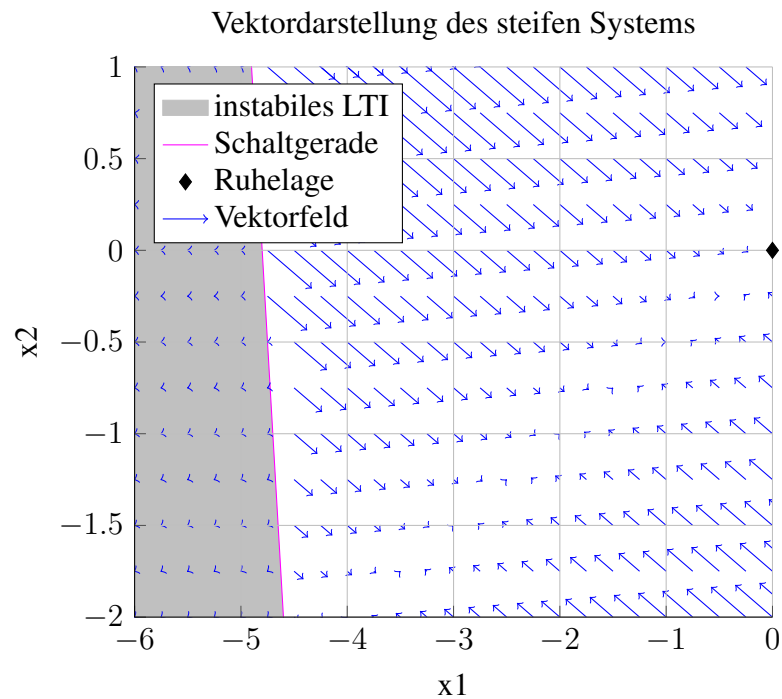


**Abbildung 5.4:** Stabiles, steifes System mit RL und EV

Kombiniert mit dem instabilen System 5.3 und der Schaltgeraden  $G$  (5.4) ergibt sich folgendes Testsystem:

$$\dot{\mathbf{x}} = \begin{cases} \mathbf{A}_3 \mathbf{x} + \mathbf{b}_1 u & \text{für } x_2 \geq -10x_1 - 48 \\ \mathbf{A}_2 \mathbf{x} & \text{sonst} \end{cases} \quad (5.8)$$

In Abbildung 5.5 ist das vereinigte System grafisch dargestellt.



**Abbildung 5.5:** System mit Schaltgerade. Linksseitig: instabiles System, rechtsseitig: stabiles, steifes System

### 5.1.3 Lineares DAE System mit Schaltgerade

Für stabile DAE Systeme 2. Ordnung vom Index 1 wurden zwei Systeme gewählt. Folgendes stabiles DAE System weist  $u(t)$  in der NB auf:

$$\begin{aligned}\dot{\mathbf{x}} &= \mathbf{A}_4 \mathbf{x} + \mathbf{b}_2 u = \begin{pmatrix} -0.25 & 0.5 \\ 0.125 & -0.5 \end{pmatrix} \mathbf{x} + \begin{pmatrix} 1 \\ 0 \end{pmatrix} z + \begin{pmatrix} 1.5 \\ 2 \end{pmatrix} u := \mathbf{f}_3(\mathbf{x}, z, u) \\ 0 &= 0.25x_1 + 2u + z_1 =: g_1(\mathbf{x}, z)\end{aligned}\quad (5.9)$$

Das zweite stabile DAE System ist in der NB unabhängig von der Eingangsfunktion  $u(t)$ :

$$\begin{aligned}\dot{\mathbf{x}} &= \mathbf{A}_4 \mathbf{x} + \mathbf{b}_1 u = \begin{pmatrix} -0.25 & 0.5 \\ 0.125 & -0.5 \end{pmatrix} \mathbf{x} + \begin{pmatrix} 1 \\ 0 \end{pmatrix} z + \begin{pmatrix} -0.5 \\ 1 \end{pmatrix} u := \mathbf{f}_4(\mathbf{x}, z, u) \\ 0 &= 0.25x_1 + z_1 =: g_2(\mathbf{x}, z)\end{aligned}\quad (5.10)$$

Kombiniert mit dem instabilen System 5.3 und der Schaltgeraden  $G$  (5.4) ergibt sich für das erste Testsystem:

$$\dot{\mathbf{x}} = \begin{cases} \mathbf{A}_4 \mathbf{x} + \mathbf{b}_2 u & \text{für } x_2 \geq -10x_1 - 48 \\ \mathbf{A}_2 \mathbf{x} & \text{sonst} \end{cases}\quad (5.11)$$

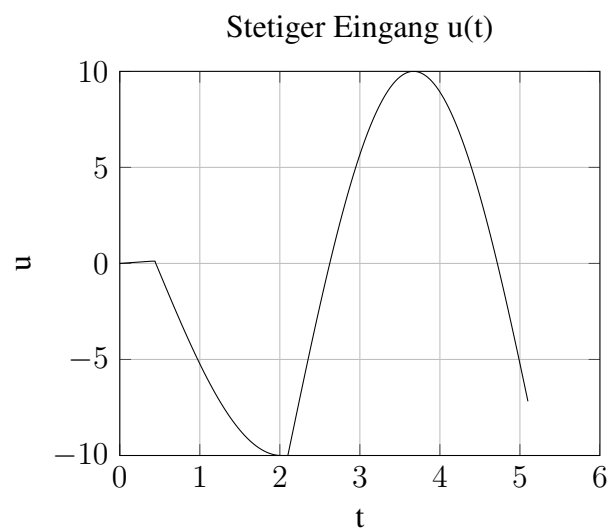
, sowie für das zweite Testsystem: Kombiniert mit dem instabilen System 5.3 und der Schaltgeraden  $G$  ((5.4)) ergibt sich folgendes Testsystem:

$$\dot{\mathbf{x}} = \begin{cases} \mathbf{A}_4 \mathbf{x} + \mathbf{b}_2 u & \text{für } x_2 \geq -10x_1 - 48 \\ \mathbf{A}_2 \mathbf{x} & \text{sonst} \end{cases} \quad (5.12)$$

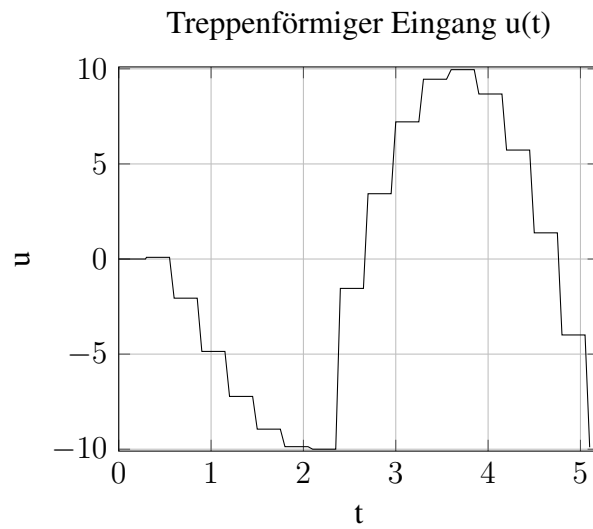
Für beide Systeme gelten die selben EV und EW für das instabile und stabile System, sowie die Schaltgerade wie in Abschnitt 5.1.1. Somit ergibt sich schlussendlich der selbe Trajektorienverlauf bei selbem Eingang  $u(t)$ .

### 5.1.4 Analytische Lösungen

Für die Auswertung der Simulationsergebnisse ist es notwendig, die analytische Lösung der stabilen Testsysteme zu ermitteln. Hier spielt das Eingangssignal  $u(t)$  eine wichtige Rolle.

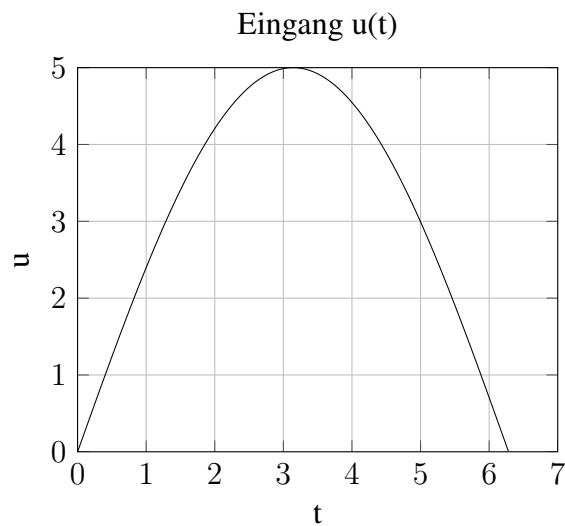


**Abbildung 5.6:** Stetiges Eingangssignal  $u(t)$

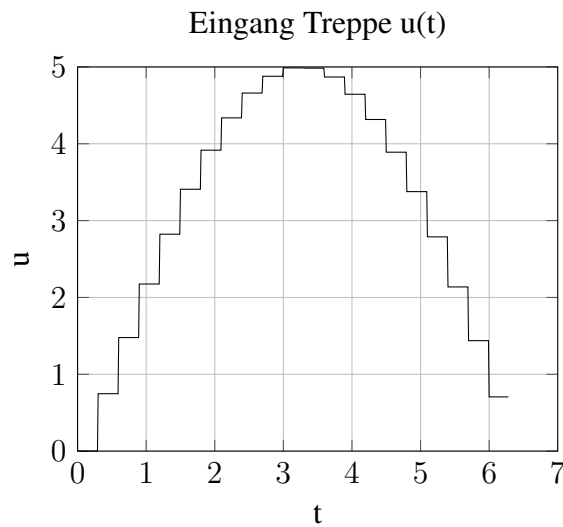


**Abbildung 5.7:** Abgetastetes Eingangssignal  $u_{tr}(t)$

In Abbildung 5.6 ist das stetige Eingangssignal für das einfache LTI System und die DAE Systeme dargestellt. Dieses wurde alle  $\Delta T = 0.3s$  abgetastet und ist in Grafik 5.7 abgebildet. Das stetige und abgetastete Eingangssignal für das steife LTI System ist in Abbildung 5.8 und 5.9 aufgezeichnet.



**Abbildung 5.8:** Stetiges Eingangssignal  $u(t)$



**Abbildung 5.9:** Abgetastetes Eingangssignal  $u_{tr}(t)$

Das Integral für die Lösung eines LTI Systems nach  $\mathbf{x}(t)$  ist folgend aus [9] gegeben:

$$\mathbf{x}(t) = \phi(t)\mathbf{x}_0 + \int_0^t \phi(t - \tau)\mathbf{b}u(\tau)d\tau \quad (5.13)$$

Die Variable  $\phi(t)$  stellt die Transitionsmatrix,  $\mathbf{x}_0$  die Startwerte und  $\mathbf{b}$  den Eingangsvektor des LTI Systems dar.

Die Transitionsmatrix  $\phi(t)$  wurde zuerst im Laplace-Bereich berechnet und nachträglich in den Zeitbereich zurück transformiert.

$$\begin{aligned} \phi(s) &= (s\mathbf{E} - \mathbf{A})^{-1} \\ \phi(t) &\overset{\circ}{\longleftarrow} \bullet \phi(s) \end{aligned} \quad (5.14)$$

Da die Eingangsfunktionen, sowohl die stetige als auch treppenförmige, in mehrere Intervalle unterteilt ist, muss auch das Integral aufgeteilt werden.

Alle Berechnung wurde mit der Anwendung *Maxima* [19] durchgeführt. Dies ist ein symbolisches Rechenprogramm.

### Einfaches lineares-zeitinvariantes und differential-algebraisches Systeme

Für das System aus dem vorangegangenen Abschnitt 5.1.1 errechnet sich folgende Transitionsmatrix  $\phi(t)$ :

$$\phi(t) = \begin{pmatrix} \frac{1}{2e^{t/4}} + \frac{1}{2e^{3t/4}} & \frac{1}{e^{t/4}} - \frac{1}{e^{3t/4}} \\ \frac{1}{4e^{t/4}} - \frac{1}{4e^{3t/4}} & \frac{1}{2e^{t/4}} + \frac{1}{2e^{3t/4}} \end{pmatrix} \quad (5.15)$$

Die stetige Eingangsfunktion  $u(t)$  ist in 5 Intervalle unterteilt, wie Abbildung 5.6 zu entnehmen ist. Folgend sind die Intervalle aufgelistet:

$$\begin{aligned}
 u_0(0 \leq t < 0.4) &:= 0.3\sin(t) \\
 u_1(0.4 \leq t < 0.45) &:= 0.3\sin(0.4) \\
 u_2(0.45 \leq t < \frac{\pi}{2} + 0.45) &:= -10\sin(t - 0.45) \\
 u_3(\frac{\pi}{2} + 0.45 \leq t < 2.1) &:= -10 \\
 u_4(2.1 \leq t < 5.1) &:= 20\sin(t - 2.1) - 10
 \end{aligned}$$

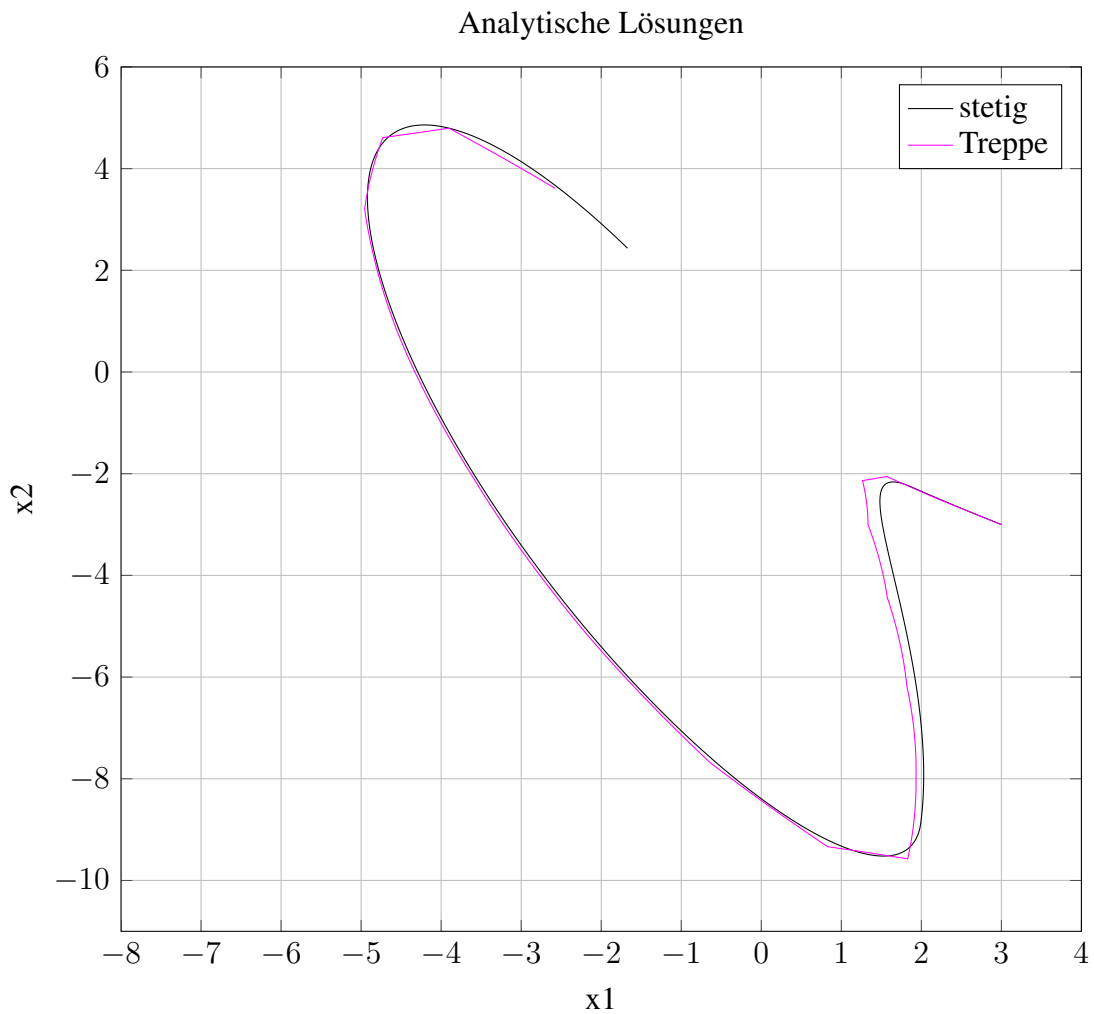
Somit ergibt sich das resultierende Integral mit den Anfangswerten  $\mathbf{x}_0^T = ( 3 \quad -3 )$  zu:

$$\begin{aligned}
 \mathbf{x}(t) &= \boldsymbol{\phi}(t)\mathbf{x}_0 + \int_0^{0.4} \boldsymbol{\phi}(t - \tau)\mathbf{b}u_0(\tau)d\tau + \int_{0.4}^{0.45} \boldsymbol{\phi}(t - \tau)\mathbf{b}u_1(\tau)d\tau \\
 &+ \int_{0.45}^{\frac{\pi}{2}+0.45} \boldsymbol{\phi}(t - \tau)\mathbf{b}u_2(\tau)d\tau + \int_{\frac{\pi}{2}+0.45}^{2.1} \boldsymbol{\phi}(t - \tau)\mathbf{b}u_3(\tau)d\tau \\
 &+ \int_{2.1}^{5.1} \boldsymbol{\phi}(t - \tau)\mathbf{b}u_4(\tau)d\tau
 \end{aligned} \tag{5.16}$$

Aufgrund des abgetasteten Eingangssignals  $u_{tr}(t)$  muss das Integral für jeden Abtastzeitpunkt aufgeteilt werden. Dies sieht wie folgt aus:

$$\begin{aligned}
 \mathbf{x}_{tr}(t) &= \boldsymbol{\phi}(t)\mathbf{x}_0 + \int_0^{\Delta T} \boldsymbol{\phi}(t - \tau)\mathbf{b}u_0(0)d\tau + \int_{\Delta T}^{2\Delta T} \boldsymbol{\phi}(t - \tau)\mathbf{b}u_0(\Delta T)d\tau \\
 &+ \int_{2\Delta T}^{3\Delta T} \boldsymbol{\phi}(t - \tau)\mathbf{b}u_2(2\Delta T)d\tau + \dots + \int_{16\Delta T}^{17\Delta T} \boldsymbol{\phi}(t - \tau)\mathbf{b}u_4(16\Delta T)d\tau
 \end{aligned} \tag{5.17}$$

Die DAE Systeme wie in Kapitel 5.1.3 definiert, ergeben für beide Eingangssignale  $u(t)$  und  $u_{tr}(t)$  die analytischen Lösungen aus Gleichung (5.16) und (5.17). Die Lösungstrajektorien für den glatten und abgetasteten Eingang ist in Grafik 5.10 dargestellt.



**Abbildung 5.10:** Trajektorien des ODE-Systems mit glattem und treppenförmigen Eingang

### Steifes lineares-zeitinvariantes System

Für das steife System aus dem vorangegangenen Abschnitt 3.1.3 errechnet sich folgende Transitionsmatrix  $\phi(t)$ :

$$\phi(t) = \begin{pmatrix} \frac{1}{2e^{t/4}} + \frac{1}{2e^{300t}} & \frac{1}{e^{t/4}} - \frac{1}{e^{300t}} \\ \frac{1}{4e^{t/4}} - \frac{1}{4e^{300t}} & \frac{1}{2e^{t/4}} + \frac{1}{2e^{300t}} \end{pmatrix} \quad (5.18)$$

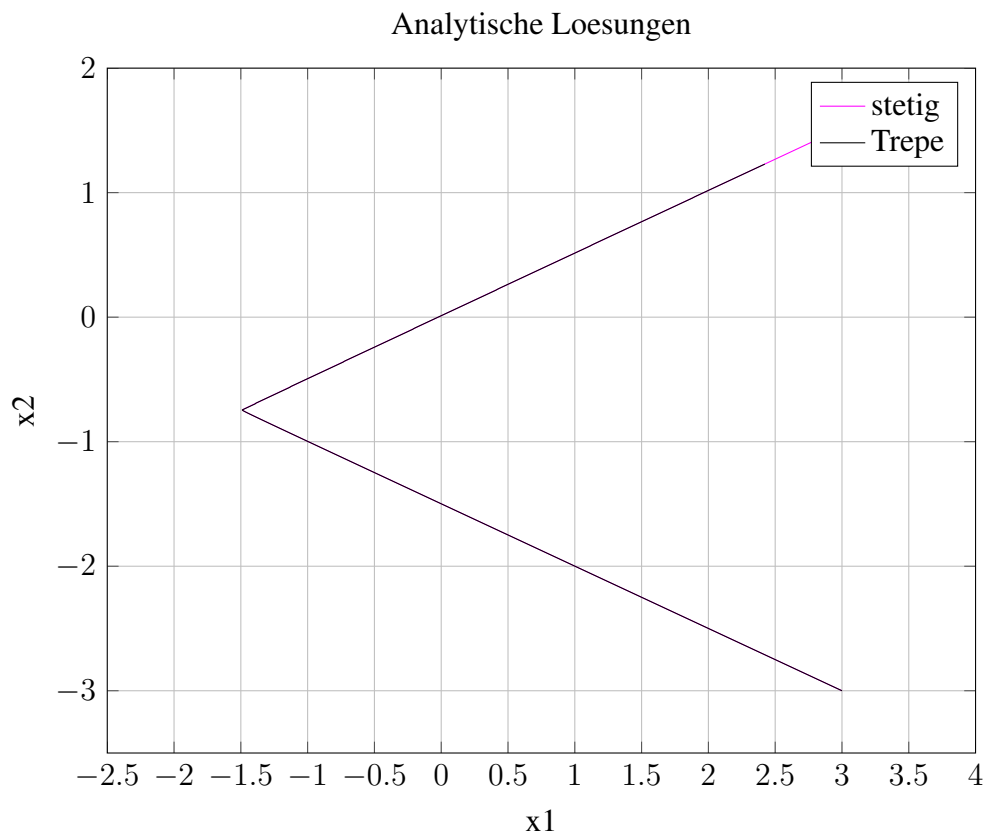
Die stetige Eingangsfunktion ergibt sich zu  $u(t) = 5\sin(\frac{t}{2})$ , siehe Abbildung 5.8. Somit kann  $\mathbf{x}(t)$  mit den Anfangswerten  $\mathbf{x}_0^T = (3 \quad -3)$  gegeben werden:

$$\mathbf{x}(t) = \phi(t)\mathbf{x}_0 + \int_0^{\frac{\pi}{2}} \phi(t - \tau)\mathbf{b}u(\tau)d\tau \quad (5.19)$$

Die Lösung  $\mathbf{x}(t)$  für das abgetastete Eingangssignal  $u_{tr}(t)$  wird wie in Formel (5.20) berechnet:

$$\begin{aligned} \mathbf{x}_{tr}(t) &= \phi(t)\mathbf{x}_0 + \int_0^{\Delta T} \phi(t-\tau)\mathbf{b}u(0)d\tau + \int_{\Delta T}^{2\Delta T} \phi(t-\tau)\mathbf{b}u(\Delta T)d\tau + \dots \\ &+ \int_{19\Delta T}^{20\Delta T} \phi(t-\tau)\mathbf{b}u(19\Delta T)d\tau \end{aligned} \quad (5.20)$$

Die Lösungstrajektorien für den glatten und angetasteten Eingang ist in Grafik 5.11 und genauer in Grafik 5.12 dargestellt, um den Unterschied besser erkennen zu können.



**Abbildung 5.11:** Trajektorien des steifen ODE-Systems mit glattem und treppenförmigen Eingang

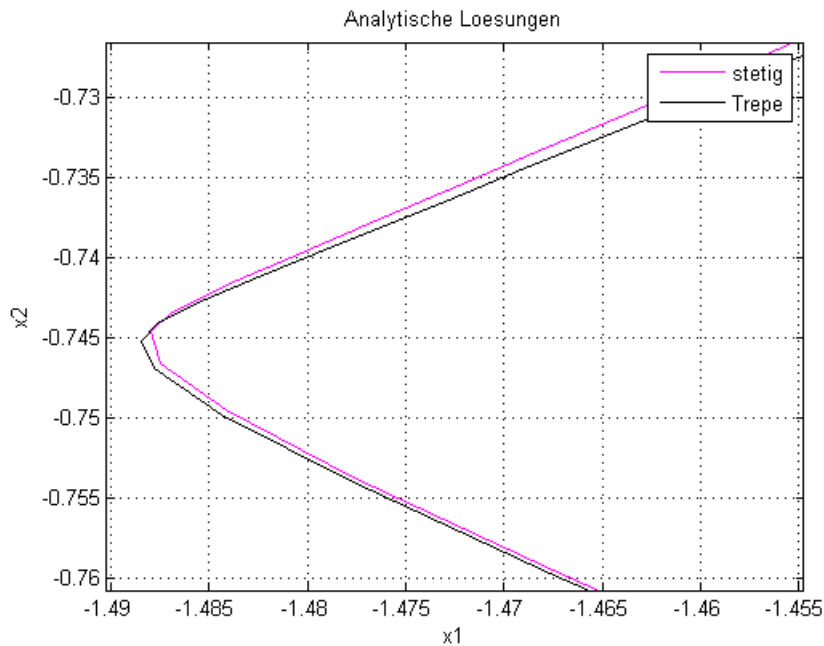


Abbildung 5.12: Trajektorien des steifen ODE-Systems, vergrößerte Darstellung

## 5.2 Auswirkungen einer treppenförmigen Eingangsfunktion auf das numerische Ergebnis in MATLAB

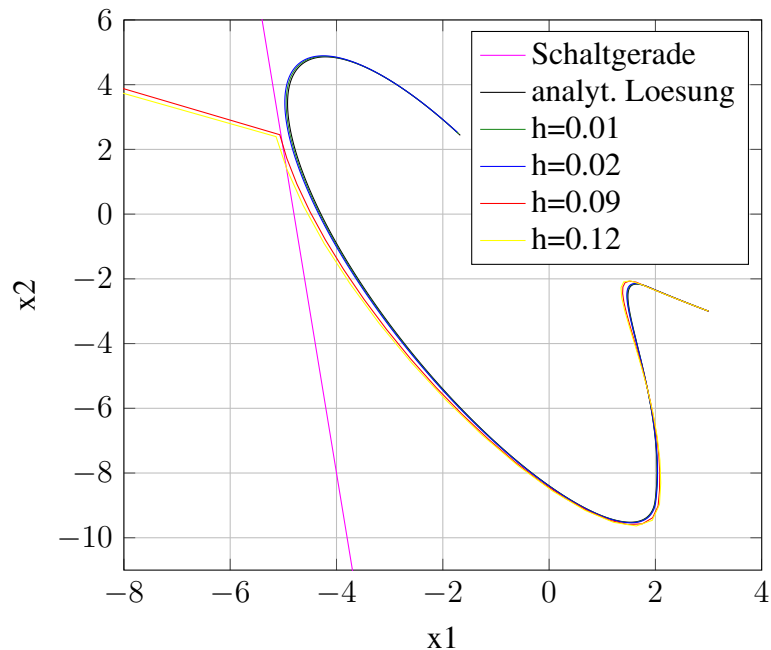
Für die verschiedenen Testfälle wurde den Systemen unterschiedliche Eingangsfunktionen aufgeschaltet: eine kontinuierliche (stetige) Kurve und deren treppenförmige (unstetige) Eingangsfunktion, wie in Grafik 5.6 und Grafik 5.7 abgebildet.

Aus den Herleitungen der numerischen Fehler aus Kapitel 4 ist erkennbar, dass sich Unstetigkeiten in der Eingangsfunktion negativ auf die numerische Lösung auswirken. Dies ist aufgrund der Ableitung der Eingangsgröße nach der Zeit im lokalen Diskretisierungsfehler erklärbar, da im Bereich der Unstetigkeiten die Steigung gegen unendlich strebt.

Durch Versuche an den Testsystemen aus Abschnitt 5 mit einfachen numerischen Lösungsverfahren wird dieser Effekt dargestellt und mit der analytischen Lösung für die glatte und abgetastete Eingangsfunktion aus Abschnitt 5.1.4 verglichen. Für den Vergleich war die Einführung von geeigneten Fehlermaßen wichtig. Zwei Fehlerkriterien sind hierbei von Vorteil. Der maximal Fehler  $E_{max}$ , der die maximale Abweichung von der idealen Lösung angibt und der durchschnittlich quadratische Fehler  $E_{sqmean}$ , der den durchschnittlichen Fehler zu allen Berechnungszeitpunkten angibt.

In Abbildung 5.13 sind die Ergebnisse der numerischen Integration mit dem expliziten Eulerverfahren mit fester Schrittweite des ODE Testsystems mit kontinuierlichem Eingangssignal dargestellt.

Loesung ODE Systems mit expl. Eulerverfahren, fester Schrittweite  $h$  und stetigem  $u(t)$

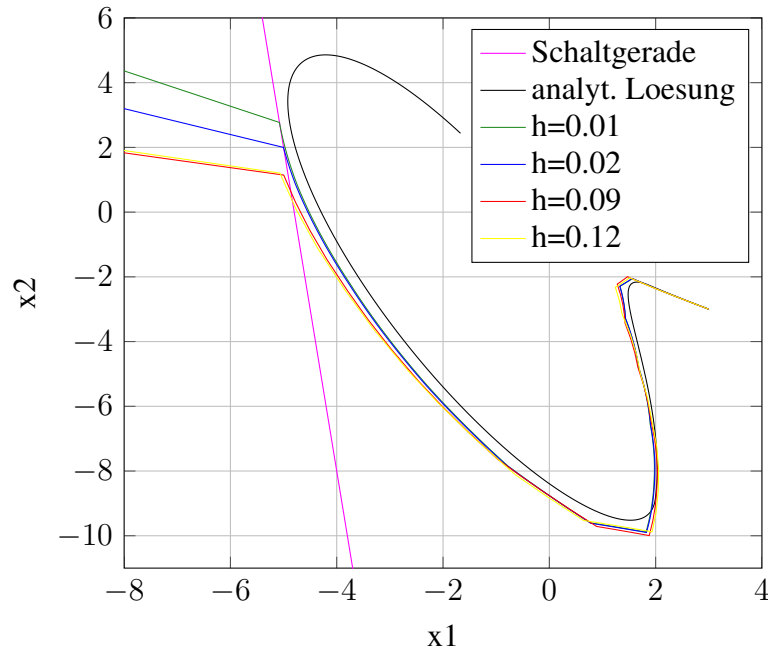


**Abbildung 5.13:** Ergebnisse der numerischen Integration des ODE-Systems mit expliziten Eulerverfahren und kontinuierlichen Eingang  $u(t)$

Für kleine Schrittweiten  $h$  folgt die numerische Lösung der analytischen Lösungen gut. Je größer  $h$  wird, desto ungenauer kann die numerische Integration werden. Dies erkennt man für  $h = 0.09$  und  $h = 0.12$ . Wählt man  $h$  zu groß, weicht die Lösungstrajektorie so weit von der idealen Lösung ab, dass sie in das instabile System läuft und gegen unendlich strebt.

In Abbildung 5.14 sind die Ergebnisse mit dem abgetasteten Eingangssignal dargestellt.

Loesung ODE System mit expl. Eulerverfahren, fester Schrittweite  $h$  und Treppen-Eingang  $u(t)$



**Abbildung 5.14:** Ergebnisse der numerischen Integration des ODE-Systems mit expliziten Eulerverfahren und Treppen-Eingang  $u(t)$

Hier bestätigen sich die vorangegangenen Überlegungen bezüglich des numerischen Fehlers bei Unstetigkeiten in der Eingangsgröße. Somit kann man einen Unterschied zwischen Grafik 5.13 und 5.14 deutlich erkennen. Durch das abgetastet Eingangssignal weichen die Lösungen, die mit verschiedenen Schrittweiten  $h$  berechnet wurden, weiter von der analytisch Lösungen ab, sodass keine numerische Lösung konvergiert.

Weiteres wird in diesem Kapitel der Fehler, der durch treppenförmige Eingangsfunktionen verursacht wird, an den verschiedenen Systemen genauer dargestellt.

Schlussendlich werden diese Überlegungen durch Versuche an den verschiedenen Testsystemen mit verschiedenen in Matlab implementierten Lösern gezeigt. Dabei ist zu erwähnen, dass die Löser mit einer Schrittweitensteuerung ausgestattet sind. Es wird der Fehler geschätzt und darauf die Schrittweite angepasst. Treten in den DGL schnelle Änderungen oder Unstetigkeiten in den Gleichungen auf, wird die Schrittweite verkleinert. Das wird auch in [1] behandelt. Das bedeutet, dass sich die Anzahl der Schritte für ein System mit treppenförmigen Eingangssignal deutlich höher sein muss, als bei einem System mit kontinuierlichem Eingangssignal.

Aus Testzwecken wurden spezielle Lösungsverfahren zusätzlich in Matlab implementiert. Dies sind bestehende Verfahren bezogen von [17]. Mit fester und variabler Schrittweite wurden das implizite und explizite Eulerverfahren für ODE und DAE-Systeme ergänzt. Die expliziten Runge-Kutta-Verfahren dritter (*ode3*) und fünfter (*ode5*) Ordnung wurden mit fester Schrittweite eingefügt. Hierbei ist Vorsicht bei der Wahl der Schrittweite geboten. Sie darf nicht zu groß gewählt werden, damit das Verfahren numerisch stabil bleibt.

### 5.2.1 Theoretische Fehlerauswertung mit einer sprunghaften Eingangsgröße

In den vorangegangenen Kapiteln 4.1 und 4.2 wurde der lokale Diskretisierungsfehler für verschiedene Lösungsverfahren und Systeme mathematisch dargestellt. Daraus wurde ersichtlich, dass durch Unstetigkeiten in der Eingangsgröße sich ein größerer numerischer Fehler ergibt. Die Überlegungen zum lokalen Diskretisierungsfehler werden hier visualisiert. Man bediene sich hier an dem ODE Testsystem und den DAE Testsystemen. An diese Systeme mit den Startwerten  $\mathbf{x}_{0,ode} = [3 \ 0]^T$ ,  $\mathbf{x}_{0,dae} = [3 \ 0 \ 0]^T$  wurde zum Zeitpunkt  $t_0 = 0s$  ein Eingangssprung von  $u = 100$  angelegt. Dies wurde numerisch mit einem expliziten Eulerverfahren fester Schrittweite  $h$  gelöst. Der lokale Diskretisierungsfehler, der durch den ersten Berechnungsschritt durch den Eingangssprung verursacht wurde, wurde berechnet und zusätzlich zu dessen Komponenten über die Schrittweite abgebildet.

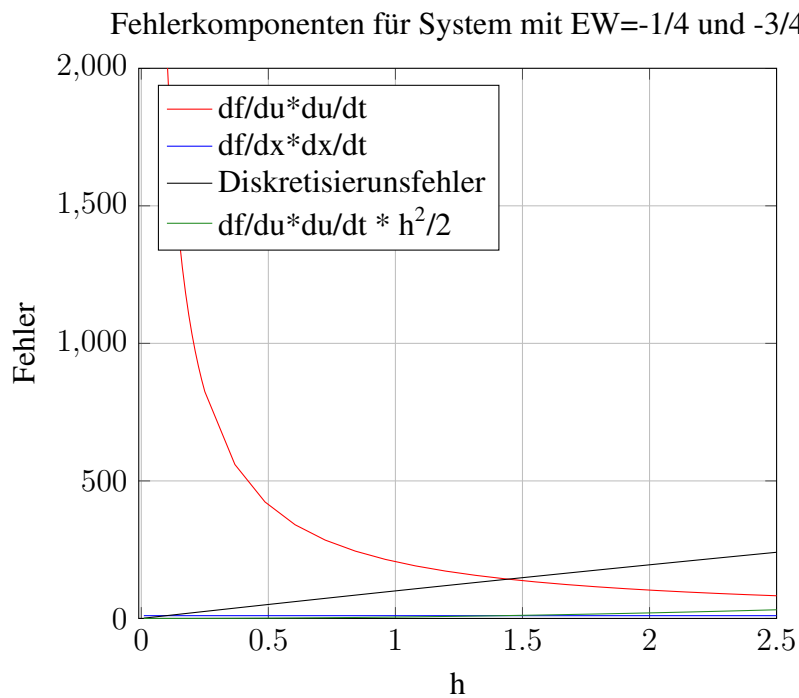


Abbildung 5.15: Fehlerauswertung für ODE System

Fehlerkomponenten eines Systems mit EW=-1/4 und -3/4 und NB ohne u

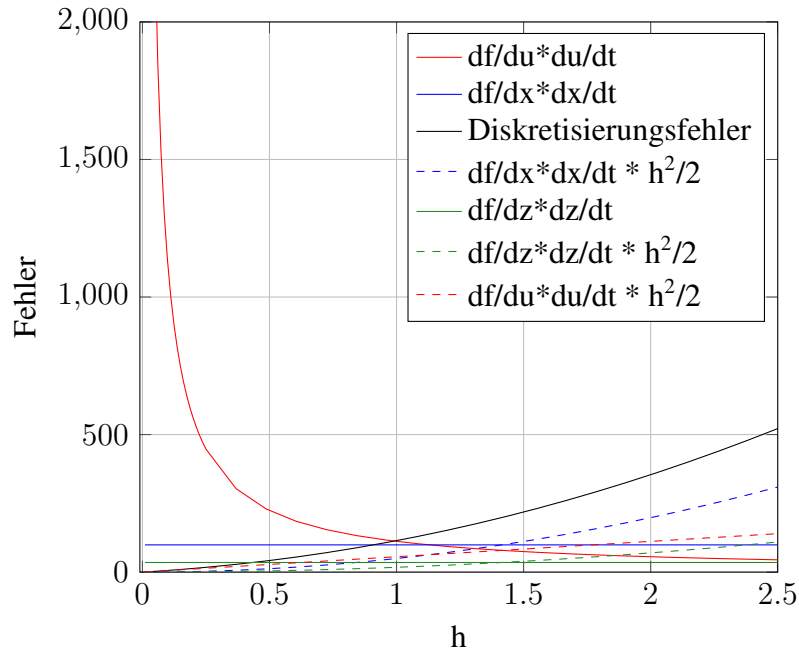


Abbildung 5.16: Fehlerauswertung für DAE System ohne  $u(t)$  in NB

Fehlerkomponenten eines Systems mit EW=-1/4 und -3/4 und NB mit u

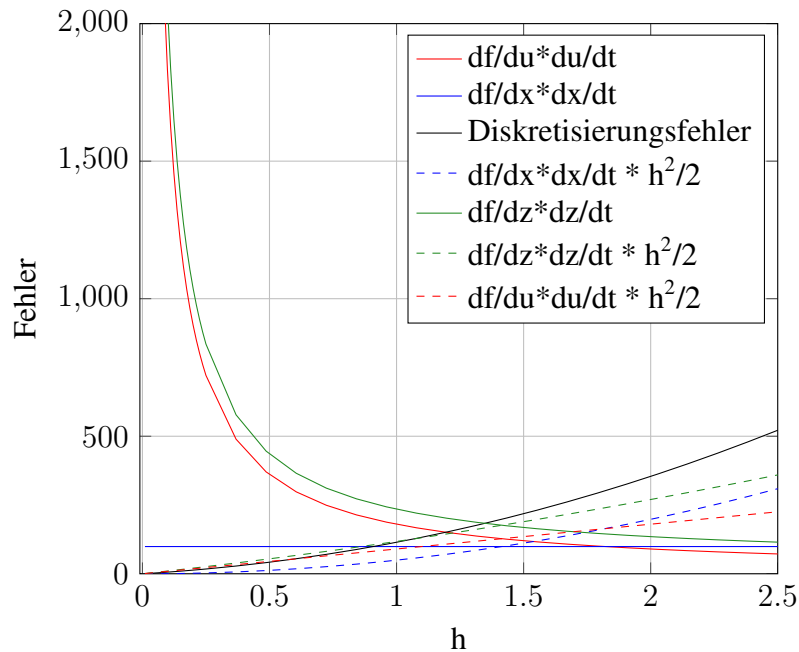


Abbildung 5.17: Fehlerauswertung für ODE System mit  $u(t)$  in NB

Der Fehler in Grafik 5.15 ist geringer als der in der Darstellung 5.16 und 5.17. Dies entspricht den Überlegungen aus Abschnitt 4.1 und 4.2.

Vergleicht man die Ergebnisse der DAE Systeme, unterscheiden sich die Gesamtfehler nicht voneinander, sie sind betragsmäßig gleich. Das würde bedeuten, dass der Eingang in der NB das numerische Ergebnis nicht weiter beeinflusst. Um die Darstellung zu bestätigen, wurde der mathematische Beweis im Anhang A erbracht. Da die algebraische Variable  $z$  nur auf  $x_1$  wirkt, bleibt der Fehler der sich auf  $x_2$  auswirkt in beiden DAE Systemen gleich, daher wird der Fehler  $x_1$  betreffend angeführt. Wie bewiesen wurde, hat es keine Auswirkungen auf den numerischen Fehler, wenn die Eingangsgröße in der NB vorkommt.

## 5.2.2 Vorüberlegungen für Testfälle

Ein einfaches LTI System kann mit jedem in MATLAB mitgelieferten DGL-Lösungsverfahren berechnet werden. Diese Algorithmen wurden als Verfahren mit adaptiver Schrittweite implementiert. Ziel ist es eine Schrittweite  $h_i$  geeignet zu wählen, damit der lokale Fehler des aktuellen Schrittes der Näherung  $x_{i+1}$  eine vorgegebene Fehlertoleranz unterschreitet. Aufgrund der Unbekanntheit der exakten Lösung  $x(t_{i+1})$  muss diese durch eine Approximation  $\hat{x}_{i+1}$  ersetzt werden. Diese Vorgehensweise wird als Fehlerschätzung bezeichnet. Betrachtet man Runge-Kutta-Verfahren, wird die Approximation durch ein eingebettetes Verfahren berechnet. Es wird ein Verfahren der Ordnung  $p$ , für die Näherung  $x_{i+1}$ , mit einem Verfahren der Ordnung  $q$ , für die Schätzung  $\hat{x}_{i+1}$ , kombiniert, wobei  $q = p + 1$  ist. Diese Verfahren werden als Runge-Kutta-Fehlberg-Verfahren bezeichnet. Der geschätzte Fehler ist die Differenz der beiden Lösungen. Dieser Ansatz gilt als überholt. Aktuelle eingebettete Verfahren verwenden zur Berechnung der Näherung das Verfahren höherer Ordnung  $p$  und für die Approximation das Verfahren niedrigerer Ordnung  $q = p - 1$ . Diese eingebetteten Runge-Kutta-Verfahren werden auch als  $RKp(q)$  bezeichnet. [28], [32], [16]

Sämtliche Löser sind als  $odep(q)$  angegeben, wobei  $q$  die Ordnung des Berechnungsverfahrens und  $p$  die Ordnung der Fehlerschätzung darstellt [16]. Standardmäßig wird in MATLAB der Algorithmus *ode45*, oder auch Dormand-Prince (DOPRI) Verfahren, verwendet [18]. Es ist ein eingebettetes, explizites Runge-Kutta-Verfahren mit einer integrierten Schrittweitensteuerung. Dabei wird der nächste Wert  $x_{i+1}$  mit dem Verfahren 5. Ordnung berechnet und mit dem 4. Ordnung geschätzt  $\hat{x}_{i+1}$ . Die Differenz der beiden bezogen auf den Wertebereich von  $x$  ergibt den Fehler *err*. Ist dieser Fehler größer, als eine vorgegebene Fehlertoleranz *RelTol* wird die Schrittweite verkleinert, solange bis die Fehlerschranke unterschritten wird. Ist *err* jedoch kleiner als *RelTol* wird die Schrittweite erhöht. Damit kann angenommen werden, dass je kleiner *RelTol* gewählt wird, umso genauer das Ergebnis wird und desto mehr Rechenschritte durchgeführt werden. Laut der MATLAB-Hilfe ist noch ein weiterer Parameter einzustellen, die absolute Toleranz *AbsTol*. Diese bestimmt die Genauigkeit, wenn die Lösung gegen Null geht.

Für *ode45* ist der Codeausschnitt der Fehlerberechnung aus der Implementierung in MATLAB [18] gegeben.

```
err=absh*norm((f*E) ./max(max(abs(y),abs(ynew)),threshold),inf);
```

Der Unterschied von  $x_{i+1}$  und  $\hat{x}_{i+1}$  wird mit  $absh * (f * E)$  berechnet. Die Skalierung wird durch die Supremumsnorm generiert, wobei  $y$  der alte Wert,  $y_{new}$  der neue Wert und *threshold*

das Ergebnis der Division  $\frac{AbsTol}{RelTol}$  ist. Somit ist Vorsicht geboten wie  $AbsTol$  wählt wird. Ist  $threshold$  größer als  $y$  und  $y_{new}$ , bezieht sich der Fehler auf diesen Wertebereich, so wird der Fehler immer klein gehalten, es ist also nicht garantiert, dass der Lösungsverlauf von Richtigkeit ist. Wie in [18] ist zu testen, welche Kombination von  $RelTol$  und  $AbsTol$  das beste Ergebnis liefert. Grundsätzlich ist es ein guter Ansatz  $AbsTol$  kleiner als  $RelTol$  zu wählen.

Geht man von einem einfachen LTI System mit kontinuierlichem Eingangssignal aus, wird ein Integrationsalgorithmus mit Schrittweitensteuerung und höherer Ordnung weniger Rechenschritte als ein Verfahren niedriger Ordnung brauchen. Die ist aufgrund der Fehlerschätzung zu argumentieren. Durch eine genauere Schätzung des Fehlers und der dadurch gewählten Schrittweite ist dies möglich.

Des weiteren ist durch Unstetigkeiten in der DGL eine Erhöhung der Anzahl der Berechnungsschritte zu erwarten [18]. Die Schrittweite wird an der Stelle der Unstetigkeit verkleinert bis die Fehlerschranke unterschritten wird. Im Gegensatz zu einem glatten Eingangssignal wird sich hier zeigen, dass durch eine genauere Fehlerschätzung im Falle von Unstetigkeiten mehr Rechenschritte erforderlich sind.

Schnelle Änderungen, wie bei einem steifen System haben dieselben Auswirkungen. Mehr Schritte erhöhen aber auch den Rundungsfehler. Steife Systeme können jedoch auch mit größerer Schrittweite gelöst werden [28]. Dafür sind A-stabile Integrationsverfahren geeignet. Implizite Verfahren sind A-stabil.

### 5.2.3 Testergebnisse des ODE-Systems

Das ODE Testsystem wurde mit verschiedenen Integrationsverfahren gelöst. Diese variieren in der Berechnungsordnung und der Wahl der Schrittweite. Es wurden Tests für Verfahren fester und zusätzlich mit variabler Schrittweite durchgeführt. Die Ergebnisse wurden aufbereitet und in Tabellenform dargestellt.

#### Numerische Integration mit fester Schrittweite

Angeführte Löser mit fester Schrittweite wurden verwendet: explizite Runge-Kutta Verfahren `ode3` und `ode5`, explizites und implizites Eulerverfahren.

Folgende Schrittweiten wurden für die Tests eingeführt:  $\mathbf{h}^T = (0.02, 0.04, 0.08, 0.12)$ . Die Ergebnisse sind in Tabelle 5.1 aufgelistet.

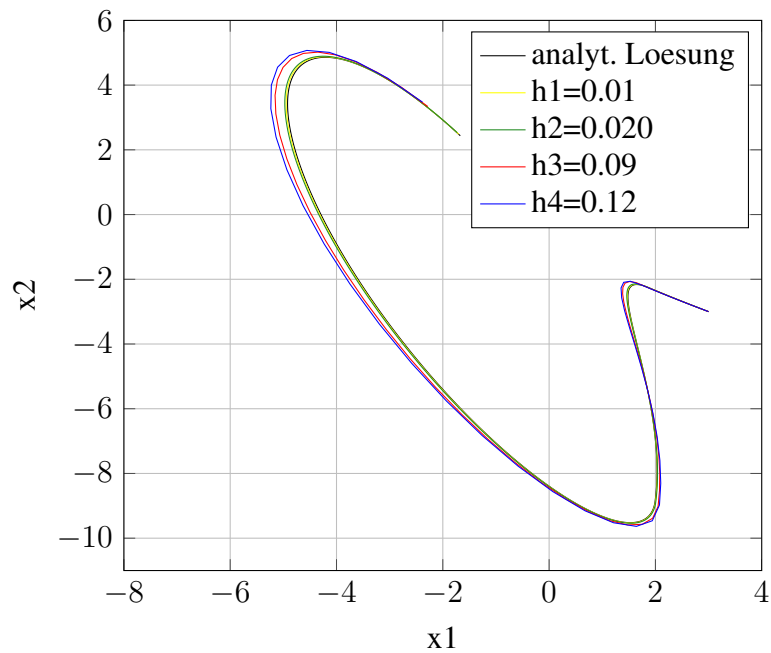
Wie erwartet wächst mit steigender Schrittweite auch  $E_{sqmean}$ , sowie  $E_{max}$ . Zudem ist aus Tabelle 5.1 erkennbar, dass bei treppenförmigem Eingangssignal die Fehler größer sind als bei kontinuierlichem Eingangssignal. Weiteres ist gezeigt, dass ein Verfahren höherer Ordnung genauere numerische Werte liefert.

**Tabelle 5.1:** Ergebnisse der Simulation des ODE Testsystems für feste Schrittweiten

Löser	Schrittweite	$E_{sqmean}$	$E_{max}$	Eingang
ode3	0,02	6,5432e-08	6,3935e-04	stetig
	0,04	1,0448e-07	6,5643e-04	
	0,08	1,4952e-06	0,0034	
	0,12	1,0940e-05	0,0086	
	Treppe	0,02	0,0465	0,3749
		0,04	0,0512	0,4102
		0,08	0,0512	0,4413
		0,12	0,0643	0,4836
ode5	0,02	5,1163e-10	5,6426e-05	stetig
	0,04	5,7249e-08	6,4424e-04	
	0,08	6,4998e-07	0,0016	
	0,12	1,1006e-06	0,0026	
	Treppe	0,02	0,0484	0,3932
		0,04	0,0465	0,3897
		0,08	0,0513	0,4357
		0,12	0,0483	0,4197
expl. Euler	0,02	0,0027	0,1115	stetig
	0,04	0,0109	0,2223	
	0,08	0,0436	0,4400	
	0,12	0,1002	0,6674	
	Treppe	0,02	0,0557	0,3936
		0,04	0,0521	0,3573
		0,08	0,0526	0,4230
		0,12	0,0928	0,5580
impl. Euler	0,02	0,0027	0,1105	stetig
	0,04	0,0106	0,2178	
	0,08	0,0408	0,4232	
	0,12	0,0918	0,6282	
	Treppe	0,02	0,0635	0,4955
		0,04	0,0749	0,5513
		0,08	0,1102	0,6709
		0,12	0,2523	0,8887

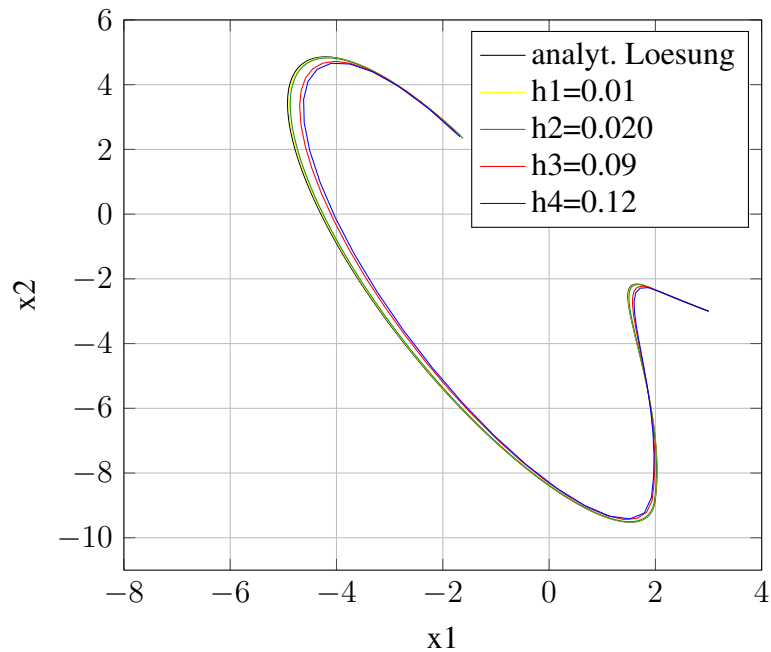
Betrachtet man die Ergebnisse der beiden Eulerverfahren fällt auf, dass die Fehlerwerte nicht identisch sind, wie jedoch aus der Herleitung in 4.1.3 zu erwarten wäre. Dazu seien die Simulationsergebnisse beider Verfahren für das kontinuierliche System grafisch dargestellt, siehe MATLAB-Plots.

Loesungstrajektorien mit explizitem Eulerverfahren und stetigem Eingang  $u(t)$



**Abbildung 5.18:** ODE System mit glattem  $u(t)$  und explizitem Eulerverfahren fester Schrittweite

Loesungstrajektorien mit implizitem Eulerverfahren und stetigem Eingang  $u(t)$



**Abbildung 5.19:** ODE System mit glattem  $u(t)$  und implizitem Eulerverfahren fester Schrittweite

Aus den Abbildung 5.18 und 5.19 ist erkennbar, dass das Vorzeichen der Fehler gegensätzlich ist, das auch in Kapitel 4.1 angesprochen wird. Die Differenz im Betrag lässt sich einmal durch den Lösungsverlauf und durch die Implementierung des impliziten Verfahrens begründen, da zusätzlich ein algebraischer Löser verwendet werden muss, der ebenfalls nicht exakte Werte liefert.

Loesungstrajektorien mit expl, Eulerverfahren und diskretem Eingang u(t)

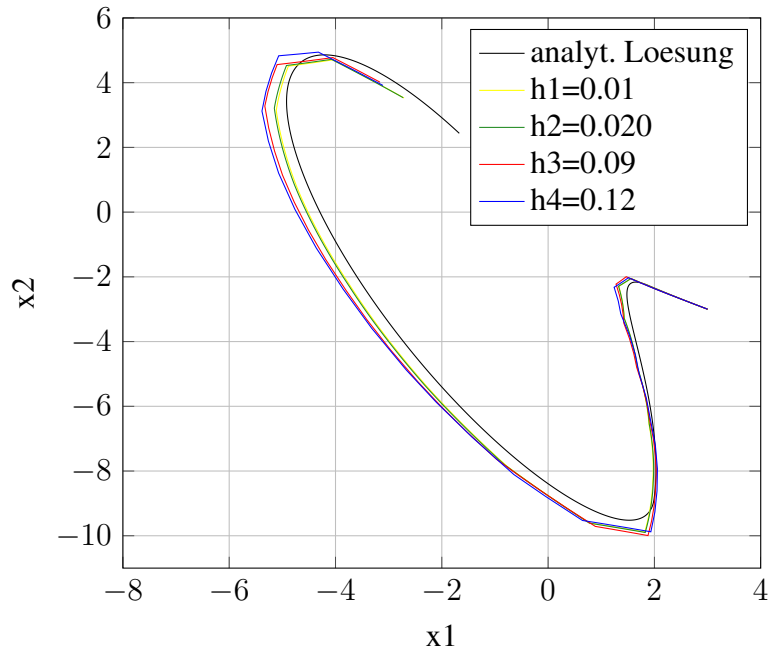


Abbildung 5.20: ODE System mit  $u_{tr}(t)$  und explizitem Eulerverfahren fester Schrittweite

Loesungstrajektorien mit impl, Eulerverfahren und diskretem Eingang u(t)

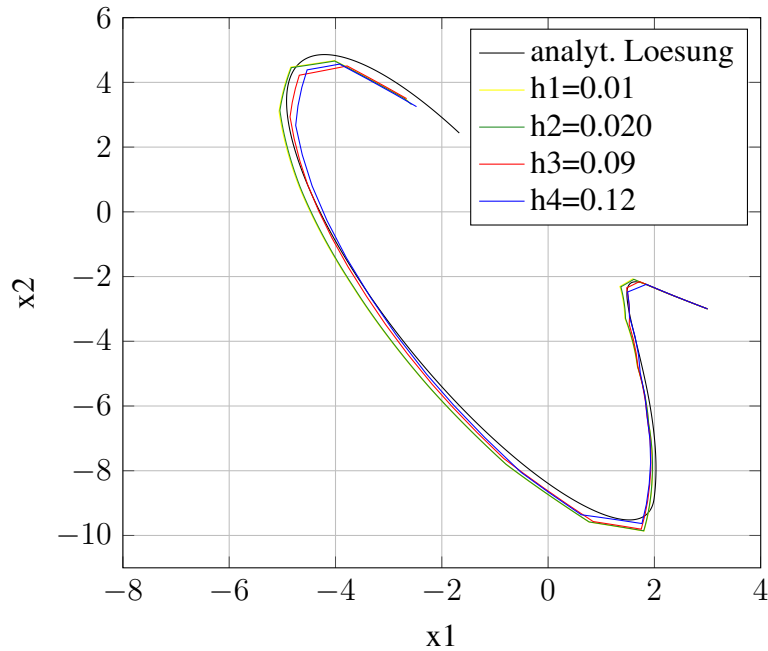


Abbildung 5.21: ODE System mit  $u_{tr}(t)$  und implizitem Eulerverfahren fester Schrittweite

Ergänzend sind die Grafiken der Simulationsergebnisse der Eulerverfahren für eine treppen-

förmige Eingangsfunktion abgebildet, Plots 5.20 und 5.21.

## Numerische Integration mit variabler Schrittweite

Angeführte Löser mit Schrittweitensteuerung wurden verwendet: `ode23`, `ode45`, explizites und implizites Eulerverfahren.

Dabei wurde die relative Toleranz  $RelTol$  variiert:  $RelTol = (1e - 5, 1e - 4, 1e - 3, 1e - 2)$ . Dabei ergaben sich die Simulationsergebnisse aus Tabelle 5.2.

Aus Tabelle 5.2 ist gut erkennbar, dass für kleine  $RelTol$  die numerischen Ergebnisse besser sind und je größer die Toleranz gewählt wird, desto weniger Schritte werden berechnet. Die Verfahren höherer Ordnung liefern laut Fehlerbewertung schlechtere Ergebnisse. Dazu muss man die Ergebnisse genauer betrachten. Da die Verfahren höherer Ordnung eine bessere Schrittweitensteuerung besitzen, kann mit weniger Schritten ein sehr genaues Ergebnis erzielt werden. Weiteres wird gezeigt, dass durch Unstetigkeiten am Eingang sich die Schrittweite verkleinern muss, um unter der Fehlerschranke zu bleiben. Es wurde gezeigt, dass Verfahren höherer Ordnung im Falle von Unstetigkeiten im Eingangssignal mehr Berechnungsschritte brauchen als Verfahren niedriger Ordnung, da sie eine bessere Fehlerschätzung besitzen. Ausnahme ist hier das Eulerverfahren, da die Fehlerschätzung und das Verfahren nicht sehr genau sind, werden immer viele Berechnungsschritte benötigt. Natürlich braucht jedes Verfahren eine Mindestanzahl an Schritten, um eine richtige Lösung berechnen zu können.

Im Vergleich zu Algorithmen mit fester Schrittweite liegt der Vorteil von einem Verfahren mit Schrittweitensteuerung klar auf der Hand. Wählt man eine feste Schrittweite, so soll diese sehr klein sein, damit ein gutes Ergebnis erzielt wird. Mit variabler Schrittweite werden mit weniger Schritten bessere Ergebnisse erzielt. Besonders ersichtlich ist dies bei Unstetigkeiten in der Lösungstrajektorie, die ebenso durch Unstetigkeiten im Eingang entstehen können. Das adaptive Verfahren kann aber in speziellen Fällen abbrechen. Wählt man den Wert für  $RelTol$  zu klein und der adaptive Algorithmus kann die Schrittweite nicht weiter verkleinern, da er das Minimum erreicht hat, kann er die Fehlerschranke nicht unterschreiten und bricht ab.

### 5.2.4 Testergebnisse des steifen Systems

Für das steife System wurden die selben Tests durchgeführt jedoch mit zum Teil anderen numerischen Integrationsverfahren. Für steife Systeme wurde in MATLAB der Standardlöser für steife Systeme `ode15s` implementiert, welcher ein implizites Mehrschrittverfahren variabler Ordnung darstellt [18].

**Tabelle 5.2:** Ergebnisse der Simulation des ODE Testsystems für variable Schrittweiten

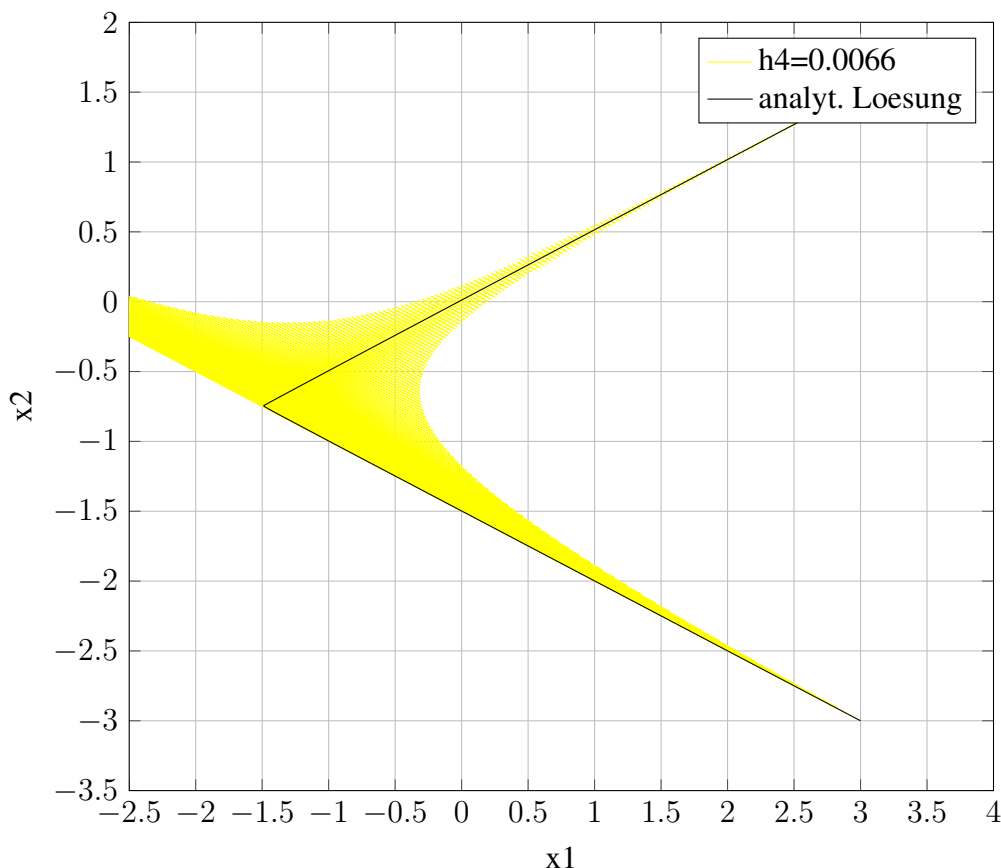
Löser	Schritte	Reltol	$E_{sqmean}$	$E_{max}$	Eingang
ode23	146	1e-05	4,4456e-10	3,7627e-05	stetig
	70	1e-04	3,4870e-08	4,4298e-04	
	33	1e-03	2,0600e-05	0,0045	
	15	1e-02	0,0018	0,1062	
	Treppe	225	1e-05	0,0048	0,3749
		139	1e-04	0,0481	0,3750
		74	1e-04	0,0600	0,4580
		24	1e-02	0,0665	0,4316
ode45	92	1e-05	2,0274e-06	0,0055	stetig
	52	1e-04	1,1270e-05	0,0127	
	44	1e-03	2,8593e-04	0,0399	
	44	1e-02	4,8429e-04	0,0648	
	Treppe	524	1e-05	0,0428	0,3749
		276	1e-04	0,0370	0,3871
		80	1e-04	0,0490	0,5115
		44	1e-02	0,0743	0,6172
expl. Euler	2437	1e-05	6,4735e-11	1,3040e-05	stetig
	790	1e-04	5,9897e-09	1,3573e-04	
	250	1e-03	6,0673e-07	0,0013	
	78	1e-02	5,3562e-05	0,0117	
	Treppe	2207	1e-05	0,0499	0,3749
		771	1e-04	0,0493	0,3748
		277	1e-04	0,0493	0,3770
		104	1e-02	0,0386	0,3520
impl. Euler	2437	1e-05	3,5311e-10	1,3040e-05	stetig
	788	1e-04	2,9100e-09	1,3573e-04	
	249	1e-03	4,3201e-07	0,0013	
	80	1e-02	1,6366e-05	0,0117	
	Treppe	2254	1e-05	0,0497	0,3749
		802	1e-04	0,0492	0,3748
		288	1e-04	0,0473	0,3770
		110	1e-02	0,0385	0,3520

### Numerische Integration mit fester Schrittweite

Es wurden folgende numerische Integrationsverfahren mit fester Schrittweite  $h^T = (0.01, 0.002, 0.006, 0.0066)$  verwendet: explizites Runge-Kutta Verfahren *ode3* und *ode4*, sowie explizites und implizites Eulerverfahren. Die Ergebnisse befinden sich in Tabelle 5.3.

Auch im Falle des steifen Systems sind ähnliche Beobachtungen, wie für das ODE System aus dem vorigen Abschnitt 5.2.3 gemacht worden. Das implizite Verfahren liefert genauere Werte. Dies lässt sich aufgrund der A-Stabilität impliziter Verfahren erklären. Aus Grafik 5.22 und 5.23 ist ersichtlich, dass ab einer gewissen Schrittweite die numerische Lösung des expliziten Lösungsalgorithmus zu oszillieren beginnt. Wird das implizite Verfahren mit der selben Schrittweite durchgeführt, wie in Darstellung 5.24 gezeigt, erhält man einen guten Lösungsverlauf. Aus diesem Grund eignen sich implizite Integrationsverfahren für steife Systeme besser als explizite, da aufgrund des A-stabilen Verhaltens impliziter Algorithmen größere Werte für die Schrittweite gewählt werden können.

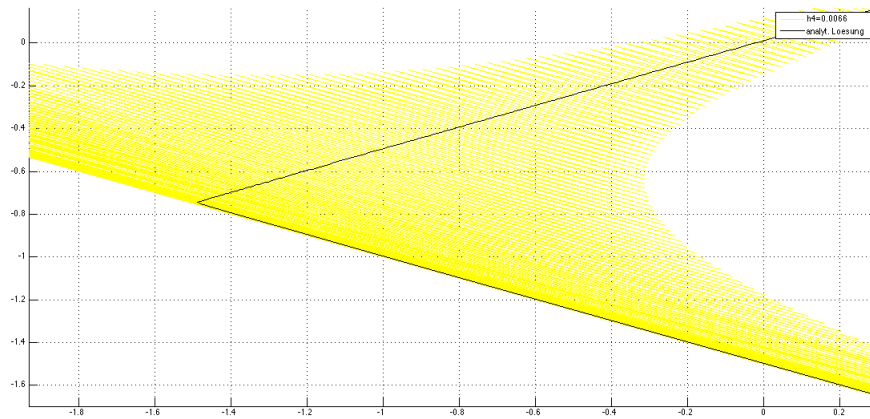
Loesungstrajektorien steifes System mit explizitem Eulerverfahren und stetigem Eingang  $u(t)$



**Abbildung 5.22:** Steifes Testsystem mit glattem Eingang und explizitem Eulerverfahren fester Schrittweite

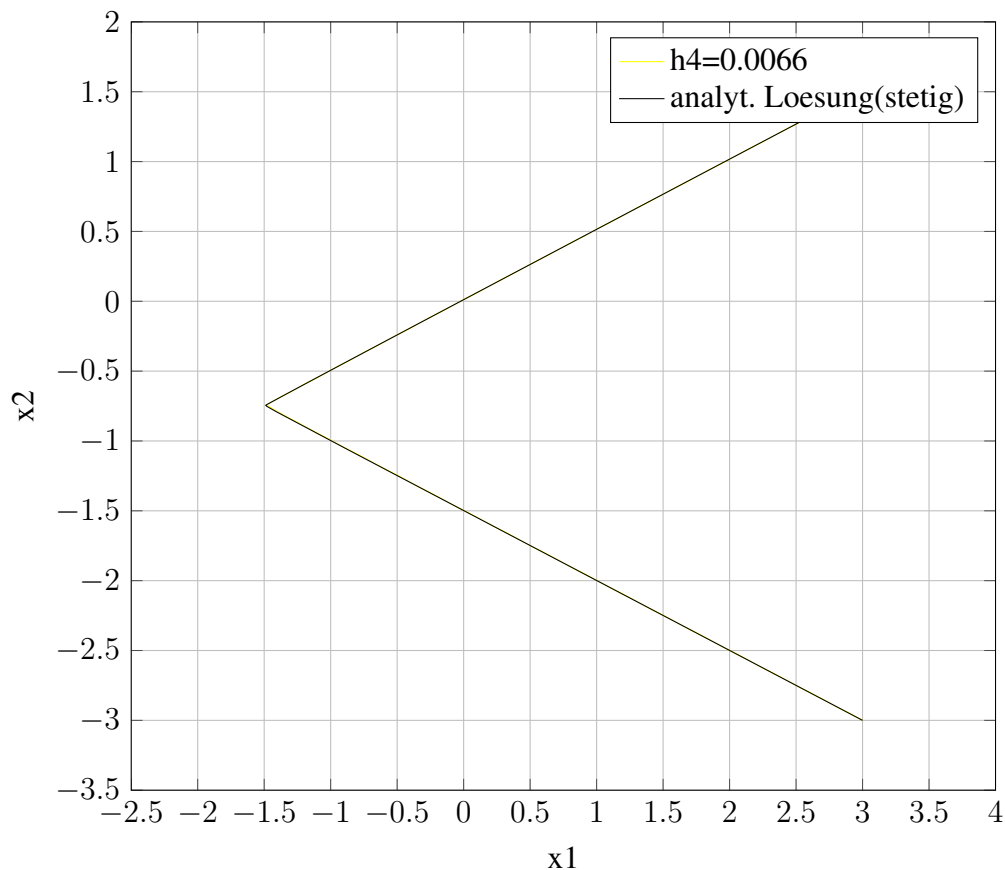
**Tabelle 5.3:** Ergebnisse der Simulation des steifen Testsystems für feste Schrittweiten

Löser	Schrittweite	$E_{sqmean}$	$E_{max}$	Eingang
ode3	0,0010	4,8077e-09	0,0019	stetig
	0,0050	9,3661e-05	0,1623	
	0,0060	0,0020	0,8686	
	0,0066	0,0069	1,5339	
	Treppe	0,0010	2,3329e-08	0,0019
		0,0050	9,4116e-05	0,1623
		0,0060	0,0020	0,8686
		0,0066	0,0069	1,5339
ode5	0,0010	2,8388e-15	1,4473e-06	stetig
	0,0050	1,3273e-07	0,0067	
	0,0060	1,1522e-06	0,0182	
	0,0066	5,2952e-06	0,0307	
	Treppe	0,0010	1,7276e-08	2,2028e-04
		0,0050	5,6338e-07	0,0067
		0,0060	3,2193e-06	0,0182
		0,0066	6,2202e-06	0,0307
expl. Euler	0,0010	6,4605e-05	0,2270	stetig
	0,0050	0,0134	2,4218	
	0,0060	0,0612	3,8543	
	0,0066	0,7754	4,7096	
	Treppe	0,0010	6,4217e-05	0,2270
		0,0050	0,0134	2,4218
		0,0060	0,0612	3,8542
		0,0066	0,7711	4,7095
impl. Euler	0,0010	4,5545e-05	0,1751	stetig
	0,0050	3,7743e-04	0,3313	
	0,0060	2,8177e-04	0,2078	
	0,0066	2,2930e-04	0,2093	
	Treppe	0,0010	4,6222e-05	0,1751
		0,0050	3,9434e-04	0,3313
		0,0060	3,5597e-04	0,2077
		0,0066	2,3753e-04	0,2092



**Abbildung 5.23:** Ausschnitt steifes Testsystem mit glattem Eingang und explizites Eulerverfahren mit fester Schrittweite

Loesungstrajektorien steifes System mit implizitem Eulerverfahren und stetigem Eingang  $u(t)$



**Abbildung 5.24:** Steifes Testsystem mit glattem Eingang und implizitem Eulerverfahren fester Schrittweite

### Numerische Integration mit variabler Schrittweite

Es wurden folgende numerische Integrationsverfahren verwendet: *ode23*, *ode45*, *ode12*, explizites und implizites Eulerverfahren.

Dabei wurde die relative Toleranz *RelTol* variiert:  $RelTol = (1e - 4, 1e - 3, 1e - 2)$ . Es ergeben sich die Simulationsergebnisse aus Tabelle 5.4.

Explizite Integrationsalgorithmen rechnen mit sehr kleiner Schrittweite, um ein gutes Ergebnis liefern zu können. Je höher die Ordnung des numerischen Verfahrens, desto mehr Berechnungsschritte werden durchgeführt. Einen guten Vergleich kann man aus dem Eulerverfahren ziehen. Durch die numerische Integration mit dem impliziten Euleralgorithmus kann das Ergebnis mit weniger Schritten berechnet werden.

Auch hier wirken sich Unstetigkeiten im Eingangssignal auf den Lösungsvorgang aus. Die Anzahl der Berechnungsschritte erhöht sich, jedoch für explizite Löser ist die Differenz nicht so gravierend wie in Abschnitt 5.2.3, da für den schnellen EW des Systems auch schon sehr viele Rechenschritte durchgeführt werden.

Das Standardverfahren von MATLAB liefert dabei sehr gute Werte bezogen auf die Anzahl der Schritte, welche im Gegensatz zu den anderen Verfahren sehr gering sind.

### 5.2.5 Testergebnisse der DAE-Systeme

In diesem Abschnitt wurden beide DAE Systeme unter den selben Bedingungen simuliert und ausgewertet.

Es wurden folgende numerische Integrationsverfahren verwendet: *ode15s*, *ode15i*, sowie implizites und explizites Eulerverfahren mit fester und variabler Schrittweite.

Der Lösungsalgorithmus *ode15i* ist ein numerisches Verfahren variabler Ordnung, welches implizite DAE Gleichungen mit konsistenten Anfangswerten löst. Es ist ein LMSV, ein sogenanntes BDF-Verfahren das mit einem Lagrangeschen Polynom interpoliert. [27]

Zusätzlich zu den Zustandsvariablen  $\mathbf{x}(t)$  ist auch die algebraische Variable  $z(t)$  zu lösen. Somit wird auch für diese eine absolute Fehlertoleranz festgelegt.

### Numerische Integration mit fester Schrittweite

Die angeführten Löser mit fester Schrittweite wurden verwendet: explizites und implizites Eulerverfahren.

Folgende Schrittweiten wurden für die Tests eingeführt:  $\mathbf{h}^T = (0.01, 0.02, 0.09, 0.12)$ . Die Ergebnisse sind in Tabelle 5.5 und 5.6 aufgelistet.

**Tabelle 5.4:** Ergebnisse der Simulation des steifen Testsystems für variable Schrittweiten

Löser	Schritte	Reltol	$E_{sqmean}$	$E_{max}$	Eingang
ode23	308	1e-04	7,8440e-09	2,5589e-04	stetig
	287	1e-03	8,0163e-07	0,0024	
	278	1e-02	8,4338e-05	0,0306	
	333	1e-04	1,0216e-08	3,6923e-04	Treppe
	288	1e-03	7,1081e-07	0,0024	
	277	1e-02	7,1077e-05	0,0306	
ode45	880	1e-04	1,1294e-09	1,7051e-04	stetig
	860	1e-03	1,1043e-07	0,0019	
	848	1e-02	1,0770e-05	0,0155	
	932	1e-04	1,4640e-06	0,0016	Treppe
	872	1e-03	5,4551e-07	0,0018	
	848	1e-02	9,4422e-06	0,0171	
ode15s	73	1e-04	2,7850e-08	5,4933e-04	stetig
	60	1e-03	7,2520e-07	0,0035	
	37	1e-02	5,2855e-05	0,0273	
	228	1e-04	1,1522e-07	0,0011	Treppe
	130	1e-03	1,5561e-05	0,0142	
	57	1e-02	6,0256e-04	0,0438	
expl. Euler	859	1e-04	2,8431e-10	5,8409e-05	stetig
	496	1e-03	5,6200e-08	5,9665e-04	
	391	1e-02	7,6259e-06	0,0074	
	939	1e-04	1,4754e-10	3,5393e-05	Treppe
	526	1e-03	7,0333e-08	0,0010	
	393	1e-02	7,9872e-06	0,0060	
impl. Euler	732	1e-04	6,6944e-11	5,2416e-05	stetig
	240	1e-03	3,5881e-09	3,2792e-04	
	80	1e-02	2,2201e-07	9,4885e-04	
	768	1e-04	2,3243e-10	3,5723e-05	Treppe
	277	1e-03	1,2102e-07	0,0014	
	100	1e-02	1,9924e-05	0,0096	

**Tabelle 5.5:** Ergebnisse der Simulation des DAE Testsystems ohne  $u(t)$  in NB für feste Schrittweiten

Löser	Schrittweite	$E_{sqmean}$	$E_{max}$	Eingang	
expl. Euler	0,01	6,7758e-04	0,0566	stetig	
	0,02	0,0027	0,1115		
	0,09	0,0560	0,4964		
	0,12	0,1002	0,6674		
	impl. Euler	0,01	4,1738e-04	0,0454	Treppe
		0,02	0,0017	0,0909	
		0,09	0,0294	0,4646	
		0,12	0,0402	0,4844	
impl. Euler	0,01	6,7268e-04	0,0554	stetig	
	0,02	0,0027	0,1105		
	0,09	0,0513	0,4747		
	0,12	0,0918	0,6282		
	impl. Euler	0,01	0,0015	0,1191	Treppe
		0,02	0,0063	0,2364	
		0,09	0,0825	0,5694	
		0,12	0,1796	0,8611	

**Tabelle 5.6:** Ergebnisse der Simulation des DAE Testsystems ohne  $u(t)$  mit NB für feste Schrittweiten

Löser	Schrittweite	$E_{sqmean}$	$E_{max}$	Eingang
expl. Euler	0,01	6,7758e-04	0,0566	stetig
	0,02	0,0027	0,1115	
	0,09	0,0560	0,4964	
	0,12	0,1002	0,6674	
	Treppe	0,01	4,1738e-04	0,0454
		0,02	0,0017	0,0909
		0,09	0,0294	0,4646
		0,12	0,0402	0,4844
impl. Euler	0,01	6,7268e-04	0,0554	stetig
	0,02	0,0027	0,1105	
	0,09	0,0513	0,4747	
	0,12	0,0918	0,6282	
	Treppe	0,01	0,0015	0,1191
		0,02	0,0063	0,2364
		0,09	0,0825	0,5694
		0,12	0,1796	0,8611

In Tabelle 5.5 wird gezeigt, dass der numerische Fehler bei einem System mit Unstetigkeiten in der Eingangsfunktion einen deutlich höheren Wert als für einen glatten Eingang aufweist. Die unterschiedlichen Fehlerwerte für das implizite und explizite Eulerverfahren wurden im vorangegangenen Kapitel 5.2.3 bereits erwähnt.

Vergleicht man die Simulationsergebnisse beider Tabellen, ist ersichtlich, dass die Fehler betragsmäßig gleich sind. Dies ging auch aus der theoretischen Fehlerauswertung in Abschnitt 5.2.1 hervor und ist somit auch praktisch gezeigt.

### Numerische Integration mit variabler Schrittweite

Die angeführten Löser mit Schrittweitensteuerung wurden verwendet: ode15i, ode15s, explizites und implizites Eulerverfahren.

Dabei wurde die relative Toleranz  $RelTol$  variiert:  $RelTol = (1e - 3, 1e - 2, 1e0)$ . Für  $RelTol = 1e - 3$  wurde die absolute Toleranz  $AbsTol = (1e - 6, 1e - 3, 1e - 1)$  der algebraischen Variable  $z(t)$  verändert. Es gibt an, wie genau für die algebraische Variable gelöst werden soll. Dabei ergaben sich die Simulationsergebnisse aus Tabelle 5.7.

Auch in Tabelle 5.7 ist zu erkennen, dass Unstetigkeiten eine Erhöhung der Schrittzahl zu

**Tabelle 5.7:** Ergebnisse der Simulation des DAE Testsystems ohne  $u(t)$  in NB für variable Schrittweiten

Löser	Schritte	Reltol	Abstol von $z$	$E_{sqmean}$	$E_{max}$	Eingang
ode15i	57	1e-03	1e-06	1,7520e-06	0,0029	stetig
	56	1e-03	1e-03	8,4426e-06	0,0109	
	52	1e-03	1e-01	1,1515e-05	0,0132	
	35	1e-02	1e-06	0,0012	0,1044	
	12	1	1e-06	1,3086	2,0401	
	218	1e-03	1e-06	2,9179e-05	0,0207	Treppe
	232	1e-03	1e-03	7,2207e-05	0,0198	
	211	1e-03	1e-01	5,3995e-05	0,0410	
	114	1e-02	1e-06	0,0042	0,1562	
	16	1	1e-03	0,9260	1,8915	
ode15s	44	1e-03	1e-06	3,2971e-05	0,0150	stetig
	46	1e-03	1e-03	2,0364e-05	0,0117	
	44	1e-03	1e-01	1,4653e-04	0,0293	
	30	1e-02	1e-06	0,0015	0,0732	
	10	1	1e-06	0,8302	1,7213	
	165	1e-03	1e-06	9,9301e-05	0,0238	Treppe
	175	1e-03	1e-03	1,1640e-04	0,0202	
	162	1e-03	1e-01	1,0289e-04	0,0274	
	68	1e-02	1e-06	0,0062	0,5084	
	10	1	1e-03	0,6902	1,6823	
expl. Euler	253	1e-03	1e-06	4,1107e-05	0,0155	stetig
	82	1e-02	1e-06	2,6577e-04	0,0426	
	51	1	1e-06	5,6708e-04	0,0634	
	284	1e-03	1e-06	3,4872e-05	0,0115	Treppe
	112	1e-02	1e-06	2,5002e-04	0,0367	
	51	1	1e-06	0,0491	0,4159	
impl. Euler	249	1e-03	1e-06	4,5307e-07	0,0015	stetig
	80	1e-02	1e-06	1,6415e-05	0,0082	
	51	1	1e-06	3,6089e-05	0,0108	
	295	1e-03	1e-06	1,1813e-06	0,0026	Treppe
	111	1e-02	1e-06	1,7070e-04	0,0241	
	51	1	1e-06	0,0463	0,4115	

**Tabelle 5.8:** Ergebnisse der Simulation des DAE Testsystems mit  $u(t)$  in NB für variable Schrittweiten

Löser	Schritte	Reltol	Abstol von $z$	$E_{sqmean}$	$E_{max}$	Eingang
ode15i	42	1e-03	1e-06	abgebrochen	abgebrochen	stetig
	49	1e-03	1e-03	abgebrochen	abgebrochen	
	61	1e-03	1e-01	6,2406e-05	0,0168	
	35	1e-02	1e-06	abgebrochen	abgebrochen	
	15	1	1e-06	1,2211	2,1143	
	43	1e-03	1e-06	abgebrochen	abgebrochen	Treppe
	50	1e-03	1e-03	abgebrochen	abgebrochen	
	41	1e-03	1e-01	abgebrochen	abgebrochen	
	44	1e-02	1e-06	abgebrochen	abgebrochen	
	24	1	1e-03	0,7453	2,849	
ode15s	42	1e-03	1e-06	abgebrochen	abgebrochen	stetig
	42	1e-03	1e-03	abgebrochen	abgebrochen	
	46	1e-03	1e-01	2,5264e-04	0,0334	
	25	1e-02	1e-06	abgebrochen	abgebrochen	
	12	1	1e-06	0,6305	1,4333	
	44	1e-03	1e-06	abgebrochen	abgebrochen	Treppe
	31	1e-03	1e-03	abgebrochen	abgebrochen	
	30	1e-03	1e-01	abgebrochen	abgebrochen	
	22	1e-02	1e-06	abgebrochen	abgebrochen	
	21	1	1e-03	abgebrochen	abgebrochen	
expl. Euler	462	1e-03	1e-06	0,0010	0,0842	stetig
	146	1e-02	1e-06	0,0103	0,3084	
	51	1	1e-06	0,1182	0,9264	
	304	1e-03	1e-06	2,4601e-05	0,0131	Treppe
	137	1e-02	1e-06	6,5018e-04	0,0840	
53	1	1e-06	0,1270	0,8297		
impl. Euler	249	1e-03	1e-06	4,6339e-07	0,0014	stetig
	80	1e-02	1e-06	1,6904e-05	0,0082	
	51	1	1e-06	3,9052e-05	0,0124	
	295	1e-03	1e-06	1,1812e-06	0,0026	Treppe
	111	1e-02	1e-06	1,7070e-04	0,0241	
51	1	1e-06	0,0463	0,4115		

Folge haben. Ebenfalls haben sie auch negative Auswirkungen auf den Fehler. Am besten bewährt sich der integrierte Löser `ode15i`. Auffallend ist, wenn man die Genauigkeit der algebraischen Variable  $z(t)$  erhöht, vergrößert sich auch der numerische Fehler.

Aus Tabelle 5.8 geht hervor, dass die NB, die das Eingangssignal  $u(t)$  beinhaltet, Auswirkungen auf das Lösungsverfahren der implementierten Löser in MATLAB hat. Wählt man die  $AbsTol$  für  $z$  zu klein, bricht das Verfahren ab. Für ein kontinuierliches Eingangssignal kann es für  $AbsTol = 0.1$  gelöst werden. Hingegen für ein treppenförmiges Eingangssignal abbricht. Dies ist für genaue numerische Integrationsverfahren höherer Ordnung deutlich zu erkennen.

Unterzieht man die Ergebnisse der Eulerverfahren einem Vergleich, ist klar erkennbar, dass das explizite Lösungsverfahren im Fall des Systems 5.9 deutlich mehr Berechnungsschritte benötigt als beim System 5.10. Auch die Fehler weisen einen deutlich höheren Wert auf. Wo hingegen die Werte für das implizite Verfahren annähernd gleich sind.

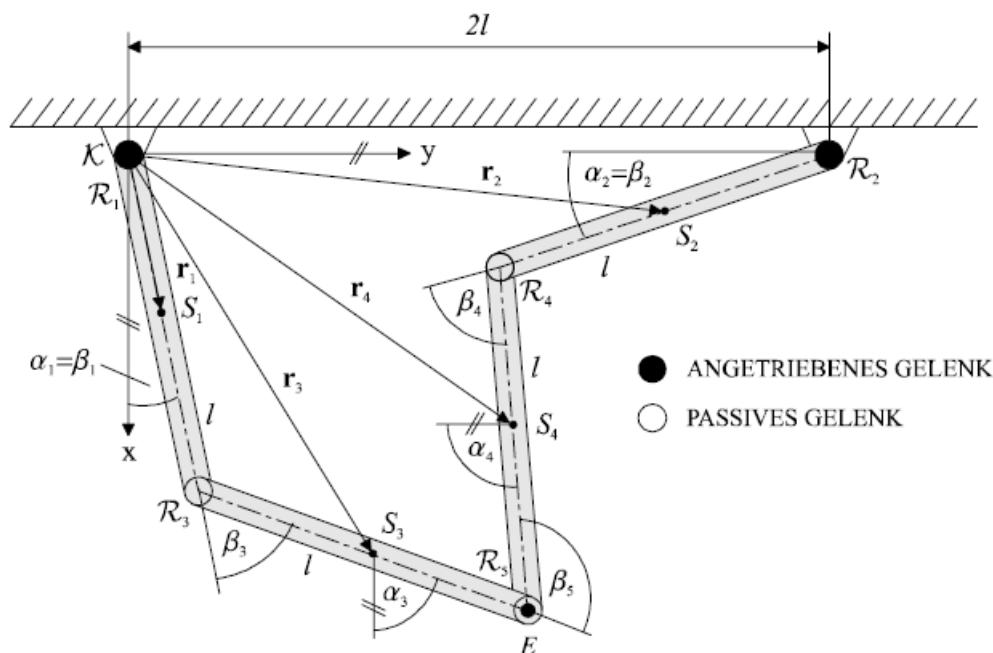
# Kapitel 6

## Evaluierung an einem Abschlussbeispiel

Die aus dem vorangegangenen Kapitel erlangten Erkenntnisse sollen nun anhand eines Co-Simulationsbeispiels in ICOS getestet werden. Dazu wird der in [22] beschriebene Gelenkmechanismus in OpenModelica (OM) implementiert. Die Modellbildung erfolgte über die Lagrange Gleichungen 2. Art. In diesem Fall handelt es sich um ein System von gekoppelten nichtlinearen Differentialgleichungen. Die Eingangssignale werden von einem MATLAB-Modell generiert, das nicht-iterativ mit dem OM-Modell gekoppelt wird. Anhand dieses Co-Simulationsbeispiels werden einige Versuche gemacht und schlussendlich durch die Fehlerbewertung mit den vorgestellten Fehlermaßen analysiert.

### 6.1 Mathematisches Modell

Die Berechnungen für das mathematische Modell des in Abbildung 6.1 dargestellten Gelenkmechanismus (5R Mechanismus) wurden in [22] erbracht. Das Modell besteht aus 4 Gelenken, von denen zwei angetrieben werden können. Durch geeignete Vorgabe der Eingänge in Form eines Spannungsverlaufes werden die Winkel des jeweiligen Armes eingestellt. Dadurch wird die Position des Endeffektors  $E$  vorgegeben. Somit ergeben die beiden Winkel  $\beta_1$  und  $\beta_2$  die, für die Modellbildung, gewählten generalisierten Koordinaten  $\mathbf{q}^T = (q_1, q_2)$ .



**Abbildung 6.1:** Absolute und relative Lagegrößen des 5R Mechanismus [22]

Daraus ergibt sich folgendes ODE Gleichungssystem, mit Differentialgleichungen 2. Ordnung:

$$\ddot{\mathbf{q}} = (\mathbf{M}(\mathbf{q}) + \mathbf{J}_{\text{ges}})^{-1} (K_2 \mathbf{u} - \mathbf{C}(\mathbf{q}, \dot{\mathbf{q}}) \dot{\mathbf{q}} - K_1 \dot{\mathbf{q}} - \boldsymbol{\tau}_R) \quad (6.1)$$

Zur Auswertung ist die  $2 \times 2$  Massenmatrix  $\mathbf{M}$  und die  $2 \times 2$  Matrix der Zentrifugal- und Coriolis-terme  $\mathbf{C}$  notwendig, sowie das Gesamtträgheitsmoment in Form der  $2 \times 2$  Matrix  $\mathbf{J}_{\text{ges}}$ . Der Zeilenvektor  $\boldsymbol{\tau}_R$  drückt das Reibungsmoment aus. Die Konstanten  $K_1$  und  $K_2$  ergeben sich aus dem elektromechanischen Modell des Antriebes. In der Diplomarbeit [22] wurden die Herleitungen für  $\mathbf{M}$ ,  $\mathbf{C}$ ,  $\mathbf{J}_{\text{ges}}$ ,  $\boldsymbol{\tau}_R$ ,  $K_1$ ,  $K_2$  erbracht. Der Eingangsvektor  $\mathbf{u}$  besitzt die Dimension  $2 \times 1$ .

Für die Darstellung DGL der (6.1) als Zustandsraummodell, ergibt sich der Zustandsvektor  $\mathbf{x}$  wie folgt:

$$\mathbf{x} = \begin{pmatrix} x_1 \\ x_2 \\ x_3 \\ x_4 \end{pmatrix} = \begin{pmatrix} q_1 \\ q_2 \\ \dot{q}_1 \\ \dot{q}_2 \end{pmatrix} \quad (6.2)$$

Somit kann das Zustandsraummodell angeschrieben werden als:

$$\dot{\mathbf{x}} = \begin{pmatrix} \dot{x}_1 \\ \dot{x}_2 \\ \ddot{x}_3 \\ \ddot{x}_4 \end{pmatrix} = \begin{pmatrix} x_3 \\ x_4 \\ (\mathbf{M}(\mathbf{x}_1, \mathbf{x}_2) + \mathbf{J}_{\text{ges}})^{-1} \left( K_2 \mathbf{u} - \mathbf{C}(x_1, x_2, x_3, x_4) \begin{pmatrix} x_3 \\ x_4 \end{pmatrix} - K_1 \begin{pmatrix} x_3 \\ x_4 \end{pmatrix} - \boldsymbol{\tau}_R \right) \end{pmatrix} \quad (6.3)$$

Im Zuge dieser Masterarbeit wurde das Zustandsraummodell (6.3) in OM [23] implementiert, siehe Anhang B.

## 6.2 Kopplung mit ICOS

Um das OM-Modell des Gelenkmechanismus (*gelenkmechanismus.mo*) an das Programm Independent Co-Simulation ICOS koppeln zu können, wird ein Interface für die Anbindung an die Co-Simulation in den Modellcode eingebunden, welche das Modell in keinster Weise beeinflusst. Es dient ausschließlich zum Datenaustausch. [20]

Als Eingangs- oder Koppelsignale des OM-Modelles werden zwei Sinusschwingungen aufgeschaltet.

$$u_1(t) = 1.3\sin(7t - 0.3\pi), u_2(t) = 1.3\cos(7t - 0.3\pi)$$

Diese werden in einem MATLAB-Modell generiert, welches in Grafik 6.2 abgebildet ist.

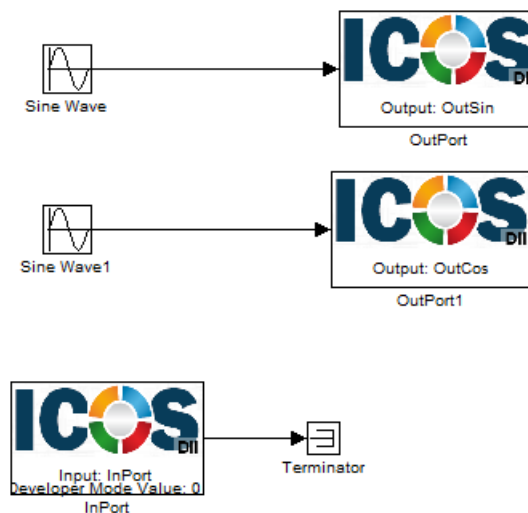
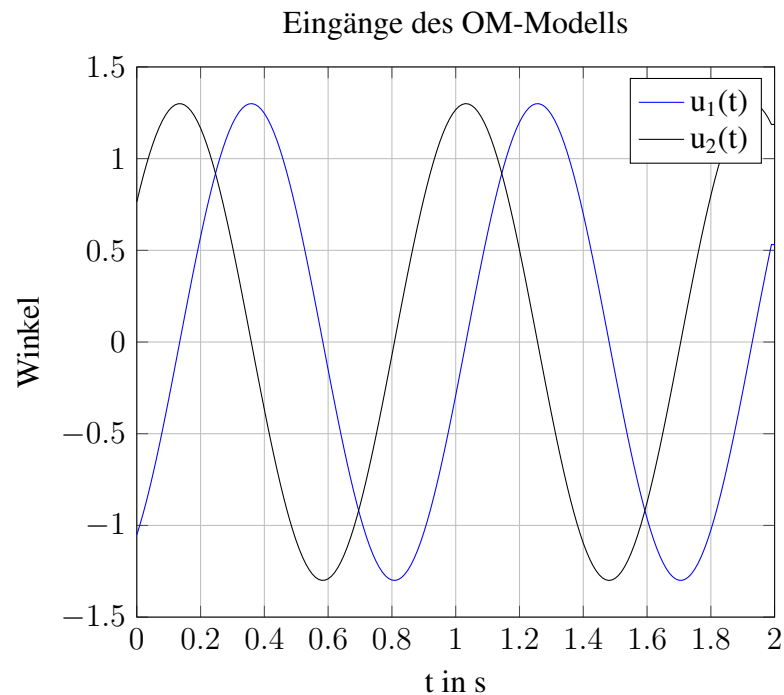


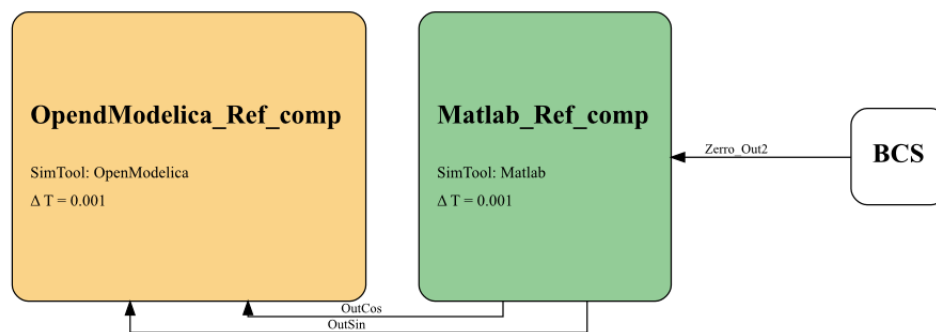
Abbildung 6.2: MATLAB-Modell *ICOS\_Kopplung.mdl*

Der zeitliche Verlauf der Koppelsignale ist in Abbildung 6.3 zu sehen.



**Abbildung 6.3:** Kontinuierliche Eingangssignale des OM-Modells

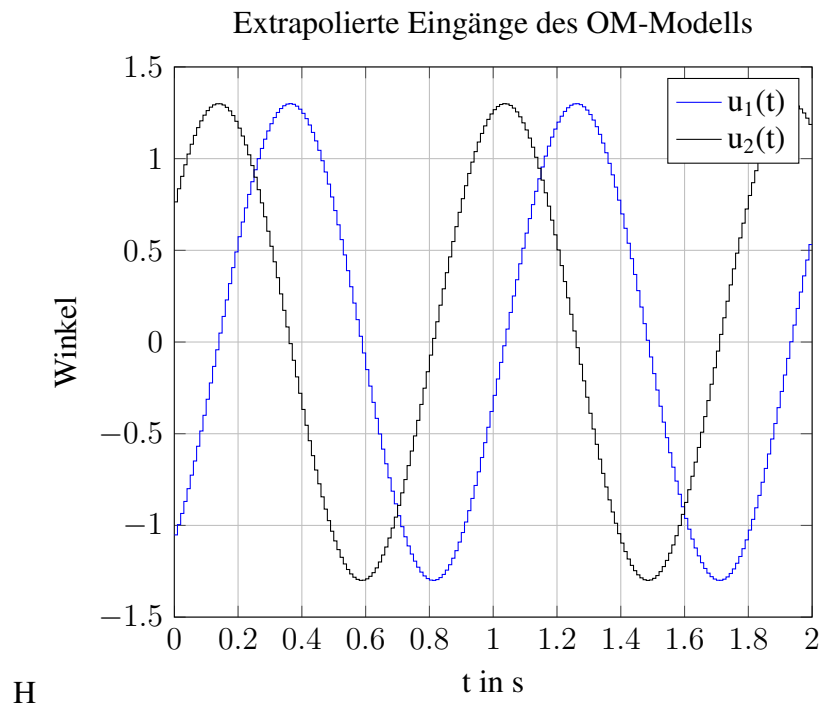
Die Kopplung des MATLAB- und OM-Modelles in ICOS ist in Abbildung 6.4 dargestellt.



**Abbildung 6.4:** Kopplung der Modelle des Abschlussbeispiels in ICOS

Wird in ICOS das Matlab-Modell *ICOS\_Kopplung.mdl* sequentiell vor dem OM-Modell ausgeführt, so werden die Eingangssignale, wie aus Grafik 6.3, an das OM-Modell übergeben und es resultiert die Referenzlösung, die für weitere Vergleiche herangezogen wird. Das OM-Teilsystem wurde mit dem DASSL-Verfahren und einer Fehlertoleranz von  $1e^3$  gelöst.

Eine Extrapolation der Koppelgrößen wird hier durch die Ausführungsreihenfolge beider Modelle erzwungen. Durch die sequentielle Berechnung des OM-Modelles vor dem MATLAB-Modell, werden die Koppelgrößen für die Dauer von  $\Delta T = 0.01s$  extrapoliert (Extrapolation nullter

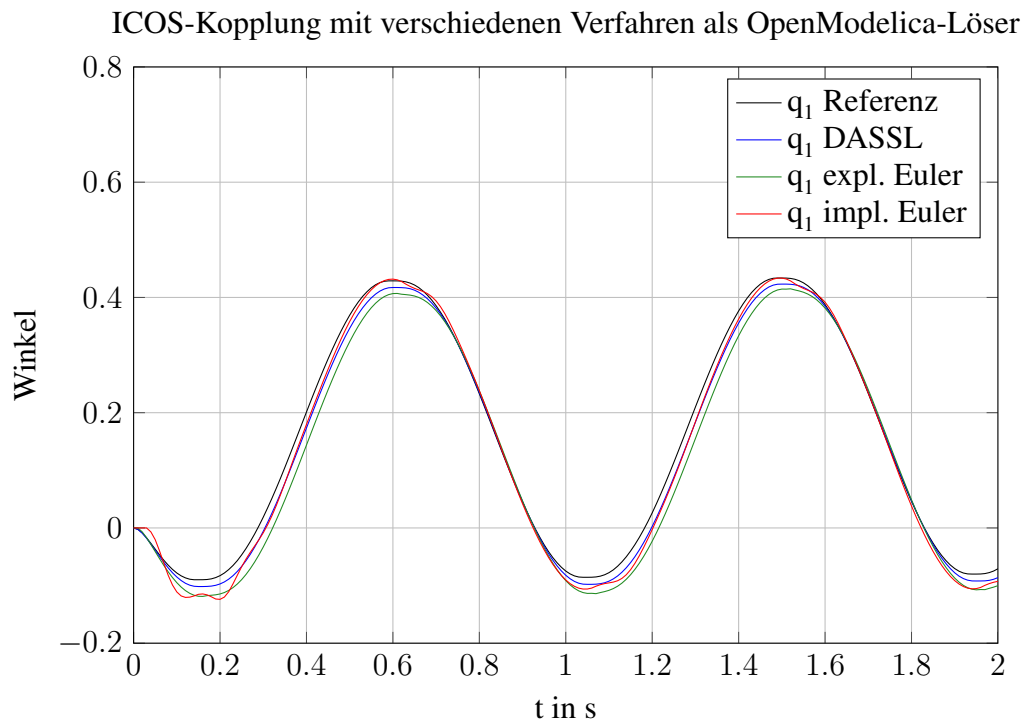


**Abbildung 6.5:** Extrapoliertes Eingangssignale des OM-Modells

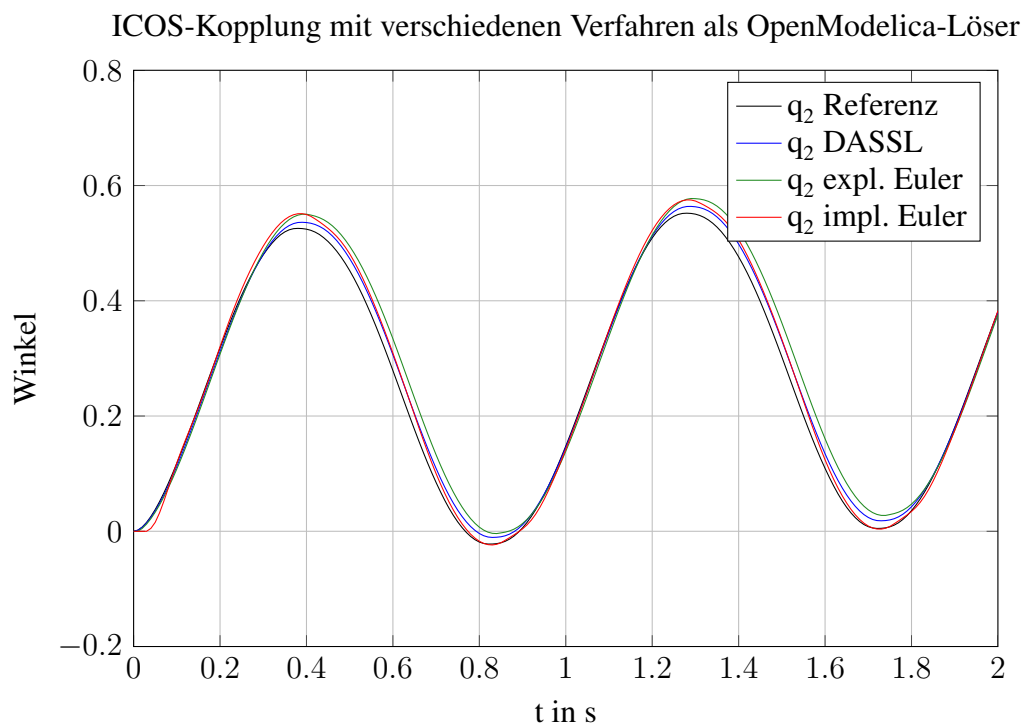
Ordnung). Für die Schätzung wird das Eingangssignal abgetastet und der Wert zum Koppelzeitpunkt über den aktuellen Makroschritt konstant gehalten. Um eine geeignete Schätzung der Eingangsgrößen zu erhalten, werden die Startwerte der beiden Sinusschwingungen in ICOS festgelegt.

In Abbildung 6.5 sind die extrapolierten (Extrapolation nullter Ordnung) Koppelgrößen dargestellt.

Um zu zeigen, dass die Extrapolation des Einganges Auswirkungen auf die Lösung des Modelles (6.1) hat, wurden einige Versuche durchgeführt. Das DGL-System mit treppenförmigen Eingangssignalen wurde mit dem expliziten und impliziten Eulerverfahren, sowie mit dem DASSL-Verfahren, und einer Fehlertoleranz von  $1e^{-3}$  gelöst und einer Referenzlösung gegenübergestellt. Dabei arbeiten die Euler- sowie Runge-Kutta-Algorithmen mit fester Schrittweite. Diese Schrittweite orientiert sich an  $\Delta T$  und der Gesamtsimulationsdauer  $T$ . Die berechneten zeitlichen Verläufe der Gelenkwinkel  $q_1$  und  $q_2$  wurden in den Grafiken 6.6 und 6.7 veranschaulicht.



**Abbildung 6.6:** Berechneter Verlauf von  $q_1$  mit diversen numerischen Integrationsverfahren



**Abbildung 6.7:** Berechneter Verlauf von  $q_2$  mit diversen numerischen Integrationsverfahren

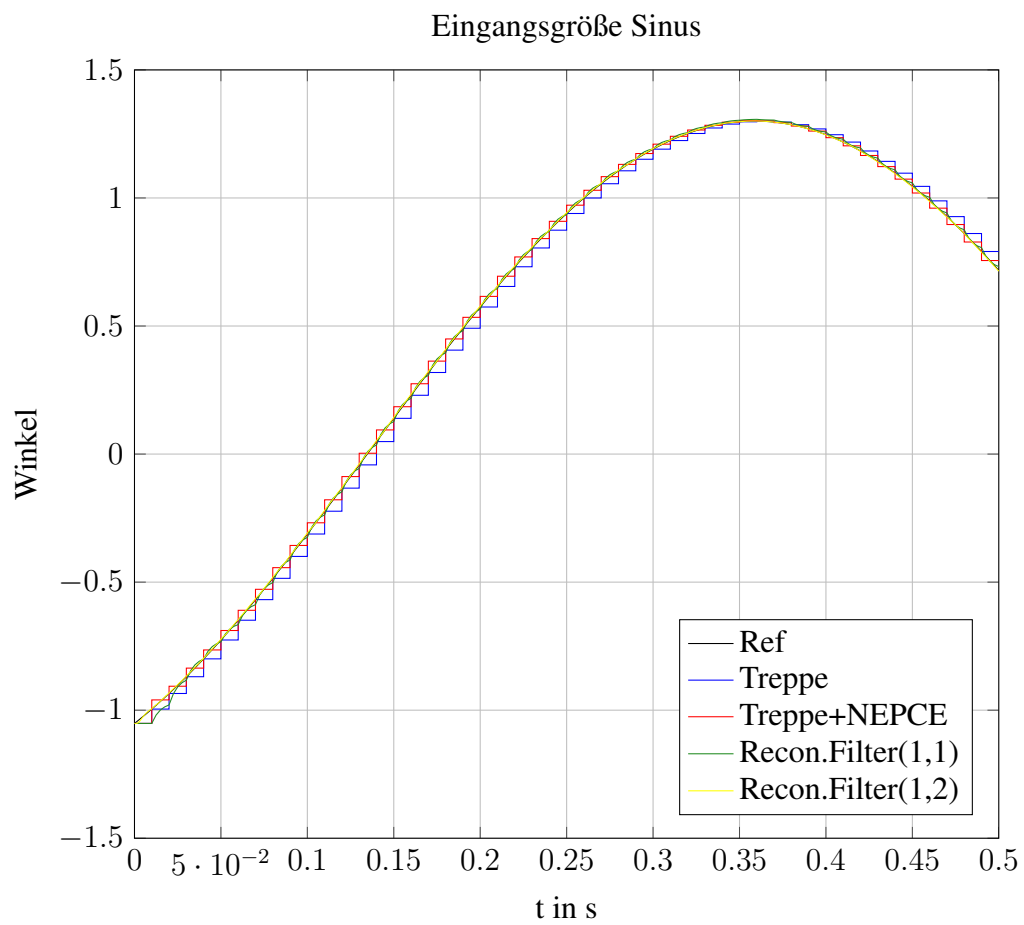
Man erkennt, dass die Kopplung der Systeme eine wesentliche Auswirkung auf den Lösungsverlauf besitzt. Die Wahl des numerischen Integrationsverfahrens ist entscheidend. Wie erwartet weichen die berechneten Ergebnisse der Eulerverfahren weiter von der Referenzlösung ab als jene mit dem DASSL-Verfahren.

### 6.2.1 Auswirkungen der Koppelsignale auf die Lösung

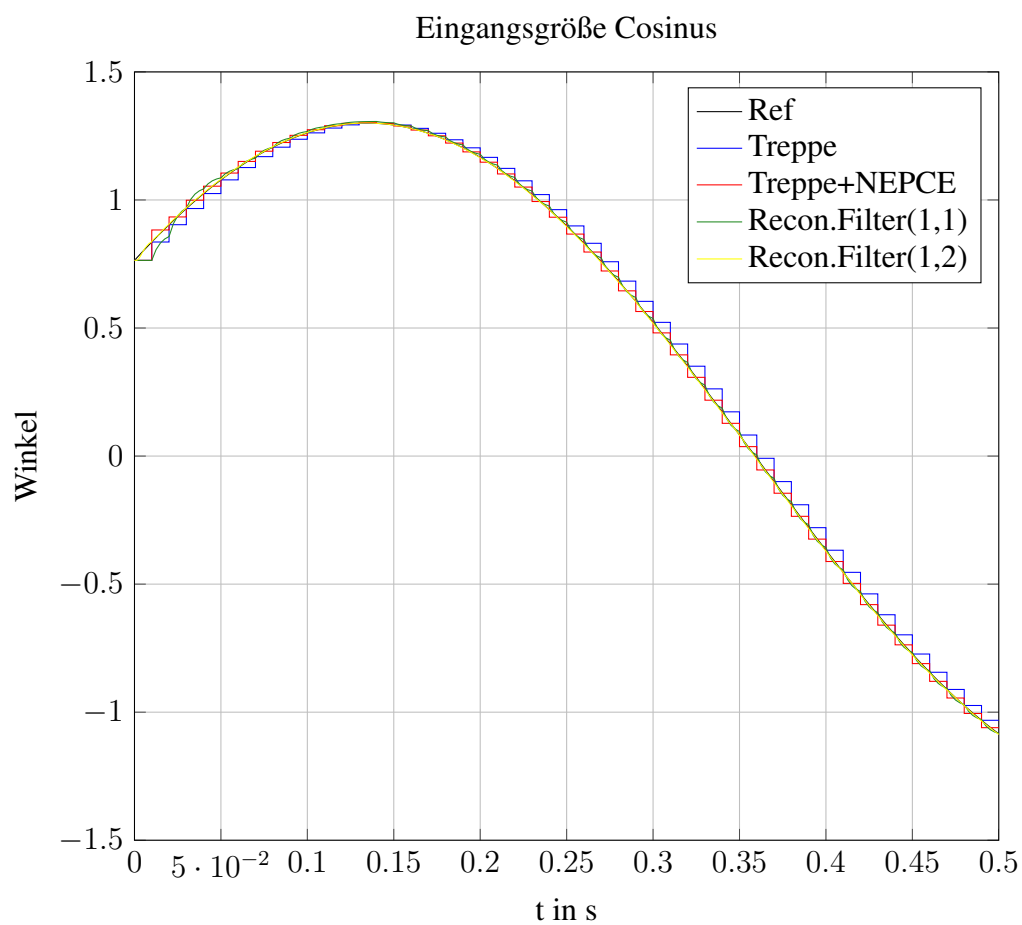
Für die weiteren Betrachtungen wurde als Löser das DASSL-Verfahren und als Simulationszeit  $T = 0.5s$  gewählt. Für die folgenden Tests wurden die extrapolierten Eingangssignale teilweise modifiziert. Die Co-Simulationsplattform ICOS stellt Verfahren zur Verfügung, um den durch die Extrapolation entstandenen Schätzfehler zu reduzieren. Es existiert ein Verfahren mit der Bezeichnung Nearly Energy-Preserving Coupling Element (NEPCE), welches dazu dient den Extrapolationsfehler durch Ausnützen der Systemdynamik zu kompensieren. Eine Erweiterung dieses Verfahrens beinhaltet die Anwendung von Glättungsfiltern (erster und zweiter Ordnung) in der Kopplung ohne eine zusätzliche zeitliche Verschiebung der Koppelsignale zu bewirken. Diese Verfahren werden in [3] beschrieben.

#### Simulationsergebnisse

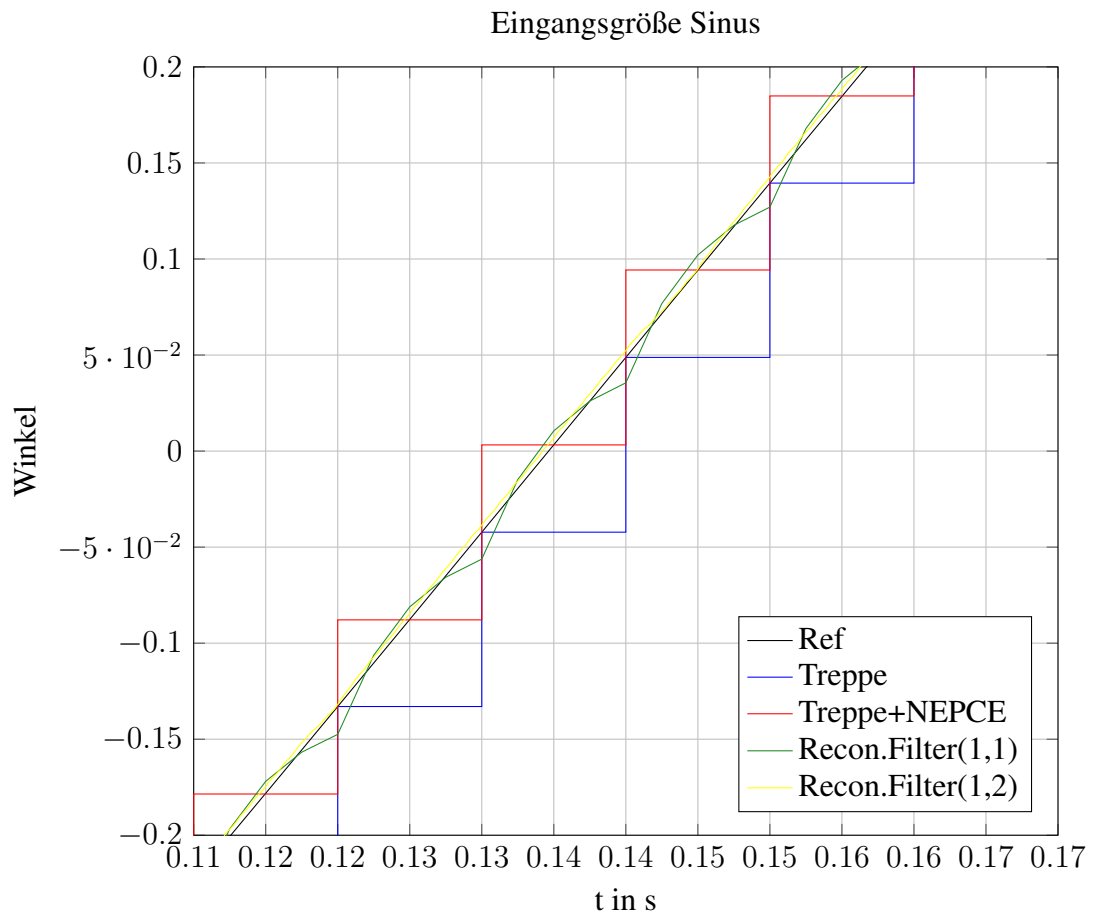
In Abbildung 6.8 und 6.9 sind die Koppelsignale dargestellt. Die Referenzsignale, das mit nullter Ordnung extrapolierte Koppelsignal, das Koppelsignal mit angewendetem NEPCE und das gefilterte Koppelsignal mit einem Filter erster und zweiter Ordnung. Eine Vergrößerung des Koppelsignales aus Plot 6.10 lässt erkennen, wie sich NEPCE und die Filter auf das extrapolierte Signal auswirken. Durch das Koppелеlement NEPCE wird der treppenförmige Verlauf, welcher sich durch die Extrapolation ergibt, angehoben bzw. abgesenkt, um den Schätzfehler zu reduzieren. Anschließend an diese Maßnahme werden die Glättungsfilter erster und zweiter Ordnung angewendet. Es ist ersichtlich, dass sich das mit dem Filter zweiter Ordnung geglättete Signal, dem exakten Signalverlauf annähert. Auch die durch die Glättungsfilter hervorgerufene zeitliche Verschiebung des Koppelsignals wird kompensiert.



**Abbildung 6.8:** Koppelsignal für Winkel  $q_1$

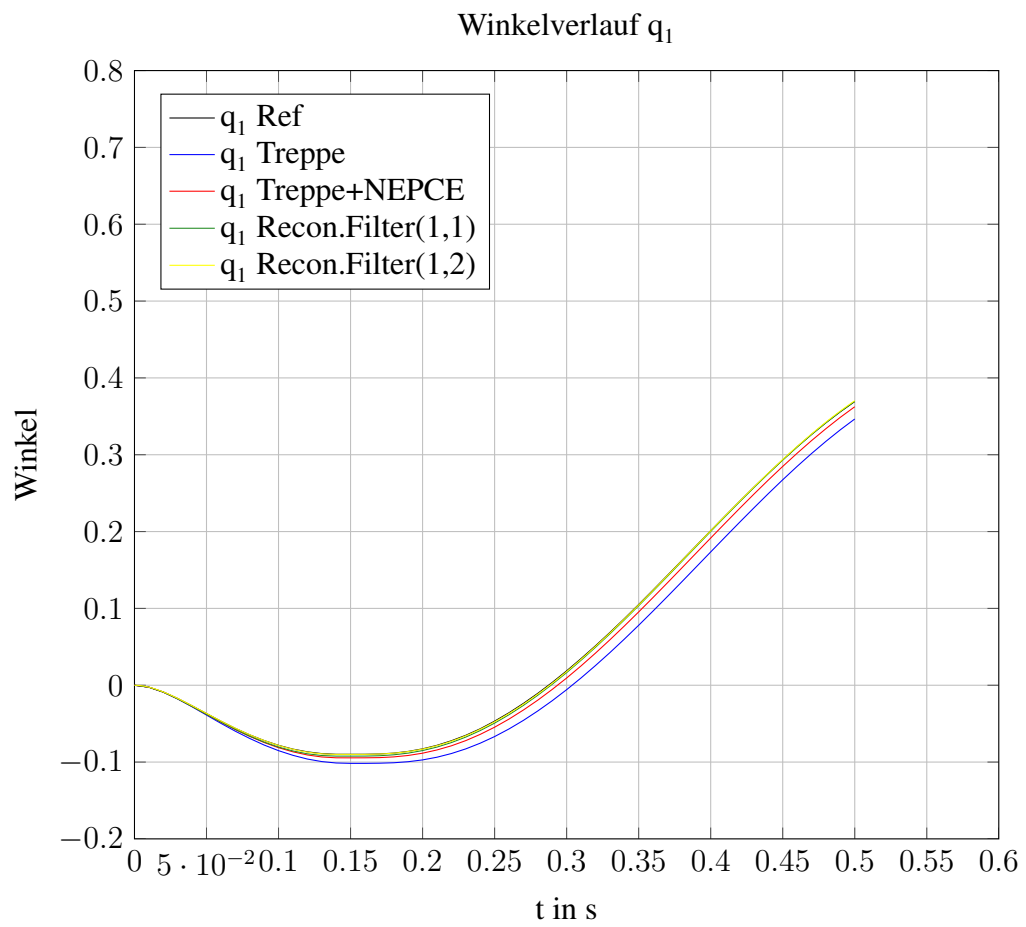


**Abbildung 6.9:** Koppelsignal für Winkel  $q_2$

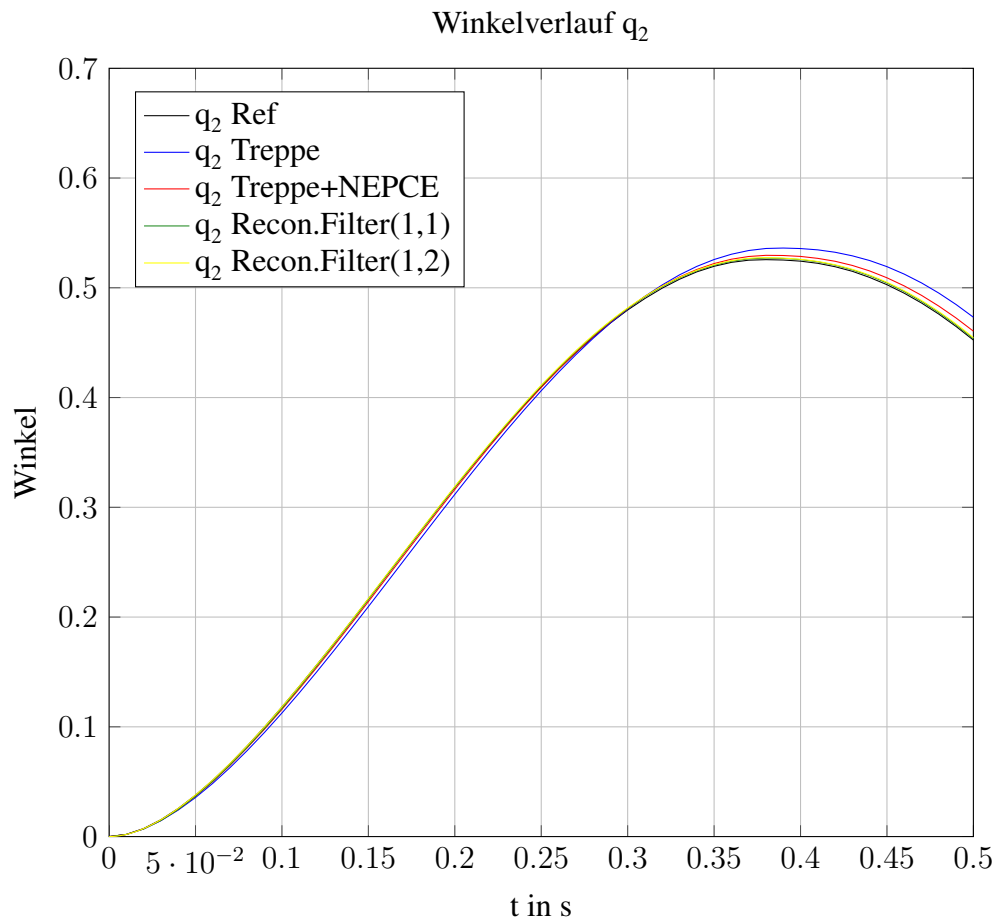


**Abbildung 6.10:** Vergrößerte Darstellung der Koppelsignale

Aufgrund dieser Koppelsignale wurde das Gelenkmechanismussystem gelöst und folgende Simulationsergebnisse in Grafik 6.11 und 6.12 wurden berechnet.



**Abbildung 6.11:** Ergebnis für Co-Simulation des Winkels  $q_1$



**Abbildung 6.12:** Ergebnis für Co-Simulation des Winkels  $q_2$

## 6.3 Ergebnisse

Die Ergebnisse wurde mit eingeführten Fehlermaßen wie in Kapitel 5.2 ausgewertet und in der Tabelle 6.1 aufgelistet.

**Tabelle 6.1:** Ergebnisse der Co-Simulation

Eingang OM Modell in ICOS	Zustandsvariable	$E_{sqmean}$	$E_{max}$
extrapoliert	$q_1$	3,6747e-04	0,0278
	$q_2$	8,1226e-05	0,0208
extrapoliert + NPCE	$q_1$	4,7535e-05	0,0097
	$q_2$	1,1696e-05	0,0081
extrapoliert + NPCE + Recon. Filter (1,1)	$q_1$	3,0930e-06	0,0026
	$q_2$	1,1718e-06	0,0016
extrapoliert + NPCE + Recon. Filter (1,2)	$q_1$	2,7860e-07	0,0011
	$q_2$	1,8274e-06	0,0023

Die Extrapolation nullter Ordnung des Koppelsignals verursacht wie erwartet die größten Fehlerwerte. Durch NEPCE werden die Fehler verringert, jedoch beinhaltet dieses Signal noch Unstetigkeiten. Durch die Glättung in Kombination mit NEPCE wird es sichtbar verbessert. Aus Tabelle 6.1 geht hervor, dass der Tiefpassfilter erster Ordnung angewendet auf die Koppelgröße, bessere numerische Werte für die Lösung liefert, als in jenem Fall, bei dem das Eingangssignal mit einem NEPCE allein korrigiert wurde. Aufgrund der Dämpfung des Filters wurden die Unstetigkeiten verringert. Die besten Werte liefert das Modell, dessen Koppelgröße mit dem Rekonstruktionsfilter zweiter Ordnung korrigiert wurde, da es ein glattes Signal liefert, das sehr nahe an der Referenzgröße verläuft. Es wurde gezeigt, dass sich Unstetigkeiten in den Koppelgrößen negativ auf die numerische Lösung der Teilsysteme auswirken.

# Kapitel 7

## Zusammenfassung

In dieser Arbeit wurde der Einfluss von Unstetigkeiten in der Koppelgröße auf die numerischen Lösung der unterlagerten Systemgleichungen untersucht. In der theoretischen Betrachtung ging man auf den lokalen Diskretisierungsfehler der jeweiligen Lösungsalgorithmen ein. Dadurch, dass jedes betrachtete ESV Verfahren sowie einer Taylorreihenentwicklung gleichzusetzen ist, kann der Einfluss der Eingangsgröße auf ein numerisches Verfahren formuliert werden. Es konnte festgestellt werden, dass die zeitliche Ableitung der Eingangsgröße, je nach Verfahren, sowohl in den Lösungsalgorithmus als auch in den lokalen Diskretisierungsfehler einfließt. Dies ließ erkennen, dass je höher die Ordnung eines numerischen Integrationsverfahrens ist, desto mehr Einfluss nehmen die Ableitungen von  $u(t)$  auf das Verfahren und verringern so den Fehler. Um diese Aussagen zu bestätigen, wurden einfache Testsysteme eingeführt. Anhand dieser Systeme wurde eine Fehlerbewertung durchgeführt. Es wurde einmal für ein glattes und für das mit nullter Ordnung extrapolierte Eingangssignal die numerische Lösung der Systemgleichungen ermittelt. Dafür wurden numerische Integrationsverfahren verschiedener Ordnung und Implementierung verwendet, wie eben mit oder ohne Schrittweitensteuerung. Für den Vergleich wurde auch jeweils die analytische Lösung berechnet. Diese Ergebnisse wurden durch die eingeführten Fehlermaße bewertet und tabellarisch dargestellt. Es wurde festgestellt, dass Verfahren mit konstanter Schrittweite generell schlechtere Werte liefern, außer man wählt sehr kleine Schrittweiten. Weiters ergeben sich durch Unstetigkeiten in der Eingangsfunktion höhere Fehlerwerte, als bei einem glatten Verlauf. Dabei spielt die Ordnung des Algorithmus eine wesentliche Rolle: Je höher die Ordnung, desto geringer der Fehler. Wählt man für die treppenförmige Eingangsgröße einen Algorithmus mit variabler Schrittweite, so erhöht sich die Anzahl der Berechnungsschritte, da in der Umgebung um die Unstetigkeiten die Schrittweite verkleinert werden muss, um die eingestellte relative Fehlertoleranz des Verfahrens zu unterschreiten. Für steife Systeme ist es ratsam implizite Lösungsalgorithmen einzusetzen, aufgrund der A-Stabilität dieser. Ein explizites Verfahren mit Schrittweitensteuerung angewendet auf ein steifes System braucht immer sehr viele Berechnungsschritte, egal ob glattes oder treppenförmiges Eingangssignal verwendet wird. Durch die Betrachtungen der beiden DAE-Systeme vom Index 1, die gelöst das selbe Ergebnis liefern, konnte gezeigt werden, dass die Fehlerbewertung die selben Werte liefern. Somit hat das Auftreten der Eingangsgröße in der NB betraglich betrachtet keinen Einfluss auf das Lösungsverfahren. Jedoch kann es dazu führen, dass implementierte Löser den Vorgang abbrechen, da die relative Fehlerschranke nicht unterschritten werden kann. Besonders groß ist diese relative Fehlertoleranz bei Unstetigkeiten in der Eingangsgröße zu wählen.

Numerische Integrationsverfahren höherer Ordnung liefern für schnelle Signaländerungen bessere Ergebnisse als Verfahren niedrigerer Ordnung.

Abschließend wurde am Co-Simulationsbeispiel gezeigt, dass durch die in ICOS vorhandenen Methoden zur Reduzierung des Extrapolationsfehlers, die numerische Lösung an die exakten Ergebnisse angenähert werden kann. Durch geeignete Glättung der Koppelgrößen werden somit die Fehlerterme minimiert.

Wie in dieser Arbeit gezeigt wurde, ist eine Dämpfung der Unstetigkeiten in den Koppelgrößen notwendig, um genaue numerische Ergebnisse der unterlagerten Systemgleichungen zu erhalten. Bessere numerische Ergebnisse konnte schon durch ein NEPCE erzielt werden, das den Effekt des Extrapolationsfehlers stark reduziert. Eine wesentliche Verbesserung liefert ein Tiefpassfilter erster Ordnung, wie er in ICOS implementiert wurde. Besonders ratsam ist dies für DAE-Systeme, bei denen die Koppelgrößen in den NB vorkommen.

# Anhang A

## Berechnungen

### A.1 Berechnung der Transitionsmatrix

Die Transitionsmatrix  $\Phi(t)$  wurde in MATLAB berechnet.

```
1 function [phi] = statetrans(A)
2     t = sym('t');
3     phi = expm(A * t);
4 end
```

```
1 Phi_ = statetrans(A);
```

### A.2 Fehlerberechnung

Ausgehend von (4.22) wird der lokale Diskretisierungsfehler für beide DAE Systeme berechnet. Somit ergibt sich für den lokalen Diskretisierungsfehler:

$$\begin{aligned}\bar{\varepsilon}_{d, \text{lokal}} &= (\mathbf{A} (\mathbf{A}\mathbf{x} + \mathbf{b}u + \mathbf{F}z) + \mathbf{b}\dot{u} + \mathbf{F}\dot{z}) \frac{h^2}{2} \\ &= (\mathbf{A}^2\mathbf{x} + \mathbf{A}\mathbf{b}u + \mathbf{A}\mathbf{F}z + \mathbf{b}\dot{u} + \mathbf{F}\dot{z}) \frac{h^2}{2}\end{aligned}\tag{A.1}$$

### A.2.1 Fehlerberechnung DAE-System mit $u(t)$ in Nebenbedingung

$$\begin{aligned}\frac{\partial \mathbf{f}_2}{\partial \mathbf{x}} &= \begin{pmatrix} -0.25 & 0.5 \\ 0.125 & -0.5 \end{pmatrix} =: \mathbf{A}_4 \\ \frac{\partial \mathbf{f}_1}{\partial u} &= \begin{pmatrix} 1.5 \\ 2 \end{pmatrix} =: \mathbf{b}_2 \\ \frac{\partial \mathbf{f}_1}{\partial z} &= \begin{pmatrix} 1 \\ 0 \end{pmatrix} =: \mathbf{F}_1\end{aligned}\quad (\text{A.2})$$

Die Ableitung der NB wurde wie folgt berechnet:

$$z = -\frac{1}{4}x_1 - 2u \quad / \frac{d}{dt} \quad (\text{A.3})$$

$$\dot{z} = \frac{1}{16}x_1 - \frac{1}{8}x_2 - \frac{1}{4}z - \frac{3}{8}u - 2\dot{u} \quad (\text{A.4})$$

Das DAE System und  $\dot{z}$  aus (A.4) eingesetzt und zusammengefasst ergibt für die erste Zeile:

$$\bar{\varepsilon}_{1,d,lokal} = \frac{3}{16}x_1 - \frac{1}{2}x_2 - \frac{1}{4}u - \frac{1}{2}z - \frac{1}{2}\dot{u} \quad (\text{A.5})$$

Setzt man für  $z$  aus (A.3) erhält man abschließend:

$$\bar{\varepsilon}_{1,d,lokal} = \frac{5}{16}x_1 - \frac{1}{2}x_2 + \frac{3}{4}u - \frac{1}{2}\dot{u} \quad (\text{A.6})$$

### A.2.2 Fehlerberechnung DAE-System ohne $u(t)$ in Nebenbedingung

$$\begin{aligned}\frac{\partial \mathbf{f}_2}{\partial \mathbf{x}} &= \begin{pmatrix} -0.25 & 0.5 \\ 0.125 & -0.5 \end{pmatrix} =: \mathbf{A}_4 \\ \frac{\partial \mathbf{f}_2}{\partial u} &= \begin{pmatrix} -0.5 \\ 1 \end{pmatrix} =: \mathbf{b}_1 \\ \frac{\partial \mathbf{f}_2}{\partial z} &= \begin{pmatrix} 1 \\ 0 \end{pmatrix} =: \mathbf{F}_2\end{aligned}\quad (\text{A.7})$$

Die Ableitung der NB wurde wie folgt berechnet:

$$z = -\frac{1}{4}x_1 - z \quad / \frac{d}{dt} \quad (\text{A.8})$$

$$\dot{z} = \frac{1}{16}x_1 - \frac{1}{8}x_2 - \frac{1}{4}z - \frac{3}{8}u \quad (\text{A.9})$$

Das DAE System und  $\dot{z}$  aus (A.9) eingesetzt und zusammengefasst ergibt für die erste Zeile:

$$\bar{\varepsilon}_{2,d,lokal} = \frac{3}{16}x_1 - \frac{1}{2}x_2 + \frac{3}{4}u - \frac{1}{2}z - \frac{1}{2}\dot{u} \quad (\text{A.10})$$

Setzt man für  $z$  aus (A.8) erhält man abschließend:

$$\bar{\varepsilon}_{2,d,lokal} = \frac{5}{16}x_1 - \frac{1}{2}x_2 + \frac{3}{4}u - \frac{1}{2}\dot{u} \quad (\text{A.11})$$

# Anhang B

## Gelenkmechanismus in OpenModelica

```
1 model gelenkmechanismus
2   Modelica.Blocks.Interfaces.RealInput u[2] "Connector 1 of Real
   input signals" annotation(Placement(visible = true,
   transformation(origin = {-120,60}, extent = {{-20,-20},{20,20}}
   }, rotation = 0)));
3   Modelica.Blocks.Interfaces.RealOutput q_[2] "Connector 1 of Real
   input signals" annotation(Placement(visible = true,
   transformation(origin = {120,60}, extent = {{-20,-20},{20,20}}
   }, rotation = 0)));
4   Modelica.Blocks.Interfaces.RealOutput qd_[2] "Connector 1 of Real
   input signals" annotation(Placement(visible = true,
   transformation(origin = {120,0}, extent = {{-20,-20},{20,20}}
   }, rotation = 0)));
5   Real q[2,1](start = [0;0]);
6   Real q_d[2,1](start = [0;0]);
7   Real q_dd[2,1](start = [0;0]);
8 protected
9   constant Real km = 0.00767;
10  constant Real kg = 70;
11  constant Real ke = 5;
12  constant Real Rm = 2.6;
13  constant Real E[2,2] = [1,0;0,1];
14  // constant Real Jges_M[2,2];
15  constant Real J1 = 1.0 * 10 ^ (-7);
16  constant Real J2 = 2.27 * 10 ^ (-5);
17  constant Real J3 = 1.4 * 10 ^ (-6);
18  constant Real J4 = 1.4 * 10 ^ (-6);
19  constant Real Jm = 3.87 * 10 ^ (-7);
20  constant Real K1 = (km * kg) ^ 2 / Rm;
21  constant Real K2 = km * kg / Rm;
22  constant Real Jges = kg ^ 2 * Jm + ke ^ 2 * J1 + J2 + J3 + J4;
23  constant Real Jges_M[2,2] = Jges * E;
```

```
24 Real beta[4,1];
25 Real Psi[4,4];
26 Real Rho[4,2];
27 Real beta_d[4,1];
28 Real Psi_d[4,4];
29 Real Rho_d[4,2];
30 Real M_strich[4,4];
31 Real M[2,2];
32 Real C_strich[4,4];
33 Real C[2,2];
34 Real Tr[2,1];
35 // Berechnung beta
36 Real A;
37 Real B;
38 Real C_;
39 Real tempsin1;
40 Real tempsin2;
41 Real tempcos1;
42 Real tempcos2;
43 // Berechnung Psi
44 Real psi11;
45 Real psi12;
46 Real psi21;
47 Real psi22;
48 // Berechnung Rho
49 constant Real I[4,2] = [0,0;0,0;1,0;0,1];
50 // Berechnung beta_d
51 // Berechnung Psi_d
52 Real psi11d;
53 Real psi12d;
54 Real psi13d;
55 Real psi14d;
56 Real psi21d;
57 Real psi22d;
58 Real psi23d;
59 Real psi24d;
60 // Berechnung M_strich
61 constant Real m = 0.065;
62 constant Real l = 0.127;
63 constant Real Js = 3.49 * 10 ^ (-4);
64 Real m11;
65 Real m22;
66 Real m33;
67 Real m13;
68 Real m24;
69 // Berechnung C_strich
70 Real h1;
71 Real h2;
```

```

72 //Berechnung Tr
73 constant Real Tc1 = 0.036;
74 constant Real Tc2 = 0.022;
75 constant Real dv = 0.0064;
76 algorithm
77 // beta := calcBeta(q);
78 q_[1]:=q[1,1];
79 q_[2]:=q[2,1];
80 qd_[1]:=der(q[1,1]);
81 qd_[2]:=der(q[2,1]);
82 beta[1,1]:=q[1,1];
83 beta[2,1]:=q[2,1];
84 A:=2 * (cos(q[1,1]) - sin(q[2,1]));
85 B:=2 * (sin(q[1,1]) + cos(q[2,1]) - 2);
86 C_:=((cos(q[1,1]) - sin(q[2,1])) ^ 2 + (sin(q[1,1]) + cos(q[2,1])
      - 2) ^ 2);
87 tempsin1:=((-B * C_) - A * sqrt(A ^ 2 + B ^ 2 - C_ ^ 2)) / (A ^ 2
      + B ^ 2);
88 tempsin2:=((-B * C_) + A * sqrt(A ^ 2 + B ^ 2 - C_ ^ 2)) / (A ^ 2
      + B ^ 2);
89 tempcos1:=((-A * C_) + B * sqrt(A ^ 2 + B ^ 2 - C_ ^ 2)) / (A ^ 2
      + B ^ 2);
90 tempcos2:=((-A * C_) - B * sqrt(A ^ 2 + B ^ 2 - C_ ^ 2)) / (A ^ 2
      + B ^ 2);
91 beta[3,1]:=atan2(tempsin1, tempcos1) - q[1,1];
92 beta[4,1]:=atan2(A / 2 + tempcos1, (-B / 2) - tempsin1) - q[2,1];
93 // Psi := calcPsi(beta);
94 psi11:=(-sin(beta[1,1])) - sin(beta[1,1] + beta[3,1]);
95 psi12:=(-cos(beta[2,1])) - cos(beta[2,1] + beta[4,1]);
96 psi21:=cos(beta[1,1]) + cos(beta[1,1] + beta[3,1]);
97 psi22:=(-sin(beta[2,1])) - sin(beta[2,1] + beta[4,1]);
98 Psi[1,1]:=psi11;
99 Psi[1,2]:=psi12;
100 Psi[1,3]:=-sin(beta[1,1] + beta[3,1]);
101 Psi[1,4]:=-cos(beta[2,1] + beta[4,1]);
102 Psi[2,1]:=psi21;
103 Psi[2,2]:=psi22;
104 Psi[2,3]:=cos(beta[1,1] + beta[3,1]);
105 Psi[2,4]:=-sin(beta[2,1] + beta[4,1]);
106 Psi[3,1]:=1;
107 Psi[3,2]:=0;
108 Psi[3,3]:=0;
109 Psi[3,4]:=0;
110 Psi[4,1]:=0;
111 Psi[4,2]:=1;
112 Psi[4,3]:=0;
113 Psi[4,4]:=0;
114 // Rho := calcRho(Psi);

```

```

115 Rho:=Modelica.Math.Matrices.inv(Psi) * I;
116 // beta_d := calcBetaDer(Rho, q_d);
117 beta_d:=Rho * der(q);
118 // Psi_d := calcPsiDer(beta, beta_d);
119 psi11d:=(-beta_d[1,1] * cos(beta[1,1])) - (beta_d[1,1] + beta_d[
    3,1]) * cos(beta[1,1] + beta[3,1]);
120 psi12d:=beta_d[2,1] * sin(beta[2,1]) - (beta_d[2,1] + beta_d[4,1]
    ) * sin(beta[2,1] + beta[4,1]);
121 psi13d:=-beta_d[1,1] + beta_d[3,1]) * cos(beta[1,1] + beta[3,1])
    ;
122 psi14d:=(beta_d[2,1] + beta_d[4,1]) * sin(beta[2,1] + beta[4,1]);
123 psi21d:=(-beta_d[1,1] * sin(beta[1,1])) - (beta_d[1,1] + beta_d[
    3,1]) * sin(beta[1,1] + beta[3,1]);
124 psi22d:=(-beta_d[2,1] * cos(beta[2,1])) - (beta_d[2,1] + beta_d[
    4,1]) * cos(beta[2,1] + beta[4,1]);
125 psi23d:=-beta_d[1,1] + beta_d[3,1]) * sin(beta[1,1] + beta[3,1])
    ;
126 psi24d:=-beta_d[2,1] + beta_d[4,1]) * cos(beta[2,1] + beta[4,1])
    ;
127 Psi_d[1,1]:=psi11d;
128 Psi_d[1,2]:=psi12d;
129 Psi_d[1,3]:=psi13d;
130 Psi_d[1,4]:=psi14d;
131 Psi_d[2,1]:=psi21d;
132 Psi_d[2,2]:=psi22d;
133 Psi_d[2,3]:=psi23d;
134 Psi_d[2,4]:=psi24d;
135 Psi_d[3,1]:=0;
136 Psi_d[3,2]:=0;
137 Psi_d[3,3]:=0;
138 Psi_d[3,4]:=0;
139 Psi_d[4,1]:=0;
140 Psi_d[4,2]:=0;
141 Psi_d[4,3]:=0;
142 Psi_d[4,4]:=0;
143 // Rho_d := calcRhoDer(Psi, Psi_d, Rho);
144 Rho_d:=-Modelica.Math.Matrices.inv(Psi) * Psi_d * Rho;
145 // M_strich := calcM_strich(beta);
146 m11:=m * l ^ 2 * (3 / 2 + cos(beta[3,1])) + 2 * Js;
147 m22:=m * l ^ 2 * (3 / 2 + cos(beta[4,1])) + 2 * Js;
148 m33:=1 / 4 * m * l ^ 2 + Js;
149 m13:=m * l ^ 2 * (1 / 4 + 1 / 2 * cos(beta[3,1])) + Js;
150 m24:=m * l ^ 2 * (1 / 4 + 1 / 2 * cos(beta[4,1])) + Js;
151 M_strich:=[m11,0,m13,0;0,m22,0,m24;m13,0,m33,0;0,m24,0,m33];
152 // M := calcM(M_strich, Rho);
153 M:=transpose(Rho) * M_strich * Rho;
154 // C_strich := calcC_strich(beta, beta_d);
155 h1:=-m * l ^ 2 / 2 * sin(beta[3,1]);

```

```

156 h2:=-m * l ^ 2 / 2 * sin(beta[4,1]);
157 C_strich:=[h1 * beta_d[3,1],0,h1 * (beta_d[1,1] + beta_d[3,1])
           ,0;0,h2 * beta_d[4,1],0,h2 * (beta_d[2,1] + beta_d[4,1]);-h1 *
           beta_d[1,1],0,0,0;0,h2 * beta_d[2,1],0,0];
158 // C := calcC(M_strich, C_strich, Rho, Rho_d);
159 C:=transpose(Rho) * C_strich * Rho + transpose(Rho) * M_strich *
           Rho_d;
160 // Tr := calcTr(beta_d);
161 Tr[1,1]:=Tc1 * sgn(beta_d[1,1]) + dv * beta_d[1,1];
162 Tr[2,1]:=Tc2 * sgn(beta_d[2,1]) + dv * beta_d[2,1];
163 equation
164 q_d = der(q);
165 q_dd = der(q_d);
166 q_dd = Modelica.Math.Matrices.inv(M + Jges_M) * (K2 * [u[1];u[2]]
           - C * q_d - K1 * q_d - Tr);
167 // Grafik
168 annotation(Icon(coordinateSystem(extent = {{-100,-100},{100,100}}
           , preserveAspectRatio = true, initialScale = 0.1, grid = {2,2}
           ), graphics = {Text(origin = {-1.0254,7.17347}, extent = {{-54
           .03,11.57},{54.03,-11.57}}, textString = "Gelenkmechanismus"),
           Rectangle(origin = {0.292826,-0.292826}, extent = {{-99.8536
           ,99.8536},{99.8536,-99.8536}})})), experiment(StartTime = 0,
           StopTime = 2, Tolerance = 0.001, Interval = 0.004));
169 end gelenkmechanismus;

```

**Listing B.1:** OM Modell

# Literaturverzeichnis

- [1] M. Andres und T. Schmitt. *Modellbildung und Simulation Mechatronischer Systeme, Skriptum*. Fachhochschule Vorarlberg, Masterstudiengang Mechatronik, 2011 (siehe Seite 38).
- [2] M. Arnold. *Simulation Algorithms in Vehicle System Dynamics*. Technischer Bericht. Martin-Luther-University Halle, Department of Mathematics und Computer Science, 2004 (siehe Seite 2).
- [3] M. Benedikt. *Eine Kopplungsmethode für die nicht-iterative Co-Simulation, Dissertation*. Kompetenzzentrum - Das Virtuelle Fahrzeug mbh Graz, 2012 (siehe Seiten 1, 2, 4, 5, 17, 65).
- [4] M. Benedikt u. a. *Moderne Kopplungsmethoden - Ist Co-Simulation beherrschbar?* In: *NA-FEMS Online-Magazin, Zeitschrift für numerische Simulationsmethoden und angrenzende Gebiete* 22 (Juli 2012), Seiten 63–74 (siehe Seiten 1–3, 5).
- [5] M. Benedikt u. a. *NEPCE - A Nearly Energy-Preserving Coupling Element for Weak-Coupled Problems and Co-Simulations*. In: *V International Conference on Computational Methods for Coupled Problems in Science and Engineering, COUPLED PROBLEMS 2013*. Herausgegeben von M. Papadrakakis S. Idelsohn und B. Schreer. 2013 (siehe Seiten 4, 5).
- [6] P. Fritzson. *Principles of Object-Oriented Modeling and Simulation with Modelica 2.1*. A John Wiley und Sons, Inc., Publication, 2004.
- [7] A. Hofer. *Computergestützte Modellbildung und Simulation, Skriptum*. Institut für Regelungs- und Automatisierungstechnik, TU Graz, 2004 (siehe Seiten 8–11, 13, 16, 18).
- [8] M. Hommel. *Parallelisierte Simulationsprozesse für virtuelles Prototyping in der Automobilindustrie, Dissertation*. Von der Fakultät Elektrotechnik und Informationstechnik der Technischen Universität Carolo - Wilhelmina zu Braunschweig, 2006 (siehe Seite 1).
- [9] M. Horn und N. Dourdoumas. *Regelungstechnik, Rechnerunterstützter Entwurf zeitkontinuierlicher und zeitdiskreter Regelkreise*. Pearson Studium, 2004 (siehe Seiten 6, 32).
- [10] ICOS. 2014. URL: <http://www.v2c2.at/research/ee-software/co-simulation/> (siehe Seite 3).
- [11] K. Janschek. *Systementwurf mechatronischer Systeme*. Springer-Verlag Berlin Heidelberg, 2010 (siehe Seiten 7–9, 11, 19–21).
- [12] K. Janschek, E. Giebler und S. Dyblenko. *Simulationstechnik, Skriptum*. Technische Universität Dresden, 2006 (siehe Seite 13).

- [13] S. Knorr. *Multirate-Verfahren in der Co-Simulation gekoppelter dynamischer Systeme mit Anwendung in der Fahrzeugdynamik, Masterarbeit*. Universität Ulm, Fakultät für Mathematik und Wirtschaftswissenschaften, Oktober 2002 (siehe Seite 11).
- [14] R. Kübler und W. Schiehlen. *Modular Simulation in Multibody System Dynamics*. In: *Multibody System Dynamics, No. 4, pp. 107-127* (2000) (siehe Seite 2).
- [15] J.D. Lambert. *Numerical methods for ordinary differential systems, the initial value problem*. John Wiley und Sons, West Sussex, U.K., 1991 (siehe Seite 13).
- [16] G. Lube. *Numerische Mathematik II, Skriptum*. Institut für Numerische und Angewandte Mathematik (NAM) der Georg-August-Universität Göttingen, 2005 (siehe Seite 41).
- [17] MathWorks. *Matlab-Central*. 2014. URL: <http://www.mathworks.com/matlabcentral/answers/98293-is-there-a-fixed-step-ordinary-differential-equation-ode-solver-in-matlab-8-0-r2012b> (siehe Seite 38).
- [18] *MATLAB*. 2014. URL: <http://www.mathworks.de/de/help/matlab/index.html> (siehe Seiten 41, 42, 47).
- [19] *Maxima, a Computer Algebra System*. 2014. URL: <http://maxima.sourceforge.net/> (siehe Seite 32).
- [20] Kompetenzzentrum - Das Virtuelle Fahrzeug Forschungsgesellschaft mbH. *ICOS User Manual*. Virtual Vehicle, 2014 (siehe Seite 61).
- [21] M. Braack. *Numerik für Differentialgleichungen, Skriptum*. Christian-Albrechts Universität zu Kiel, 2011 (siehe Seiten 14, 16).
- [22] M. Monsberger. *Entwurf und Realisierung einer Mehrgrößenregelung für einen Gelenkmechanismus, Diplomarbeit*. 2002 (siehe Seiten 59, 60).
- [23] *OpenModelica*. 2014. URL: <https://openmodelica.org/> (siehe Seite 61).
- [24] F. Bornemann P. Deuffhard. *Numerische Mathematik 2, Gewöhnliche Differentialgleichungen*. Walter de Gruyter, 2002.
- [25] R. Rannacher. *Numerische Mathematik 1, (Numerik gewöhnlicher Differentialgleichungen), Skriptum*. Institut für Angewandte Mathematik Universität Heidelberg, 2012 (siehe Seite 12).
- [26] T. Richter. *Numerische Methoden für gewöhnliche und partielle Differentialgleichungen, Skriptum*. Universität Heidelberg, 2011 (siehe Seite 20).
- [27] L. F. Shampine. *Solving  $0=F(t,y(t),y'(t))$  in Matlab*. In: *J. Numer. Math., Vol. 10, No. 4, pp. 291-310* (2002) (siehe Seite 52).
- [28] B. Simeon. *Numerik gewöhnlicher Differentialgleichungen, Skriptum*. TU München, Zentrum Mathematik, 2003 (siehe Seiten 10, 14, 16, 20, 41, 42).
- [29] C. Tischendorf. *Numerik differential-algebraischer Gleichungen*. 2010 (siehe Seite 8).

- [30] M. Trcka. *Co-simulation for Performance Prediction of Innovative Integrated Mechanical Energy Systems in Buildings, Dissertation*. Eindhoven University of Technology, 2008 (siehe Seite 12).
- [31] W. Vogt. *Zur Numerik gewöhnlicher Differentialgleichungen Teil I Anfangswertprobleme, Skriptum*. Technische Universität Ilmenau Institut für Mathematik Postfach 100565 98684 Ilmenau, 2002 (siehe Seite 20).
- [32] B. von Harrach. *Numerik Mathematik 2, Skriptum*. Universität Stuttgart, Fachbereich Mathematik - IMNG, Lehrstuhl für Optimierung und inverse Probleme, 2013 (siehe Seite 41).
- [33] J. Weickert. *Mathematik für Informatiker I, Skriptum Wintersemester 2003*. Mathematical Image Analysis Group, Universität Saarland, 2004 (siehe Seite 19).